



## วิทยานิพนธ์

ความหลากหลายทางพันธุกรรมและโครงสร้างประชากรของหอยลาย  
(*Paphia undulata*) ในแหล่งทำการประมงในประเทศไทย

GENETIC DIVERSITY AND POPULATION STRUCTURE OF SURF CLAM  
(*Paphia undulata*) OF FISHING GROUND IN THAILAND

นายปฐม พล คงรุ้ง

บัณฑิตวิทยาลัย มหาวิทยาลัยเกษตรศาสตร์  
พ.ศ. ๒๕๕๖



## ใบรับรองวิทยานิพนธ์

บัณฑิตวิทยาลัย มหาวิทยาลัยเกษตรศาสตร์

วิทยาศาสตรมหาบัณฑิต (วิทยาศาสตร์ทางทะเล)

ปริญญา

วิทยาศาสตร์ทางทะเล

สาขา

วิทยาศาสตร์ทางทะเล

ภาควิชา

เรื่อง ความหลากหลายทางพันธุกรรมและโครงสร้างประชากรของหอยลาย (*Paphia undulata*)  
ในแหล่งทำการประมงในประเทศไทย

Genetic Diversity and Population Structure of Surf Clam (*Paphia undulata*) of Fishing  
Ground in Thailand

นามผู้วิจัย นายปฐพ คลรุ่ง

ได้พิจารณาเห็นชอบโดย

อาจารย์ที่ปรึกษาวิทยานิพนธ์หลัก

( ผู้ช่วยศาสตราจารย์สุริยัน ชัยกิจานุกิจ, Dr.Scient. )

อาจารย์ที่ปรึกษาวิทยานิพนธ์ร่วม

( รองศาสตราจารย์สุวัตตี พุ่มพวง, Ph.D. )

อาจารย์ที่ปรึกษาวิทยานิพนธ์ร่วม

( รองศาสตราจารย์เพดิมศักดิ์ จาเระพันธุ์, Ph.D. )

หัวหน้าภาควิชา

( ผู้ช่วยศาสตราจารย์สุนันท์ กัทรินดา, วท.ม. )

บัณฑิตวิทยาลัย มหาวิทยาลัยเกษตรศาสตร์รับรองแล้ว

( รองศาสตราจารย์กัญจนा ธีระกุล, D.Agr. )

คณบดีบัณฑิตวิทยาลัย

วันที่ 4 เดือน พฤษภาคม พ.ศ. 2552

วิทยานิพนธ์

เรื่อง

ความหลากหลายทางพันธุกรรมและโครงสร้างประชากรของหอยลาย (*Paphia undulata*) ในแหล่ง  
ทำการประมงในประเทศไทย

Genetic Diversity and Population Structure of Surf Clam (*Paphia undulata*) of Fishing Ground in  
Thailand

โดย

นายปฏิพลด คลรุ่ง



เสนอ

บัณฑิตวิทยาลัย มหาวิทยาลัยเกษตรศาสตร์  
เพื่อความสมบูรณ์แห่งปริญญาวิทยาศาสตร์ธรรมชาติ (วิทยาศาสตร์ทางทะเล)

พ.ศ. 2552

ปฏิพลด ดลรุ่ง 2552: ความหลากหลายทางพันธุกรรมและโครงสร้างประชากรของหอยลาย (*Paphia undulata*) ในแหล่งทำการประมงในประเทศไทย ปริญญาวิทยาศาสตรมหาบัณฑิต (วิทยาศาสตร์ทางทะเล) สาขาวิชาวิทยาศาสตร์ทางทะเล ภาควิชาวิทยาศาสตร์ทางทะเล อาจารย์ที่ปรึกษาวิทยานิพนธ์หลัก: ผู้ช่วยศาสตราจารย์สุริyan ชัยกิจจานุกิจ, Dr.Scient.

136 หน้า

การประมงหอยลาย (*Paphia undulata*) ในประเทศไทยมีมาตั้งแต่ปี 2513 แต่ในปัจจุบัน ประสบปัญหาผลผลิตหอยลายลดลงอย่างต่อเนื่อง ซึ่งอาจเป็นผลจากการทำการประมงที่มากเกินไปหรือประชากรหอยลาย มีความหลากหลายทางพันธุกรรมในระดับต่ำ ในการศึกษารั้งนี้ได้ใช้เครื่องหมายคีเอ็นเอกซิด ไอເອສເອສາຣ໌ ประเมินค่าความหลากหลายทางพันธุกรรมของตัวอย่างหอยลาย 500 ตัวอย่างในแหล่งทำการประมงในบริเวณ 4 พื้นที่ในอ่าวไทยและ 1 พื้นในบริเวณทะเลอันดามัน

ผลการวิเคราะห์เครื่องหมายไอເອສເອສາຣ໌ 300 ตำแหน่ง แสดงให้เห็นว่าในประชากรหอยลาย ในจังหวัดสมุทรสงคราม สมุทรสาคร และ สมุทรปราการ มีระดับความหลากหลายทางพันธุกรรมในระดับปานกลาง และมีค่าคาดหวังเซตเทอร์โอไซต์ที่มีค่าใกล้เคียงกัน (0.122-0.141) ในขณะที่ประชากรหอยลายในบริเวณอ่าวไทยตอนล่างในบริเวณจังหวัดสุราษฎร์ธานีและทางฝั่งทะเลอันดามันในจังหวัดสตูลมีระดับของความหลากหลายทางพันธุกรรมในค่อนข้างต่ำ โดยมีค่าคาดหวังเซตเทอร์โอไซต์เท่ากับ 0.053 และ 0.047 จากวิเคราะห์ความแตกต่างระหว่างประชากรซึ่งประกอบด้วยค่า  $F_{ST}$  การวิเคราะห์ AMOVA ค่าวิเคราะห์ Principal coordinate analysis (PCoA) และการทดสอบ Assignment test แสดงให้เห็นถึงระดับของความแตกต่างในแต่ละประชากรในระดับสูง โดยที่โครงสร้างของประชากรของหอยลายน่าจะมีรูปแบบการถ่ายเทียนในรูปแบบ Stepping stone นั่นคือการถ่ายเทียนเฉพาะประชากรในบริเวณอ่าวไทยตอนบนที่อยู่ใกล้ชิดกัน แต่ไม่มีการถ่ายเทียนระหว่างประชากรดังกล่าวกับประชากรในจังหวัดสุราษฎร์ธานีและจังหวัดสตูล

ผลการศึกษาสรุปได้ว่าความหลากหลายทางพันธุกรรมที่ค่อนข้างต่ำในประชากรหอยลายจากจังหวัดสุราษฎร์ธานีและสตูล อาจทำให้ความสามารถในการอยู่รอดในสภาพแวดล้อมที่มีการเปลี่ยนแปลงของหอยลายลดลง ผลการศึกษารั้งนี้สามารถใช้เป็นแนวทางในการวางแผนการฟื้นฟูทรัพยากรหอยลายและการพัฒนาการเพาะเลี้ยงหอยลายเพื่อลดผลกระทบจาก การทำประมงหอยลายและรักษาการทำการประมงหอยลายได้อย่างยั่งยืน

ลายมือชื่อนิสิต  
2/

ลายมือชื่ออาจารย์ที่ปรึกษาวิทยานิพนธ์หลัก  
8/

26 / MA / 2552

Patipon Donrung 2009: Genetic Diversity and Population Structure of Surf Clam (*Paphia undulata*) of Fishing Ground in Thailand. Master of Science (Marine Science), Major Field: Marine Science, Department of Marine Science. Thesis Advisor: Assistant Professor Suriyan Tunkijjanukij, Dr.Scient. 136 pages.

Surf clam *Paphia undulata* support offshore fishery of Thailand since 1970's. Present, most of fishing sites have experienced declines in production. Overexploitation and low levels of genetic variation of surf clam populations may be responsible for low productivity of the species. The ISSR markers were used to assess genetic diversity of surf clam sampled from four fishing areas in the Gulf of Thailand and one location from the Andaman Sea.

A total of 500 individuals were analyzed at 300 ISSR loci. Three neighboring populations (SG, SS, and SP) in the upper Gulf of Thailand exhibited moderate genetic variation and were similar with Nei's gene diversity ( $H_j$ ) of 0.122 to 0.141. While the populations from the lower Gulf of Thailand (ST) and the Andaman Sea (ST) had relatively low genetic variability with  $H_j$  values of 0.053 and 0.047. Different analyses, including the  $F_{ST}$  values, AMOVA, principal coordinate analysis (PCoA) and assignment test revealed high levels of population substructure. The stepping stone structure of surf clam populations implicated gene flow may occur between stocks in the upper Gulf of Thailand. In contrast, the SR and ST populations were more geographically isolated with absence of gene flow.

The relatively low amount of genetic diversity of the SR and ST stocks may reduce the ability to survive in changing environment. Our results suggested that restocking programs as well as aquaculture development of this species should be considered to reduce fishing effort and maintain the sustainability of surf clam fishery.

Patipon Donrung  
Student's signature

Suriyan Tunkijjanukij 26 Oct 2009  
Thesis Advisor's signature

## กิตติกรรมประกาศ

ขอทราบขอบพระคุณผู้ช่วยศาสตราจารย์ ดร. สุริyan รัชฎกิจานุกิจ ประธานกรรมการที่ปรึกษา รองศาสตราจารย์ ดร. สุกาวดี พุ่มพวง กรรมการที่ปรึกษาร่วม รองศาสตราจารย์ ดร. เพดมิศก็ จาเรย์พันธุ์ กรรมการที่ปรึกษาร่วม เป็นอย่างสูงที่ให้คำปรึกษา แนะนำ ในการแก้ไข วิทยานิพนธ์จนสำเร็จถูกต้องด้วยดี ขอบพระคุณอย่างสูง Dr. Hugo volkaert ที่ช่วยเหลือในการให้ คำแนะนำในการใช้วิเคราะห์ข้อมูลต่างๆ และขอบพระคุณโครงการพัฒนาองค์ความรู้และศึกษา นโยบายการจัดการทรัพยากรชีวภาพในประเทศไทย (โครงการ BRT) ที่สนับสนุนเงินทุนในการ วิจัย และได้รับทุนอุดหนุนและส่งเสริมวิทยานิพนธ์ระดับบัณฑิตศึกษา มหาวิทยาลัยเกษตรศาสตร์

ขอทราบขอบพระคุณ ศูนย์เทคโนโลยีชีวภาพเกษตร มหาวิทยาลัยเกษตรศาสตร์ วิทยาเขต กำแพงแสน ที่เอื้อเฟื้อสถานที่ห้องปฏิบัติการในการศึกษาวิจัย

ขอขอบคุณกำลังใจและความช่วยเหลือจากเพื่อน น้องๆ ในภาควิชาวิทยาศาสตร์ทางทะเลที่ ช่วยเหลือในการเก็บตัวอย่าง และขอบพระคุณแพหอยรุ่งเจริญกิจที่ให้ห้องเรียนไว้ให้เก็บตัวอย่าง

ขอทราบขอบพระคุณบิดามารดา ที่ให้โอกาสในการศึกษาต่อ และค่อยให้เป็นกำลังใจและ ความห่วงใยเสมอ

ปฎิพลด คลรุ่ง  
สิงหาคม 2552

## สารบัญ

	หน้า
<b>สารบัญ</b>	<b>(1)</b>
สารบัญตาราง	(2)
สารบัญภาพ	(4)
คำอธิบายสัญลักษณ์และคำย่อ	(6)
คำนำ	1
วัตถุประสงค์	3
การตรวจเอกสาร	4
อุปกรณ์และวิธีการ	18
ผลการทดลอง	26
วิจารณ์ผลการทดลอง	38
สรุปและข้อเสนอแนะ	44
สรุป	44
ข้อเสนอแนะ	45
เอกสารและสิ่งอ้างอิง	46
ภาคผนวก	56
ภาคผนวก ก การเตรียมสารเคมี	57
ภาคผนวก ข ภาพแผนที่แสดงพื้นที่อนุรักษ์หอยลายบริเวณจังหวัด สมุทรสาคร	60
ภาคผนวก ค ขนาดแฉบดีเอ็นเอและความถี่ของอัลลิลในแต่ละประชากร	62
ภาคผนวก ง ภาพตัวอย่างแบบอัลลิลไพรเมอร์จากการทดลอง	122
ประวัติการศึกษาและการทำงาน	135

## สารบัญตาราง

ตารางที่	หน้า
1 ตัวอย่างของประชากร ชื่อชื่อประชากร จำนวนตัวอย่าง สถานที่เก็บตัวอย่าง เดือน ที่เก็บหอยลายที่ใช้ในการศึกษา	20
2 ส่วนประกอบของปฏิกริยาการเพิ่มปริมาณดีเอ็นเอด้วยเทคนิคพีซีอาร์	21
3 ไพรเมอร์ 9 ชนิด (Wolfe and Liston, 1998) ที่ใช้ปฏิกริยา ISSR-PCR	26
4 ค่าความหลากหลายทางพันธุกรรมของหอยลาย ( <i>Paphia undulata</i> ) ในแหล่ง ประมงในประเทศไทย 5 ประชากร [สมุทรสงคราม (SG) สมุทรสาคร (SS) สมุทรปราการ (SP) สุราษฎร์ธานี (SR) และ ศตูล (ST)] คำนวณจาก Lynch and Miligan (1994)	28
5 Pairwise $F_{ST}$ ของหอยลาย 5 ประชากรในประเทศไทย [สมุทรสงคราม (SG) สมุทรสาคร (SS) สมุทรปราการ (SP) สุราษฎร์ธานี (SR) และ ศตูล (ST)] ที่ กำหนดให้ค่า $F_{IS} = 0$ (ด้านบนสีน้ำเงิน) ระยะห่างทางพันธุกรรม ของหอยลาย 5 ประชากรในประเทศไทยที่กำหนดให้ค่า $F_{IS} = 0$ (ด้านล่างสีน้ำเงิน)	30
6 ผลความสัมพันธ์ของประชากรหอยลายทั้ง 5 ประชากร บริเวณจังหวัด สมุทรสงคราม (SG) สมุทรสาคร (SS) สมุทรปราการ (SP) สุราษฎร์ธานี (SR) และ ศตูล (ST) โดยใช้ Inferred Clusters ที่ระดับ K=5	34
7 ค่าระยะห่างทางพันธุกรรม Nei's (1978) (ด้านล่างของเส้นที่แยกหมุน) และ ระยะทางระหว่างประชากร (กิโลเมตร) จำนวน 4 ประชากร ในจังหวัด สมุทรสงคราม (SG) สมุทรสาคร (SS) สมุทรปราการ (SP) และสุราษฎร์ธานี (SR) (ด้านบนของเส้นที่แยกหมุน)	36
8 ค่าความแปรปรวนโดยวิเคราะห์ AMOVA ระหว่างประชากรและภายใน ประชากรของหอยลายในประเทศไทยจาก 5 ประชากร (1) ระหว่างอันดามันและ รวมตัวอย่างประชากรในอ่าวไทย (2) ระหว่างประชากรสุราษฎร์ธานีและ รวม ตัวอย่างประชากรในจังหวัดสมุทรปราการ สมุทรสาคร สมุทรสงคราม	37

(3)

### สารบัญตาราง (ต่อ)

ตารางผนวกที่

หน้า

ค1 ขนาดแบบตีอื่นเอาและความถี่ของอัคคิลในแต่ละประชากร

63



## สารบัญภาพ

ภาพที่	หน้า
1 แผนที่แสดงที่จุดเก็บตัวอย่างหอยลายทั้ง 5 ประชากร	24
2 แผนผังความสัมพันธ์ของระยะห่างทางพันธุกรรมของประชากรหอยลายในแหล่งทำการประมงหอยลายในประเทศไทยทั้ง 5 ประชากรในบริเวณจังหวัดสมุทรสงคราม (SG) สมุทรสาคร (SS) สมุทรปราการ (SP) สุราษฎร์ธานี (SR) และสตูล (ST) โดยใช้โปรแกรม TFPGA (පෝර්ඩේන්ත්ที่แสดงบนจุดแยกคือค่าร้อยละของการทำข้าจากการสุ่ม 10,000 ครั้ง)	32
3 Principal coordinate Analysis ของประชากรหอยลายในแหล่งทำการประมงในประเทศไทย 5 ประชากร [สมุทรสงคราม (SG) สมุทรสาคร (SS) สมุทรปราการ (SP) สุราษฎร์ธานี (SR) และสตูล (ST)]	33
4 การวิเคราะห์ความแตกต่างระหว่างประชากรโดยการวิเคราะห์ด้วยโปรแกรม Structure โดยใช้ K=5	35
5 ความสัมพันธ์ระหว่างระยะห่างทางพันธุกรรมและระยะทางระหว่างประชากรของหอยลายในบริเวณแหล่งทำการประมงอ่าวไทย บริเวณจังหวัดสมุทรสงคราม สมุทรสาคร สมุทรปราการและในจังหวัด สุราษฎร์ธานี	36

## ภาพผนวกที่

ง1 แผนที่แสดงพื้นที่อนุรักษ์หอยลายบริเวณจังหวัด สมุทรสาคร	61
ง1 แบบอัลกิลของไพรเมอร์ Primer 1 (SP) 1-12	123
ง2 แบบอัลกิลของไพรเมอร์ Primer 1 (SP) 13-24	123
ง3 แบบอัลกิลของไพรเมอร์ Primer 1 (SP) 25-36	124
ง4 แบบอัลกิลของไพรเมอร์ Primer 1 (SP) 37-48	124
ง5 แบบอัลกิลของไพรเมอร์ Primer 1 (SP) 49-60	125
ง6 แบบอัลกิลของไพรเมอร์ Primer 1 (SP) 61-72	125
ง7 แบบอัลกิลของไพรเมอร์ Primer 1 (SP) 73-84	126

## สารบัญภาพ(ต่อ)

ภาพนวนกี	หน้า
ง8 แบบอัลกิลของไพรเมอร์ Primer 1 (SP) 85-96	126
ง9 แบบอัลกิลของไพรเมอร์ Primer 2 (SP) 1-12	127
ง10 แบบอัลกิลของไพรเมอร์ Primer 2 (SP) 13-24	127
ง11 แบบอัลกิลของไพรเมอร์ Primer 2 (SP) 25-36	128
ง12 แบบอัลกิลของไพรเมอร์ Primer 2 (SP) 37-48	128
ง13 แบบอัลกิลของไพรเมอร์ Primer 2 (SP) 49-60	129
ง14 แบบอัลกิลของไพรเมอร์ Primer 2 (SP) 61-72	129
ง15 แบบอัลกิลของไพรเมอร์ Primer 2 (SP) 73-84	130
ง16 แบบอัลกิลของไพรเมอร์ Primer 2 (SP) 85-96	130
ง17 แบบอัลกิลของไพรเมอร์ Primer 9 (SP) 1-12	131
ง18 แบบอัลกิลของไพรเมอร์ Primer 9 (SP) 13-24	131
ง19 แบบอัลกิลของไพรเมอร์ Primer 9 (SP) 25-36	132
ง20 แบบอัลกิลของไพรเมอร์ Primer 9 (SP) 37-48	132
ง21 แบบอัลกิลของไพรเมอร์ Primer 9 (SP) 49-60	133
ง22 แบบอัลกิลของไพรเมอร์ Primer 9 (SP) 61-72	133
ง23 แบบอัลกิลของไพรเมอร์ Primer 9 (SP) 73-84	134
ง24 แบบอัลกิลของไพรเมอร์ Primer 9 (SP) 85-96	134

## คำอธิบายสัญลักษณ์และคำย่อ

bp	= base pairs
dNTPs	= deoxynucleotide triphosphate
df	= degrees of freedom
EDTA	= ethylenediamine tetraacetic acid
HCl	= hydrochloric acid
M	= molar
$\mu\text{g}$	= microgram (s) ( $10^{-6}$ )
$\mu\text{l}$	= microliter (s)
$\mu\text{M}$	= micromolar
mg	= milligram (s)
ml	= milliliter (s)
mM	= millimolar
$\text{MgCl}_2$	= magnesium chloride
ng	= nanogram (s) ( $10^{-9}$ )
NaCl	= sodium chloride
PCR	= Polymerase Chain Reaction
$\text{pmol}$	= picomole (s) ( $10^{-12}$ )
pH	= logarithm of reciprocal of hydrogen (H) ion
rpm	= revolutions per minute
SDS	= Sodium Dodecyl Sulfate
Taq	= <i>Thermus aquaticus</i>
TBE	= Tris-borate EDTA buffer
TE	= Tris-EDTA buffer
TNES	= Tris-NaCl-EDTA-Sodium Dodecyl Sulfate
Tris	= Tris (hydroxymethyl) methylamine
U	= unit

## ความหลากหลายทางพันธุกรรมและโครงสร้างประชากรของหอยลาย *(Paphia undulata)* ในแหล่งทำการประมงในประเทศไทย

### Genetic Diversity and Population Structure of Surf Clam (*Paphia undulata*) of Fishing Ground in Thailand

#### คำนำ

หอยลายเป็นหอยสองฝา ซึ่งจัดเป็นทรัพยากรสัตว์น้ำที่สำคัญทางเศรษฐกิจชนิดหนึ่ง ซึ่งนิยมบริโภคกันอย่างแพร่หลาย หอยชนิดนี้มีการแพร่กระจายอยู่ทั่วไปในระดับความลึกน้ำทะเล 1-25 เมตร ทั้งทางฝั่งอ่าวไทยและอันดามัน โดยเฉพาะในแหล่งทำการหอยลายใน จังหวัด ตราด ชลบุรี สมุทรสงคราม สมุทรสาคร ประจวบคีรีขันธ์ ชุมพร สุราษฎร์ธานี ระนอง พังงา กระบี่ และ ภูเก็ต ในปี 2517 หอยลายในอ่าวไทยและฝั่งอันดามัน มีผลผลิตทั้งหมด 13,806 ตัน ตั้งแต่ปี 2517 หอยลาย มีผลผลิตที่เพิ่มขึ้นจนถึงปี 2524 ซึ่งมีผลผลิตเท่ากับ 62,220 ตัน จากนั้นลดลงและเพิ่มขึ้นในปี 2527 ที่มีผลผลิต 50,507 ตัน ผลผลิตหอยลายทั้งฝั่งอ่าวไทยและอันดามันมีผลผลิตเพิ่มขึ้นทุกปีจนถึงปี 2530 ซึ่งเป็นปีที่มีผลผลิตสูงสุดถึง 131,230 ตัน จากนั้นผลผลิตหอยลายก็ค่อยๆลดลง จนถึงปี 2545 ที่มีผลผลิตเหลือเพียง 31,737 ตัน และพบว่าแนวโน้มที่ลดลงทุกปี (กรมประมง, 2547) ซึ่งในปัจจุบันแหล่งทำการประมงหอยลายได้เสื่อมโทรมลงไปอย่างแหล่ง บางแหล่ง ไม่สามารถทำการประมงได้ต่อต่อทั้งปี ซึ่งจากการสำรวจหอยลายในบริเวณอ่าวไทยตอนบน ตั้งแต่ปี 2530 ถึง 2545 พบว่าปริมาณการจับของผลผลิตหอยลายมีปริมาณลดลงเรื่อยๆ จนถึงปี 2545 ที่มีผลผลิตเพียง ร้อยละ 24.2 (มาลาและ จินตนา, 2548) และหอยลายที่จับได้ยังมีขนาดเล็กลงทุกปี อีกทั้งการพื้นตัวของแหล่งทำการหอยลายในบริเวณที่เสื่อมโทรมไปแล้วพบว่าอัตราการพื้นตัวของทรัพยากรหอยลายเป็นไปอย่างเชื่องช้าและใช้ระยะเวลานาน (มีค มินทร์, 2533) ซึ่งอาจเป็นผลมาจากการหลากหลายทางพันธุกรรมของแหล่งทำการหอยลายที่ต่ำ ที่เกิดจากผลกระทบจากการทำการประมงที่มากเกินไป

พันธุศาสตร์ประชากร เป็นการศึกษาเกี่ยวกับโครงสร้างองค์ประกอบทางพันธุกรรมของประชากรรวมถึงปัจจัยที่ทำให้เกิดการเปลี่ยนแปลงขององค์ประกอบทางพันธุกรรม ซึ่งทำให้มีผลทำให้เกิดการวิวัฒนาการของสิ่งมีชีวิต หลักการของพันธุศาสตร์ประชากร สามารถนำมาประยุกต์ใช้ได้ทั้งประชากรในโรงเพาะฟักและประชากรในธรรมชาติ ซึ่งการเกิดการเปลี่ยนแปลง

ทางพันธุกรรมนั้นอาจเป็นจากธรรมชาติเองหรืออาจเกิดจากการกระทำของมนุษย์ ผลเสียจากการลดลงของความหลากหลายทางพันธุกรรม อาจมีผลกระทบต่อความอยู่รอดของประชากรที่มีขนาดเล็ก ซึ่งการที่เราสามารถเข้าใจในกระบวนการเปลี่ยนแปลงต่างๆทางพันธุกรรมในระดับประชากร ทำให้เรามารู้นำมาใช้ในการวางแผนการจัดการประชากรสัตว์น้ำเพื่อรักษาความหลากหลายทางพันธุกรรมให้อยู่คู่กันในประชากร

ในปัจจุบันเครื่องหมายพันธุกรรม โดยเฉพาะเครื่องหมายระดับดีเอ็นเอ หลายชนิด เช่น ในโครงแซทเทลไลท์, AFLP, RAPD, ISSR ได้เข้ามานีบทบาทสำคัญในการศึกษาข้อมูลทางชีววิทยาหลากหลาย ประการในสัตว์ทั่วไป ในการศึกษาความหลากหลายทางพันธุกรรมและโครงสร้างประชากร ทำให้มีแนวคิดที่จะใช้ความรู้ทางด้านพันธุศาสตร์ประชากรเข้ามาช่วยศึกษาความหลากหลายทางพันธุกรรมของหอยลายของทั้งสองฝั่งทะเลทางอ่าวไทยและอันดามัน ที่อาจมีความแตกต่างกันทางพันธุกรรมเนื่องจากความหลากหลายทางภูมิศาสตร์ โดยใช้เครื่องหมายพันธุกรรม ISSR ซึ่งคล้ายคลึงกับเทคนิค RAPD แต่มีข้อดีกว่า และไม่จำเป็นต้องทราบข้อมูลของลำดับเบสของดีเอ็นเอเป็นอย่างก่อนและด้านค่าใช้จ่ายทางด้านเทคนิคในการศึกษาที่ไม่สูงนัก ใช้วิธีการตรวจสอบสั้นกว่า เมื่อเปรียบเทียบกับเครื่องหมายพันธุกรรม อีกอย่างไม่โครงแซทเทลไลท์ ที่ต้องใช้ระยะเวลาในการพัฒนาและค่าใช้จ่ายในการพัฒนาค่อนข้างที่สูง เพื่อใช้เป็นข้อมูลพื้นฐานในการวางแผนมาตรการอนรักษ์ทรัพยากรหอยลายในธรรมชาติอย่างยั่ง

## ວັດຖຸປະສົງຄໍ

ເພື່ອປະເມີນຄໍາຄວາມທຳກຫາຍາທາງພັນຊີກຣມແລະ ສຶກຂາໂຄຮງສ້າງປະຊາກຂອງຂອຍລາຍ  
ໃນແຫຼ່ງທັນພາກຮອຍລາຍຝຶ່ງອ່າວໄທຍບຣິວັນຈັງຫວັດສມູກສົງຄຣານ ສມູກປ່າກາຣ ສມູກສາກ  
ສູງຢູ່ຮານີ ແລະ ຝຶ່ງທະເລອັນຄາມນັນບຣິວັນຈັງຫວັດສຕູລ ໂດຍໃຊ້ເຄື່ອງໜາຍດີເລື່ອໜົດ  
ໄອເອສເອສອາຮ໌

## การตรวจเอกสาร

### อนุกรมวิธานของหอยลาย

หอยลายเป็นหอยสองฝ่า มีชื่อเรียกตามท้องถิ่นว่า หอยลาย กากยาซึ่งกุญแจเรียกว่า Surf clam หรือ Short-necked clam หรือ Carpet clam

หอยลายมีการจัดลำดับทางอนุกรมวิธานอยู่ใน Phylum Mollusca, Class Pelecypoda, Order Eumellibranchia, Family Veneridae, Genus *Paphia* หอยลายมีลักษณะที่สำคัญคือ เปลือกค่อนข้างบาง แข็ง มีรูปร่างยาวรี ฝาทั้งสองข้างมีขนาดเท่ากัน โดยปกติแล้วผิวด้านนอกของเปลือกหอยเรียบ มีสีน้ำตาลอ่อน และมีลักษณะหยักเป็นเส้นคดีๆ ตามขวางตลอดความยาวของผิวเปลือกด้านนอก เส้นลายหยักเหล่านี้จะมีสีน้ำตาลเข้ม ส่วนผิวเปลือกด้านในเรียบ มีสีขาว ในส่วนของบานพับ (Hinge) ซึ่งเป็นส่วนต่อระหว่างฝาทั้งสอง มีลักษณะคล้ายฟันซี่เล็กๆ ฝาละ 3 ซี่ หอยลายในประเทศไทยมีรายงานพบอยู่ 3 ชนิด *Paphia undulata*, *P. alapapilionis* และ *P. crassisulca* (กรมประมง, 2548)

### ชีววิทยาของหอยลายและการแพร่กระจายของหอยลาย

หอยลายมีการสืบพันธุ์แบบแยกเพศผู้และเพศเมีย มีการวางไข่ต่อต่อปี โดยช่วงที่วางไข่ สูงสุดจะอยู่ระหว่างเดือนสิงหาคม-ตุลาคม และมีนาคม-พฤษภาคม ทุกปี (ทั้งทางฝั่งอ่าวไทยและทะเลอันดามัน) (จินตนา, 2543) หอยลายมีความสมบูรณ์เพศที่จะสืบพันธุ์ได้จะมีขนาดประมาณ 3 เซนติเมตร หรือมีอายุประมาณ 1 ปี เมื่อผสมพันธุ์แล้ว ไข่จะฟักเป็นตัวอ่อนซึ่งตัวอ่อนจะล่องลอยไปตามกระแสน้ำเป็นเวลาประมาณ 12 วัน หลังจากนั้นจะลงเกาะยังพื้นท้องทะเล ในสภาพพื้นท้องทะเลที่เหมาะสมในพื้นที่ที่ลักษณะเป็นโคลน ปนทราย และหอยลายจะฝังตัวอาศัยอยู่ในระดับความลึกของผิวดิน 1-4 นิ้ว (นวลมนี, 2531) การแพร่กระจายทั่วไปจะอยู่ตามแนวชายฝั่งทะเลทั้งฝั่งอ่าวไทยและฝั่งอันดามัน ที่ระดับความลึกของน้ำ 1-25 เมตร ห่างจากชายฝั่งประมาณ 3 กิโลเมตร (ไฟแรงและ สุนันท์, 2536)

## ความหลากหลายทางพันธุกรรม

ความหลากหลายทางพันธุกรรมเป็นข้อมูลที่สำคัญของสิ่งมีชีวิต ซึ่งประกอบด้วยความแปรผันของยีนหรือหน่วยทางพันธุกรรม ความแปรผันนี้สามารถตรวจสอบได้จากความหลากหลายของอัลลิลและยีโน่ในกลุ่มของประชากรหรือในสิ่งมีชีวิตนั้นๆ ค่าที่ได้จะแสดงถึงระดับของความหลากหลายทางพันธุกรรมภายในประชากรและระหว่างประชากร ในสิ่งมีชีวิตที่มีการสืบพันธุ์แบบอาศัยเพศ ธรรมชาติจะรักษาความหลากหลายทางพันธุกรรมภายในประชากร โดยการเกิดรีคอมบินेशัน (Recombination) ซึ่งมีการแลกเปลี่ยนและสลับที่รวมตัวกันของยีนในกระบวนการแบ่งเซลล์แบบไม้อโซซิส (Meiosis) (Hedrick, 2000)

ส่วนความหลากหลายทางพันธุกรรมระหว่างประชากร เกิดเมื่อสามาชิกของแต่ละประชากร มีการแยกตัวออกจากประชากรเดิมและลดการถ่ายเทยีน (Gene flow) ระหว่างประชากร จนเป็นเหตุให้ความถี่ของประชากรเปลี่ยนแปลงไป ต่อมากลุ่มที่แยกจากกันจะมีลักษณะของวิวัฒนาการที่แตกต่างกันไปตามสภาพแวดล้อมที่อยู่อาศัย เพื่อให้สิ่งมีชีวิตสามารถดำรงชีวิตอยู่ในสภาพแวดล้อมที่เปลี่ยนแปลงได้ ดังนั้นความหลากหลายทางพันธุกรรมจึงเป็นรากฐานที่สำคัญในสิ่งมีชีวิตทุกชนิด (Hedrick, 2000)

ประชากร หมายถึง กลุ่มของสิ่งมีชีวิตชนิดเดียวกัน ที่มีการผสมพันธุ์และแลกเปลี่ยนยีนกันภายในกลุ่ม ซึ่งเกิดขึ้นในเวลาและสถานที่เดียวกัน (Hedrick, 2000) การศึกษาโครงสร้างของประชากร หมายถึง การศึกษาถึงแบบแผนความแตกต่างระหว่างประชากรย่อยภายในสิ่งชีวิตชนิดเดียวกัน โดยมุ่งเน้นที่ศึกษาว่าสิ่งมีชีวิตชนิดนั้นๆ แยกออกเป็นประชากรย่อยๆ หรือไม่ ประชากรเหล่านี้มีพันธุกรรมแตกต่างกันมากน้อยเพียงใด ความหลากหลายทางพันธุกรรมภายในประชากรมากน้อยเพียงใด ประชากรนั้นอยู่ในสมดุลหรือไม่ ถ้ามีการเปลี่ยนแปลงจากสภาพสมดุล ความเปลี่ยนแปลงนั้นเกิดจากสาเหตุใด (May and Krueger, 1990)

ปัจจัยสำคัญที่ทำให้โครงสร้างของประชากรเปลี่ยนแปลงไป ได้แก่

1. การคัดเลือก (Selection) เป็นปัจจัยเดียวที่ได้รับอิทธิพลมาจากการสภาพแวดล้อม โดยการคัดเลือกจากธรรมชาตินี้จะส่งผลต่อความผันธุกรรมในแบบที่จะไปเพิ่มความถี่ของอัลลิลที่เป็นประโยชน์ต่อการปรับตัวเข้ากับสภาพแวดล้อมนั้นๆ

2. การอพยพ (Migration) หรือการถ่ายเทของยีนระหว่างประชากร ทำให้ความถี่อัลลิลของประชากรเปลี่ยนแปลงไป ทั้งนี้ขึ้นอยู่กับสัดส่วนความแตกต่างของอัลลิลจากประชากรที่มีการอพยพเข้าและประชากรดั้งเดิม นอกจากนี้การอพยพจะช่วยลดความแตกต่างระหว่างประชากรยังเนื่องมาจากการกลายพันธุ์ การคัดเลือก และการขาดช่วงทางพันธุกรรม

3. การขาดช่วงทางพันธุกรรม (Genetic drift) เป็นการเปลี่ยนแปลงความถี่ของยีนในแต่ละชั่วอายุโดยมิทิศทางไม่แน่นอน เกิดจากการที่พ่อแม่พันธุ์ที่มีส่วนร่วมในการผสมพันธุ์สร้างประชากรในชั่วอายุต่อมาไม่เป็นตัวแทนของยีนไทยพั่งๆ ในสัดส่วนเท่ากับที่มีอยู่ในประชากรเดิม มีผลให้ความถี่ของยีนแตกต่างจากประชากรเดิม โดยมาสามารถคาดการณ์ได้ การขาดช่วงทางพันธุกรรมจะมีผลทำให้ความหลากหลายทางพันธุกรรมลดลง โดยลดจำนวนอัลลิลต่อตำแหน่งและจะมีผลกระทบในประชากรที่มีขนาดเล็กซึ้งมากกว่าประชากรขนาดใหญ่ (อุทัยรัตน์, 2543)

4. การกลายพันธุ์ (Mutation) ความหลากหลายทางพันธุกรรมของสิ่งมีชีวิตมีความแตกต่างกันไปก็มีจุดเริ่มต้นมาจาก การกลายพันธุ์ แต่ยังรวมถึงการเกิดการกลายพันธุ์ต่ำมากและอาศัยระยะเวลาที่บานนาน โดยต้องใช้เวลาเป็นพันหรือล้านชั่วโมงในการทำให้เกิดความผันแปรในยีนหนึ่งตำแหน่ง ดังนั้นการกลายจึงส่งผลน้อยมากต่อการเปลี่ยนแปลงของโครงสร้างประชากรในช่วงเวลาสั้นๆ (Frankham *et al.*, 2002)

### ค่าที่นักความหลากหลายทางพันธุกรรม

ในการศึกษาความหลากหลายทางพันธุกรรมของประชากร ต้องสู่ด้วยว่ามีจำนวนหนึ่งจากจำนวนทั้งหมดค่าศึกษาและวิเคราะห์ค่าความผันแปรของพันธุกรรมในประชากรนั้น (วิสุทธิ์, 2536) ความถี่ของยีนไทยปัจจุบันนี้เป็นประชากรนำไปคำนวณค่าที่แสดงความถี่ความหลากหลายทางพันธุกรรมระหว่างประชากรได้ดังนี้

#### ความหลากหลายทางพันธุกรรมภายในประชากร

1. จำนวนอัลลิลเฉลี่ยต่อตำแหน่ง (Average number of allele per locus) คำนวณจากผลรวมของจำนวนอัลลิลทั้งหมดทุกตำแหน่งแล้วหารด้วยจำนวนตำแหน่งยีนทั้งหมดที่ทำการศึกษา (Hedrick, 2000) จำนวนอัลลิลสามารถใช้ในการติดตามผลกระทบจากการเกิดสภาพภาวะขาด

(Bottleneck) และติดตามการเกิดการขาดช่วงทางพันธุกรรมได้ดี เมื่อจากการเกิดการขาดช่วงทางพันธุกรรมจะทำให้อัลลิลที่มีความถี่ต่ำ (Rare allele) สูญหายไป (Allendorf and Phelps, 1980) โดยประชากรที่มีจำนวนอัลลิลน้อยจะทำให้ความสามารถในการปรับตัวให้เข้ากับสภาพแวดล้อมลดน้อยลง จนนำไปสู่การผสมเลือดซิด (Inbreeding) ภายในประชากร ซึ่งจะส่งผลกระทบต่อความสามารถในการสืบพันธุ์และการอยู่รอดของสั่งมีชีวิต

2. Effective number of allele ( $N_e$ ) เป็นค่าที่แสดงถึงจำนวนอัลลิลของพ่อแม่ที่สามารถผสมพันธุ์กันและถ่ายทอดไปสู่รุ่นลูกได้ โดยค่านี้ใช้ในการเปรียบเทียบประชากรที่มีจำนวนและการกระจายตัวของอัลลิลแตกต่างกัน โดยปกติจะมีค่าน้อยกว่าจำนวนที่แท้จริง (Actual number)

3. เฮตเตอโรไไซโแกติกซิตี (Heterozygosity) เป็นค่าความถี่ของเฮตเตอโรไไซโgot ต่อปีน 1 ตำแหน่ง ซึ่งจะคำนวณทั้งค่าจากการสังเกต ( $H_o$ ) และจากค่าคาดหมาย ( $H_e$ ) ค่าเฮตเตอโรไไซโแกติกซิตีมีความสัมพันธ์กับขนาดประชากร โดยถ้ามีค่าต่ำแสดงว่าประชากรมีขนาดเล็ก ซึ่งเฮตเตอโรไไซโแกติกซิตีเป็นตัวชี้วัดการขาดช่วงทางพันธุกรรมที่ไม่ดีนัก (Falconer, 1996)

### การประเมินค่าความหลากหลายทางพันธุกรรมในประชากร

#### 1. ข้อมูลจากเครื่องหมายบันร่วม

ในการประเมินค่าจากข้อมูลจากเครื่องหมายพันธุกรรมที่สามารถบอกความแตกต่างระหว่างโซโนไโซโน ก็อกต และ เฮตเตอโรไไซโgot เช่น อัลโลไซม์, ไมโครแซฟท์แอลที สามารถคำนวณความถี่ของยีนได้ดังนี้

$$p = \frac{(2N_{AA} + N_{Aa})}{2N}$$

$$q = \frac{(2N_{aa} + N_{Aa})}{2N}$$

โดย  $p$  เป็นความถี่ของอัลลิล  $A$  และ  $q$  เป็นความถี่ของอัลลิล  $a$ ,  $N$  เป็นจำนวนตัวอย่างที่ทำการศึกษา และ  $N_{AA}$ ,  $N_{aa}$  และ  $N_{Aa}$  เป็นจำนวนตัวอย่างที่มีจีโนไทพ์แบบ  $AA$ ,  $aa$  และ  $Aa$  ตามลำดับ

สำหรับค่าสังเกตเหตุเทอโรไซโกริตี้ เป็นสัดส่วนของ  $Aa$  เฉลี่ยต่อเครื่องหมาย 1 ตำแหน่ง ต่อตัวอย่าง 1 ตัว จะสามารถคำนวณได้จากสูตร

$$H_0 = \sum \frac{(N_{Aa} / N)}{n}$$

โดย  $n$  คือจำนวนตำแหน่งที่ทำการศึกษา

เมื่อมีการสมมุติฐานว่า ประชากรที่ทำการศึกษาอยู่ในสมดุลฮาร์ดไวน์เบอร์ก สามารถคำนวณค่าคาดหมายเหตุเทอโรไซโกริตี้ ( $H_e$ ) ซึ่งคำนวณได้จากสูตร

$$h_i = 1 - \sum X_i^2$$

โดย  $X_i$  คือ ความถี่ของอัลลิล  $i$ ;  $h_e$  เป็นค่าคาดหมายเหตุเทอโรไซโกริตี้ ของเครื่องหมายแต่ละตำแหน่งที่คำนวณจากเครื่องหมายแต่ละตำแหน่งรวมกันและหารด้วยจำนวนตำแหน่งที่ศึกษา

ถ้าประชากรอยู่ในสมดุลฮาร์ดไวน์เบอร์ก ค่าคาดหมายเหตุเทอโรไซโกริตี้ ( $H_e$ ) และ ค่าสังเกตเหตุเทอโรไซโกริตี้ ( $H_0$ ) ของแต่ละตำแหน่ง ในแต่ละประชากร จะไม่แตกต่างกันทางสถิติ ซึ่งสามารถตรวจสอบได้โดยวิธี Chi-square, log likelihood ratio หรือ exact test

## 2. ข้อมูลจากเครื่องหมายขั้นสมบูรณ์ที่ไม่สามารถแยกไฮโซในไซโกริตและเหตุเทอโรไซโกริต

ในการประเมินค่าจากข้อมูลที่ไม่สามารถแยกความแตกต่างไฮโซในไซโกริต และ เหตุเทอโรไซโกริตในแต่ละตำแหน่งของส่วนดีเอ็นเอที่ทำการศึกษา เช่น Random amplified polymorphic DNA (RAPD), Inter simple sequence repeat (ISSR), Amplified fragment length polymorphism

(AFLP) จุดประสงค์หลักคือ การค้นหาแบบดีเอ็นเอที่แตกต่างกัน ส่งผลให้ได้รูปแบบ ที่เรียกว่า แอนโพรไฟปี ทำได้โดยคำนวณระดับความคล้ายคลึงระหว่างแอนโพรไฟปีโดยใช้สูตร

$$S_{xy} = \frac{2n_{xy}}{(n_x + n_y)}$$

โดย  $n_x$  และ  $n_y$  คือ จำนวนແບดีเอ็นเอของแอนโพรไฟปี  $x$  และ  $y$  ตามลำดับ  $n_{xy}$  คือ จำนวนແບดีเอ็นเอเหมือนกันใน 2 แอนโพรไฟปี

ค่าระยะห่างทางพื้นฐานระหว่างแอนโพรไฟปีโดยใช้สูตร

$$d = 1 - S \text{ (Lynch, 1990)}$$

โดยคำนวณค่าความหลากหลายของแอนโพรไฟปีภายในประชากรจากสูตร

$$h = 2n \left( \frac{1 - \sum (X_i^2)}{2n - 1} \right) \text{ สำหรับยืนในนิวเคลียส}$$

$$\text{หรือ มีค่าเท่ากับ } h = n \left( \frac{1 - \sum (X_i^2)}{n - 1} \right) \text{ สำหรับยืนในไมโทคอนเดรีย}$$

โดยมีค่าเฉลี่ยเท่ากับ

$$H = \sum_{j=1}^r \frac{h_j}{r}$$

โดย  $r$  คือจำนวนตัวແหน่ง ที่ทำการศึกษา (Nei, 1987)

## ความหลากหลายทางพันธุกรรมระหว่างประชากร

1. ค่าสัมประสิทธิ์อef ( $F$ -coefficient) เป็นค่าที่สำคัญในการศึกษาโครงสร้างของประชากร โดยค่านี้แสดงความสัมพันธ์ของอัลลิลภายในกลุ่มประชากร ซึ่งจะบ่งบอกว่ากลุ่มของประชากรนั้นๆ ได้แบ่งออกเป็นประชากรย่อยหรือไม่ (Wright, 1978) สิ่งมีชีวิตหนึ่งๆ อาจมีโครงสร้างประชากรเป็นแบบประชากรเดี่ยวขนาดใหญ่ หรือแบ่งออกเป็นประชากรย่อยที่ตัดขาดกันอย่างสิ้นเชิง หรือแบ่งเป็นประชากรย่อยที่อาจผสมข้ามประชากรบางโอกาส หรืออาจเป็นประชากรที่อยู่ในสภาพภูมิศาสตร์เดียวกันอาจแต่ไม่มีการผสมข้ามประชากร หรือไม่เกิดการถ่ายเทียนระหว่างประชากร หรืออาจมีหลายลักษณะปะปนกันไป โดยที่ค่าสัมประสิทธิ์อef มีทั้งหมด 3 แบบ คือ

$F_{IS}$  เป็นค่าที่บ่งบอกระดับการเบี่ยงเบนจากสมดุลฮาร์ดี-ไวน์เบิร์กของประชากรย่อย ซึ่งค่านี้มีทั้งค่าบวกและค่าลบ

$F_{IT}$  เป็นค่าที่บ่งบอกระดับการเบี่ยงเบนจากสมดุลฮาร์ดี-ไวน์เบิร์กของประชากรทั้งหมด

$F_{ST}$  เป็นค่าที่วัดความแตกต่างทางพันธุกรรมระหว่างประชากรต่างๆ หากมีค่าสูงแสดงว่าตัวอย่างที่ศึกษานั้นมีการแบ่งเป็นประชากรย่อยจริง

2. ระยะห่างทางพันธุกรรม (Genetic distance) เป็นค่าที่แสดงถึงจำนวนของอัลลิลที่มีการเปลี่ยนแปลงไปในแต่ละตำแหน่งหลังจากที่ประชากรทั้งสองเริ่มแยกจากกัน โดยจะบ่งบอกถึงความถี่และปริมาณการถ่ายเทียนระหว่างประชากร หากความถี่อัลลิลของสองประชากรคล้ายคลึงกัน ความคล้ายคลึงทางพันธุกรรมจะมีค่าเข้าใกล้ 1 และค่าระยะห่างพันธุกรรมเข้าใกล้ 0 ค่าระยะห่างทางพันธุกรรมนี้สามารถนำไปใช้สร้างแผนภูมิความสัมพันธ์ทางพันธุกรรม (Phylogenetic dendrogram) ได้ (Frankham *et al.*, 2002)

## การประเมินค่าความแตกต่างทางพันธุกรรมระหว่างประชากร

### 1. ข้อมูลจากเครื่องหมายบ่ร่วม

การคำนวณหาค่าระยะห่างทางพันธุกรรมระหว่างประชากรเป็นการแสดงค่าที่ได้จากความถี่ของจีโนไทฟ์ซึ่งมีสูตรหลาดสูตร โดยทั่วไปค่าพื้นฐานที่ใช้ทั่วไป คือ ค่าระยะห่างทางพันธุกรรมมาตรฐาน โดย Nei (Nei, 1972)

ในประชากร X และ Y ค่าความน่าจะเป็นที่ประชากรมีจีโนไทฟ์เหมือนกันของตำแหน่งคำนวณจากสมการ

$$j_x = \sum x_i^2 \text{ และ } j_y = \sum y_i^2$$

โดย  $x_i$  และ  $y_i$  เป็นความถี่อัลลิล  $i$  ของตำแหน่งที่ทำการศึกษาในประชากร X และ Y หากตำแหน่งที่ทำการศึกษามีจำนวน 2 อัลลิลค่าวิบความถี่  $p$  และ  $q$  ดังนั้น

$$J = p^2 + q^2$$

ค่าความน่าจะเป็นที่ประชากร X และ Y มีจีโนไทฟ์ของตำแหน่งยืนเคียงกันเหมือนกัน ( $j_{xy}$ ) เท่ากับ

$$j_{xy} = \sum x_i y_i$$

ค่า Normalized identity ในประชากร X และ Y ในตำแหน่งที่ทำการศึกษาทั้งหมดเท่ากับ

$$I = \frac{j_{xy}}{J_x J_y^{1/2}}$$

โดย  $J_{xy}$ ,  $J_x$  และ  $J_y$  คือค่าเฉลี่ยของ  $J_{xy}$ ,  $J_x$  และ  $J_y$  ในตำแหน่งที่ทำการศึกษาทั้งหมดตามลำดับ ค่าระยะห่างทางพันธุกรรมระหว่างประชากร X และ Y เท่ากับ

$$D = \ln(I)$$

## 2. ข้อมูลที่ไม่สามารถแยกไข่ไม่ใช่ไขตและเยตเทอโร่ใช่ไขต

คำนวณระดับความแตกต่างทางพันธุกรรมระหว่างคู่แข่งโพลไทร์โดยคำนวณระดับความคล้ายคลึงระหว่างแข่งโพลไทร์โดยใช้สูตร

$$S_{ij} = \frac{2n_{ij}}{n_i + n_j}$$

โดย  $n_i$  และ  $n_j$  คือจำนวนแบบดีเอ็นเอของตัวอย่าง i และ j ในประชากร I และ J ตามลำดับ  $n_{ij}$  คือจำนวนแบบดีเอ็นเอที่เหมือนกันในคู่ตัวอย่างที่ทำการเปรียบเทียบ (Lynch, 1990)

คำนวณค่าความเหมือนทางพันธุกรรมระหว่างประชากร ( $S_{ij}$ ) โดยคำนวณค่าความเหมือนระหว่างคู่ตัวอย่างจากต่างประชากรที่เป็นไปได้ทั้งหมดหารด้วยจำนวนตัวอย่างที่ตรวจสอบทั้งหมด และหาค่าระบุห่างทางพันธุกรรม ( $d$ ) โดยใช้สูตร

$$d_j = 1 - S_{ij}$$

## การศึกษาพันธุศาสตร์ประชากรหอยทะเล

หอยเป็นสัตว์น้ำที่มีความแตกต่างจากสัตว์น้ำชนิดอื่นๆ ในเรื่องของการแพร่กระจายเนื่องจากหอยทะเลส่วนใหญ่เมื่อเจริญเติบโตเต็มวัยจะมีการเคลื่อนที่เชื่องช้าหรือไม่มีการเคลื่อนที่แต่ในระยะตัวอ่อนของหอย จะมีลักษณะที่เป็นแพลงก์ตอน ซึ่งสามารถล่องลอยไปตามกระแสน้ำ ถ้าหอยมีระยะตัวอ่อนนาน ตัวอ่อนจะมีโอกาสล่องไปได้ไกล ทำให้เกิดการปะปนกันระหว่างประชากรได้ง่ายในทะเลเปิด ซึ่งหมายถึงมีการถ่ายเทยังระหว่างประชากร ทำให้ความหลากหลายทางพันธุกรรมภายในประชากรสูงและไม่มีความแตกต่างกันระหว่างประชากร ในทางตรงกันข้าม ถ้ามีระยะของตัวอ่อนที่สั้น ล่องลอยไปได้ไม่ไกล ส่งผลให้การแพร่กระจายที่มีอยู่อย่างจำกัด (Rhodes et al., 2003) ใน การศึกษาโครงสร้างทางพันธุกรรมของหอย 2 ชนิด ที่มีระยะตัวอ่อนที่ต่างกันคือ หอย *Goniadoris nodosa* มีระยะตัวอ่อนที่ยาวนานถึง 3 เดือน ไม่พบความแตกต่างที่

ระยะทางมากกว่า 1000 กิโลเมตร และการเกิดประชากรในรุ่นตั้ดไปจะได้รับตัวอ่อนจากประชากรอื่นที่อยู่ห่างไกลเป็นส่วนใหญ่ ในทางตรงกันข้ามกับหอย *Adalaris proxima* มีระยะตัวอ่อนเพียง 1-2 วัน รวมถึงลักษณะของไข่จะมีลักษณะเดียวกับหอยเช่นเดียวกัน จึงพบความแตกต่างได้ในระยะทางที่น้อยกว่า 100 เมตร ซึ่งทำให้การแทนที่ในรุ่นตั้ดไปมาจากประชากรเดิม (Todd *et al.*, 1998; Lambert *et al.*, 2003)

นอกจากการกระจายของตัวอ่อนแล้ว สิ่งกีดขวางบังเป็นปัจจัยหนึ่งที่มีผลต่อการถ่ายเทียนจากศึกษาความหลากหลายทางพันธุกรรมของหอยเชลล์ พบว่าระหว่างประชากรจากอ่าวไทยและทะเลอันดามันมีความแตกต่างทางพันธุกรรมค่อนข้างสูง เป็นผลมาจากการลักษณะภูมิประเทศที่มีแผ่นดินกีดขวาง ทำให้มีการแยกขาดออกจากกันระหว่างประชากร (Mahidol *et al.*, 2007) เช่นเดียวกับการศึกษาในกุ้งกุลาคำ (*Penaeus monodon*) (Klinbunga *et al.*, 2001) และ หอยเป้ารื้อ (*Haliotis asinina*) (Klinbunga *et al.*, 2003)

นอกจากนี้ทิศทางของกระแสน้ำก็เป็นปัจจัยสำคัญที่กำหนดรูปแบบโครงสร้างประชากร เช่น ในการศึกษาความหลากหลายทางพันธุกรรมของปลาเก้าอี้ดองในประเทศไทยและอินโดนีเซีย โดยใช้เครื่องหมายพันธุกรรมในโครงเขตเทเลไลท์ แสดงความสัมพันธ์ทางพันธุกรรมของประชากรที่ศึกษาที่ไม่สอดคล้องกับระยะทางระหว่างประชากร โดยประชากรที่อยู่ห่างกันถึง 1,044 กิโลเมตร กลับมีพันธุกรรมคล้ายคลึงกันมาก เนื่องจากอยู่ในทิศทางของกระแสน้ำเดียวกัน แต่ประชากรที่อยู่ห่างกันเพียง 638 กิโลเมตร กลับมีพันธุกรรมที่แตกต่างกันมาก เนื่องจากไม่อยู่ในทิศทางของกระแสน้ำเดียวกัน แสดงให้ทราบว่าแนวโน้มของการไหลเวียนของกระแสน้ำในมหาสมุทรเมืองทิพลดต่อความหลากหลายทางพันธุกรรมระหว่างประชากร (Antoro *et al.*, 2005) การศึกษาโครงสร้างทางพันธุกรรมของหอยเป้ารื้อ (*Haliotis fulgens*) ตามแนวชายฝั่งแคลิฟอร์เนียและเกาะ Isla Guadalupe ที่ตั้งอยู่ทางเหนือของชายฝั่ง พบว่าประชากรจากเกาะแตกต่างจากประชากรตามแนวชายฝั่ง เนื่องจากหอยชนิดนี้มีการวางไข่ในช่วงที่กระแสน้ำแคลิฟอร์เนียไหลย้อนกลับไปทางเหนือ ซึ่งไม่มีการถ่ายเทียนจากเกาะมาสู่ประชากรตามแนวชายฝั่งแคลิฟอร์เนีย (Gutierrez-Gonzalez *et al.*, 2007)

Tang *et al.* (2004) ได้ศึกษาทางด้านพันธุศาสตร์ประชากรในหอยเป้ารื้อ *Haliotis asinina* ในธรรมชาติในฝั่งอันดามันและอ่าวไทย โดยใช้ในโครงเขตเทเลไลท์ 3 ตำแหน่ง พบว่าค่าເເຫດເກຣໂໄຣໄຊໂໂກຊີຕີ ( $H_d$ ) จากอ่าวไทย ( $H_d$  มีค่า 0.70 และ  $H_e$  มีค่า 0.87) และอันดามัน ( $H_d$  มีค่า 0.58 และ  $H_e$  มี

ค่า 0.62 ซึ่งซึ่งให้เห็นว่าตัวอย่างหอยเป้าอี๊อในธรรมชาติจากอ่าวไทย มีความหลากหลายทางพันธุกรรมที่สูงกว่าหอยเป้าอี๊อจากฝั่งอันดามัน แต่โครงสร้างของประชากรของหอยเป้าอี๊อ *H. asinina* ไม่พบความแตกต่างกันทางพันธุกรรมอย่างมีนัยสำคัญในกลุ่มตัวอย่างของหอยภายในอ่าวไทย แต่จะพบความแตกต่างอย่างมีนัยสำคัญทางสถิติระหว่างกลุ่มตัวอย่างของหอยในธรรมชาติจากอ่าวไทยและอันดามัน

*Li et al.* (2006) ศึกษาและประเมินค่าความหลากหลายทางพันธุกรรมและการจำแนกความแตกต่างระหว่างประชากรโดยใช้เครื่องหมายในโครแซทเทลไลท์ 7 ตำแหน่งในการประเมินค่าความหลากหลายทางพันธุกรรมในหอยนางรม *Crassostrea gigas* ในประเทศไทย พบร่วมค่าเชตโทโรไซโภชต์ ออยู่ในช่วงระหว่าง 0.916-0.949 ซึ่งแสดงให้เห็นว่าประชากรหอยยังคงมีความหลากหลายทางพันธุกรรมในระดับสูงและยังพบว่ามีความแตกต่างทางพันธุกรรมในระหว่างประชากรใน 5 พื้นที่ของการศึกษา

*Wolf et al.* (2004) ศึกษาผลการทบทวนจากการเกิดคลพิษในปากแม่น้ำ Scheldt ในประเทศเนเธอร์แลนด์ที่มีผลกระทบต่อโครงสร้างประชากรของหอย *Littorina littorea* โดยการใช้เครื่องหมาย RAPD จากการศึกษาพบว่าค่าเฉลี่ยในทุกประชากรทางตอนเหนือและทางตอนใต้ของปากแม่น้ำมีระดับของค่าเชตโทโรไซโภชต์ในระดับสูง แต่ไม่ได้แสดงให้ถึงความแตกต่างระหว่างประชากรในปากแม่น้ำ ซึ่งการศึกษารึ่งนี้แสดงให้ว่าการเกิดคลพิษไม่ได้ไปมีผลกระทบต่อความหลากหลายทางพันธุกรรมที่ทำให้ระดับความหลากหลายทางพันธุกรรมในประชากรลดลง

*Hou et al.* (2006) ได้ทำการศึกษาความหลากหลายทางพันธุกรรมของหอย Surf clam (*Mactra veneriformis*) ในประเทศไทย ใน 7 พื้นที่ โดยการใช้เทคนิค ISSR-PCR marker พบร่วมค่าเชตโทโรไซโภชต์อยู่ในช่วงระหว่าง 0.212-0.342 ซึ่งแสดงให้เห็นว่าหอยใน 7 พื้นที่ยังคงมีความหลากหลายทางพันธุกรรมในระดับปานกลางและสามารถแบ่งแยกประชากรหอยได้ออกเป็น 3 กลุ่มประชากรคือ กลุ่มประชากรใน Liaoning, Oingdao/Lianyungang และ Ningbo

*Milton et al.* (1998) ได้ศึกษาความหลากหลายทางพันธุกรรมและโครงสร้างประชากรของหอย *Venus antiqua* ในบริเวณทางใต้ของประเทศไทยโดยการใช้เทคนิคไอโซไซม์ จำนวน 13 ตำแหน่ง ผลการศึกษาพบว่าประชากรหอยที่ทำการศึกษาในแต่ละแหล่งนั้น ไม่มีความแตกต่างกันระหว่างประชากรและยังพบว่าประชากรหอยมีความหลากหลายทางพันธุกรรมในระดับปานกลาง

ซึ่งมีความสอดคล้องกันกับการที่พบว่าอัตราของการเจริญเติบโตของมีค่าที่ต่ำและหอยมีความสมบูรณ์ทางเพศช้า ซึ่งอาจเป็นผลมาจากการทำการประมงในบริเวณนั้นมากเกินไป

Kong *et al.* (2007) ศึกษาพันธุศาสตร์ประชากรและความแตกต่างของโครงสร้างประชากรในหอย *Coelomactra antiquata* ในแหล่งทำการประมง 4 แหล่งในบริเวณชายฝั่งทะเลในประเทศไทย จิน โดยใช้เทคนิคไอโซไซน์ ซึ่งทำการศึกษาเพื่อยืนยันการถึงลดลงของพลดลิตหอยในบริเวณแหล่งทำการประมงทั้ง 4 แหล่งซึ่งมีการทำการประมงอย่างหนาแน่นในช่วง 20 ปีที่ผ่านมา เพื่อใช้ในการวางแผน โปรแกรมในการจัดทรัพยากรและการอนุรักษ์ ผลจากการศึกษาพบว่าหอยทั้ง 4 บริเวณ มีค่า Allele richness อยู่ในช่วง 2.79 - 3.53 และมีค่าเขตเทอร์ไซโกลซิตอยู่ในช่วง 0.326 - 0.519 และมีความแตกระหว่างประชากร 3 ประชากรในบริเวณทางตอนเหนือ และ 1 ประชากรในบริเวณทางตอนใต้ในระดับสูง

Hui and Hou (2006) ทำการศึกษาหลากหลายทางพันธุกรรมของประชากรหอย (*Pinctada fucata*) ในประชากรธรรมชาติและในโรงเพาะเลี้ยง 3 พื้นที่ Beibu Bay, Daya Bay, Sanya Bay ในประเทศไทย โดยใช้เทคนิค AFLP พบว่าค่ามีความหลากหลายทางพันธุกรรมในประชากรธรรมชาติ และในโรงเพาะเลี้ยงมีค่าความหลากหลายในระดับปานกลาง โดยมีค่าเฉลี่ยเท่ากัน (0.393, 0.378), (0.374, 0.378), (0.367, 0.377) ตามลำดับ

นอกจากนี้ยังมีการศึกษาพันธุศาสตร์ประชากรของหอยหมวกเงี้ก *Patella ferruginea* ใน 2 พื้นที่ Sardinian ในบริเวณที่มีการถูกคุกคามและบริเวณที่มีการอนุรักษ์พบว่า ค่า ( $H$ ) = 0.173,  $H$  = 0.203-0.233 ซึ่งแสดงให้เห็นว่าบริเวณที่มีการคุกคามมีค่าความหลากหลายที่ต่ำกว่าบริเวณที่มีการอนุรักษ์ (Casu *et al.*, 2006)

สำหรับหอยลายนั้น ยังไม่พบว่ามีการศึกษาความหลากหลายทางพันธุกรรมในประชากรหอยลายในประเทศไทย

### เครื่องหมายพันธุกรรมที่ใช้ศึกษาพันธุศาสตร์ประชากร

เครื่องหมายพันธุกรรมที่ใช้ในการศึกษาพันธุศาสตร์ประชากรสามารถแบ่งออกได้เป็น 2 กลุ่มคือ โปรตีนเครื่องหมาย ได้แก่ อัลโลไไซน์ ซึ่งเป็นการตรวจสอบและเบริญน์เพิ่บความแตกต่าง

ของโปรตีนชนิดต่างๆ และดีเอ็นเอเครื่องหมาย ได้แก่ เครื่องหมายในโครแซทเทลไลท์ เครื่องหมาย RAPD (Randomly Amplified polymorphic DNA) เครื่องหมาย ISSR ( Inter simple Sequence Repeat ) และ เครื่องหมาย AFLP (Amplified Fragment Length Polymorphism)

### เครื่องหมาย RAPDและ เครื่องหมาย ISSR

เทคนิค RAPD ได้ถูกพัฒนาโดยนักวิทยาศาสตร์ 2 กลุ่ม คือ Welsh and McClelland (1990) และ Williams *et al.* (1990) หลักการของเทคนิคนี้คือ การใช้ไพรเมอร์ที่ออกแบบมาโดยสุ่มซึ่งจะสามารถที่จะเพิ่มปริมาณดีเอ็นเอในจีโนม ให้ได้ผลผลิตของ PCR ได้หลายชิ้น ที่แสดงความหลากหลายในหลายระดับตั้งแต่ตัวอย่างภายในประชากร ระหว่างประชากร และระหว่างชนิด (Hadrys *et al.*, 1992) andan ดีเอ็นเอที่ปรากฏนั้นจะได้มาจากการส่วนในจีโนม ทั้งส่วนที่อนุรักษ์ (Conserved region) ส่วนที่แสดงความหลากหลายทางพันธุกรรมสูง ส่วนที่เป็นส่วนของยีนและที่ไม่ใช่ยีน ชิ้นดีเอ็นเอที่ได้จากเทคนิค RAPD สามารถนำไปพัฒนาเป็นโนเลกุลเครื่องหมาย ที่ใช้ประยุกต์ใช้ในงานส่วนอื่นๆ

ไพรเมอร์ที่ใช้มีขนาด 8-12 คู่เบส โดยมีหลักการง่ายๆ ว่า ไพรเมอร์ควรมีlong ประกอบของ เบส G+C มากกว่า 50% และมีลำดับเบสแบบสุ่ม ซึ่งการทำ PCR นั้นจะใช้อุณหภูมิ annealing ต่ำๆ ไพรเมอร์แบบสุ่มนี้จะสามารถจับดีเอ็นเอต้นแบบได้หลายตำแหน่ง และความหลากหลายจะแสดง ในลักษณะนี้และ ไม่มีของແນบดีเอ็นเอแต่ละແນบ โดยแต่ละແນบถือให้เป็น 1 ตำแหน่ง (Locus)

เทคนิค ISSR มีหลักการคล้ายคลึงกับเทคนิค RAPD แต่ไพรเมอร์ที่ใช้จะเป็น ลำดับเบสซ้ำ อย่างง่ายๆ (Simple repeat) เช่น  $(AG)_nG$   $(GA)_nYC$   $(ATG)_n$  เป็นต้น เทคนิกนี้ในทางทฤษฎีมี เปอร์เซ็นต์การทำซ้ำ ของແນบดีเอ็นที่ได้ดีกว่า RAPD เนื่องจากไพรเมอร์ที่ใช้มีความยาวมากกว่า จึงสามารถทำปฏิกิริยา PCR ที่อุณหภูมิสูงกว่า RAPD นอกจากนี้ไพรเมอร์ ISSR ยังจับกับส่วน ไม่โครแซทเทลไลท์ โดยตรงทำให้ได้เครื่องหมายที่มีระดับความหลากหลายสูงกว่า RAPD ซึ่งเป็น การรวมข้อมูลของเทคนิค RAPD, AFLP และไม่โครแซทเทลไลท์ ไว้ด้วยกัน และให้ผลการ ตรวจสอบใช้เวลาสั้นกว่า AFLP และ ไม่จำเป็นต้องทราบข้อมูลของลำดับเบสของดีเอ็นเอเป้าหมาย ก่อน และค่าใช้จ่ายในการศึกษาที่ไม่สูงมาก

## การวิเคราะห์พันธุศาสตร์ประชากรจากข้อมูลเครื่องหมายแบบขั้นสมบูรณ์

เครื่องหมายพันธุกรรมแบบขั้นสมบูรณ์ (Dominant markers) เช่นเครื่องหมาย RAPD และ ISSR ซึ่งเริ่มนิยมนำมาใช้ในการศึกษาพันธุศาสตร์ประชากรและการตรวจสอบความหลากหลายทางพันธุกรรมอย่างไรก็ตามหนึ่งในข้อจำกัดในการใช้เครื่องหมายแบบขั้นสมบูรณ์คือ เครื่องหมายแบบขั้นสมบูรณ์ประเมินค่าความหลากหลายทางพันธุกรรมได้ต่ำกว่าเครื่องหมายแบบขั้นร่วมเนื่องจากไม่สามารถถอดความแตกต่างระหว่าง ไฮโนไซโกตและไฮต์โลไฮต์ (Lynch and Milligan, 1994)

นอกจากนี้เครื่องหมายแบบขั้นสมบูรณ์มีความยากในการวิเคราะห์ค่าทางสถิติต่างๆ เช่น มีความยากในการคำนวณค่าความถี่อัลลิล และค่าทางสถิติทางพันธุศาสตร์ เช่น ( $H_s$ ,  $F_{ST}$ ) เนื่องจาก ข้อมูลเครื่องหมายแบบขั้นสมบูรณ์จะแสดงให้เห็นเพียง ลักษณะที่ปรากฏและไม่ปรากฏของแต่ละเอ็นโซชีส์เป็นไปไม่ได้ที่จะคำนวณความถี่ของอัลลิลจากเครื่องหมายแบบขั้นสมบูรณ์ได้โดยตรง การคำนวณจะต้องมีการทำหน้าที่ประชากรที่ศึกษาอยู่ในสมดุลฮาร์ด-ไวเบิร์ก เช่นวิธีการของ Lynch and Milligan (1994) ซึ่งใช้ในการคำนวณค่าความหลากหลายทางพันธุกรรมในข้อมูลแบบขั้นสมบูรณ์ (Dominant marker) เช่น RAPD, ISSR, AFLP

## อุปกรณ์และวิธีการ

### 1. การเก็บตัวอย่าง

สถานที่เก็บตัวอย่างทำการเดือกจุดเก็บตัวอย่างของหอยลายในบริเวณแหล่งทำการประมงหอยลาย โดยทำการสำรวจเอกสารจากกรมประมงและสอบถามจากผู้ประกอบการที่ทำการประมงหอยลาย ซึ่งทำการประมงอยู่ในปัจจุบัน การศึกษาครั้งนี้ทำการเดือกจุดเก็บตัวอย่างในแหล่งทำการประมงหอยลายในประเทศไทย 5 แหล่งในบริเวณอ่าวไทย 4 แหล่ง ในจังหวัดสมุทรสงคราม สมุทรสาคร สมุทรปราการ และ สุราษฎร์ธานี 1 แหล่ง ในฝั่งทะเลขัมมัน ในจังหวัดสตูล ในช่วงเดือนกรกฎาคม-กันยายน 2551 โดยทำการเก็บตัวอย่าง โดยใช้รีดติดเครื่องชนติดเครื่องมือคราดหอยขนาดไม่น้อยกว่า 1.2 เซนติเมตร คราดครุดไปกับพื้นทะเลเพื่อเก็บตัวอย่าง เก็บรวมรวมตัวอย่างหอยลายขนาด 3 เซนติเมตร โดยเก็บแหล่งละ 3 ถุง เก็บตัวอย่างประชากรละ 100 ตัว สถานที่เก็บและจุดเก็บตัวอย่างจำนวนตัวอย่าง เดือนที่เก็บตัวอย่างแสดงไว้ในตารางที่ 1

### 2. การสกัดดีเอ็นเอจากกล้ามเนื้อเท้าของหอยลาย

สกัดดีเอ็นเอจากกล้ามเนื้อเท้าของหอยลายแต่ละตัว ด้วยวิธี พินอล/ คลอร์ฟอร์ม โดยดัดแปลงจากวิธี Taggart *et al.* (1992)

ตัดตัวอย่างกล้ามเนื้อเท้า (Foot mussel) ให้ได้น้ำหนักประมาณ 0.1 กรัม 2 ถึง 3 ชิ้น ใส่ในหลอดขนาด 1.5 ml เติมน้ำฟเฟอร์ (ความเข้มข้น 10 mM Tris-HCl, 1% NaCl, ความเข้มข้น 1mM EDTA, pH 8.0) ปริมาตร 350 μl และเติม Proteinase K ความเข้มข้น 20 mg/ml, SDS ความเข้มข้น 10% บ่มทิ้งไว้ที่อุณหภูมิ 55° C ทิ้งไว้ข้ามคืน หลังจากการบ่มนำมาสกัดดีเอ็นเอโดยใช้ พินอล : คลอร์ฟอร์ม : 400 μl และชิ้นที่สอง พินอล:คลอร์ฟอร์ม: ไอโซเมิลในอัตราส่วน 25:24:1 ในแต่ละขั้นตอนนำตัวอย่างไปปั่นให้ว่องที่ความเร็วรอบ 14,000 rpm นาน 10 นาที คุณภาพสารละลายส่วนบนใส่หลอดใหม่ จากนั้นล้างตะกรอนดีเอ็นเอด้วยเอทานอล 95% ที่เย็นจัด ปริมาตร 1.5-2 เท่าของปริมาณตัวอย่าง ล้างตะกรอนดีเอ็นเออีก 2 ครั้ง ด้วยเอทานอล 70% ปริมาตร 0.5-1 ml นำไปปั่นให้ว่องที่ความเร็วรอบ 10,000 rpm นาน 5 นาที ละลายตัวอย่างดีเอ็นเอในสารละลายบีฟเฟอร์ TE (10 mM Tris-HCl pH 7.6, 1mM EDTA, pH 8.0) แล้วเก็บไว้ที่อุณหภูมิ -20 °C

### 3. วัดปริมาณและคุณภาพดีเอ็นเอ

วัดปริมาณและคุณภาพของดีเอ็นเอ โดยการวัดค่าการดูดกลืนแสง (Absorbance) ด้วยเครื่องสเปกโตรไฟโตมิเตอร์ (Spectrophotometer) โดยอาศัยหลักการวัดค่าดีเอ็นเอจะดูดกลืนแสงอุตตราไวโอลেต ได้ดีที่ความยาวคลื่น 260 nm ( $A_{260}$ ) ซึ่งในสภาพสารละลายดีเอ็นเอเกลี่บวคู่ที่ความเข้มข้น 50 µg/ml จะมีค่า  $A_{260}$  เท่ากับ 1 และตรวจสอบคุณภาพดีเอ็นเอได้โดยการหาอัตราส่วนของ  $A_{260}$ :  $A_{280}$  ถ้าได้ค่าระหว่าง 1.65 - 1.85 แสดงว่าได้ดีเอ็นเอเกลี่บวคู่ที่บริสุทธิ์ แต่ถ้าหากได้ค่ามากกว่า 1.85 แสดงว่าในตัวอย่างดีเอ็นเอมีอาร์เอ็นเอปนอยู่ และถ้าได้ค่าที่น้อยกว่า 1.65 แสดงว่ามีโปรตีนหรือฟินอลปนอยู่ในสารละลายดีเอ็นเอตัวอย่าง (Kirby, 1992)

### 4. การทดสอบไพรเมอร์

นำดีเอ็นเอจากข้อ 3 มาทดสอบกับไพรเมอร์ 20 ไพรเมอร์ ISSR1-20 ของ Wolfe and Liston (1998) เพื่อทดสอบไพรเมอร์ที่เหมาะสมในการใช้ศึกษาความหลากหลายทางพันธุกรรมในหอยลาย ในสารละลายส่วนผสมในปฏิกริยาพิชีอาร์ 20 µl ประกอบด้วยสารต่างๆตาม ตารางที่ 2

### 5. การทดสอบความหลากหลายทางพันธุกรรม

5.1 คัดเลือกไพรเมอร์ที่เหมาะสมจำนวน 9 ไพรเมอร์ จากการทดสอบทั้งหมด 20 ไพรเมอร์ เพื่อใช้ในการทดสอบความหลากหลายของ ISSR ไพรเมอร์ที่สภาวะเหมาะสมของปฏิกริยาพิชีอาร์ ในสภาวะมาตรฐานของปฏิกริยาพิชีอาร์ในสารละลายส่วนผสม 20 µl (ตารางที่ 2) ในตัวอย่างของหอยลายทั้ง 5 ประชากร ในประเทศไทยในจังหวัดสมุทรสงคราม สมุทรสาคร สมุทรปราการ ศรีราษฎร์ธานี และ ศรีสะเกษ

ตารางที่ 1 ตัวอย่างของประชากร ชื่ออยู่ประชากร จำนวนตัวอย่าง สถานที่เก็บตัวอย่าง เดือนที่เก็บ  
หอยลายที่ใช้ในการศึกษา

สถานที่เก็บ	สัญลักษณ์	ตำแหน่งที่เก็บ (Lat.-Long.)		จำนวนที่ เก็บ	วันที่เก็บ (เดือน)
		ละติจูด(Lat.) (N)	ลองติจูด(Long.) (E)		
สมุทรสงคราม	SG	13° 07' 861"	100° 05' 276"	35	เมษายน
		13° 08' 106"	100° 05' 279"	35	
		13° 04' 741"	100° 06' 693"	30	
สมุทรสาคร	SS	13° 22' 340"	100° 16' 701"	35	เมษายน
		13° 17' 501"	100° 17' 133"	35	
		13° 25' 839"	100° 18' 772"	30	
สมุทรปราการ	SP	13° 26' 144"	100° 35' 015"	35	มกราคม
		13° 26' 907"	100° 39' 168"	35	
		13° 28' 027"	100° 39' 161"	30	
สุราษฎร์ธานี	SR	09° 41' 413"	099° 30' 029"	35	มิถุนายน
		09° 37' 644"	099° 32' 067"	35	
		09° 35' 479"	099° 27' 102"	30	
สตูล	ST	06° 37' 400"	099° 50' 203"	35	มิถุนายน
		06° 32' 820"	099° 50' 203"	35	
		06° 33' 016"	099° 51' 205"	30	

ตารางที่ 2 ส่วนประกอบของปฏิกริยาการเพิ่มปริมาณดีเอ็นเอด้วยเทคนิคพีซีอาร์

สาร	ปริมาตร ( $\mu\text{l}$ )
ดีเอ็นเอต้นแบบ	2.0
10X PCR Buffer (1X)	2.0
50 mM MgCl <sub>2</sub> (1.5 mM)	1.2
1mM dNTPs (100 $\mu\text{M}$ )	2.0
5 U <i>Taq</i> DNA polymerase	0.2
2.5 $\mu\text{mol}$ Primer	1.0
น้ำกลั่น (de-ionized)	11.6
รวม	20.0

## 6. การวิเคราะห์ข้อมูล

บันทึกข้อมูลยังไงเป็นอย่างไรในแต่ละตำแหน่งที่สามารถอ่านผลได้ชัดเจนทุกประชากร เป็น 1 หรือ 0 จากนั้นนำมาคำนวณและวิเคราะห์ค่าความหลากหลายทางพันธุกรรมภายในประชากรตามวิธีการของ Lynch and Milligan (1994) และคำนวณค่าเมอร์กานด์ให้ประชากรอยู่ในสมคูล莎ร์ ดี-ไวน์เบิร์ก ( $F_{IS} = 0$ ) และเมื่อมีการเบี่ยงเบนจากสมคูล莎ร์ ( $F_{IS} = 0.05, 0.10, 0.25$ ) ใช้โปรแกรม AFLP-SURV (Vekemans *et al.*, 2002) ดังนี้

### 6.1 วิเคราะห์ความหลากหลายทางพันธุกรรม

#### 6.1.1 ค่าเปลอร์เซ็นต์โพลีมอร์ฟิกโลไซด์ (Proportion of polymorphic loci , PLP)

$$P = \frac{\text{จำนวน โลกัสที่มีความถี่ของอัลลิลหนึ่ง } \leq 0.95 \times 100}{\text{จำนวน โลกัสทั้งหมด}}$$

#### 6.1.2 ค่าสังเกตเหตุโอล่าไซดิชีหรือ gene diversity ( $H_j$ ) ของประชากร

$$\hat{H}_j = \frac{1}{L} \sum_{i=1}^L \hat{H}_j(i)$$

i	คือ	ความถี่ของอัลลิล i ที่ตำแหน่ง k
N	คือ	จำนวนอัลลิลที่ตำแหน่ง k
L	คือ	จำนวนตำแหน่งที่ทำการศึกษา
$\hat{H}_j$	คือ	ค่าเฉลี่ยเขตเทอร่าไซโภติกที่ต่อตำแหน่ง

## 6.2 ค่าสัมประสิทธิ์เอฟ ( $F_{ST}$ ) และ Pairwise $F_{ST}$

วิเคราะห์โครงสร้างประชากรย่อยของประชากรหอยลาย โดยใช้โปรแกรม AFLP-SURV (Vekemans *et al.*, 2002) ตามวิธีการของ Lynch and Milligan (1994) และประเมินค่าความแตกต่างจากศูนย์บ่อกำนัล 95% ความเชื่อมั่น 95%

## 6.3 ค่าระยะห่างทางพันธุกรรม Nei's (Genetic distance)

นำค่าความถี่อัลลิลของประชากรหอยลายมาทำข้ามูล 10,000 ครั้ง ข้อมูลที่ได้นำมาคำนวณค่าระยะห่างทางพันธุกรรม โดยวิธี Nei (1978) โดยใช้โปรแกรม AFLP-SURV (Vekemans *et al.*, 2002) ค่าระยะห่างทางพันธุกรรม โดยวิธีของ (Lynch and Milligan, 1994)

### คำนวณจากสูตร

$$\hat{D}_{jk} = -\ln\left(\frac{\hat{J}_{jk}}{\sqrt{\hat{J}_j \hat{J}_k}}\right) - \frac{Var(\hat{H}'_{jk})}{2\hat{J}_{jk}^2} + \frac{Var(\hat{H}_j)}{4\hat{J}_j^2} + \frac{Var(\hat{H}_k)}{4\hat{J}_k^2}$$

## 6.4 สร้างแผนผัง UPGMA

นำค่าระยะห่างทางพันธุกรรม (Genetic distance) สร้างแผนผังความสัมพันธ์โดยวิธี UPGMA ด้วยโปรแกรม TFPGA version 1.3 (Miller, 1997)

### 6.5 วิเคราะห์ความสัมพันธ์ Principal coordinated Analysis

นำค่าระยะห่างทางพันธุกรรมจากข้อมูลไม่ปรับ Null alleles มาจัดรูปแบบ  
ความสัมพันธ์ทางพันธุกรรมระหว่างประชากรด้วย Principal coordinate Analysis โดยใช้โปรแกรม  
FAMD (Fingerprint Analysis with Missing Data 1.21) (Schluter and Harris, 2006)

### 6.6 Assignment test (Cluster analysis )

ทดสอบการจัดกลุ่มประชากร โดยนำข้อมูลจีโนไทพ์ทั้งหมดทุกประชากรมารวมกัน  
แล้วแบ่งกลุ่มตามจีโนไทพ์ที่แท้จริงของประชากร โดยโปรแกรม Structure version 2.2 (Pritchard  
*et al.*, 2007)

### 6.7 การทดสอบ Mantel's Test

นำค่าระยะห่างทางพันธุกรรมที่คำนวณโดยวิธี Nei's distance (1978) มาทดสอบ  
ทดสอบความสัมพันธ์ระยะห่างทางพันธุกรรมและระยะห่างทางภูมิศาสตร์ที่วัดความยาวตามพื้นที่ทะเล โดย  
วิธี Mantel's Test (Mantel, 1967) ด้วยโปรแกรม TFGPA version 1.3 (Miller, 1997)

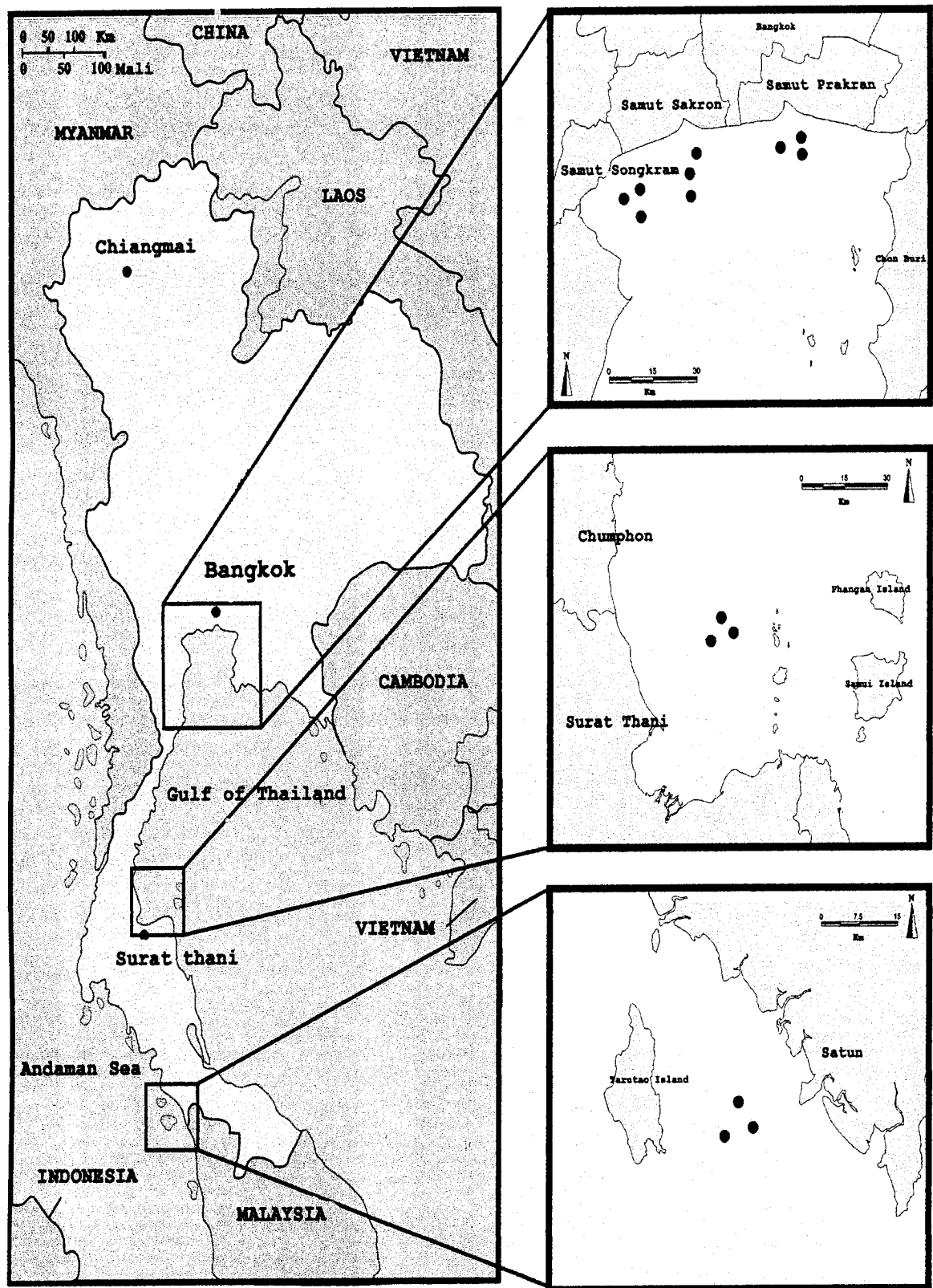
### 6.8 AMOVA (Analysis of molecular variance)

วิเคราะห์ความแปรปรวนของประชากรย่อยตามวิธีการของ Excoffier *et al.* (1992)  
ด้วยโปรแกรม FAMD (Schluter and Harris, 2006) โดย Variance component จะนำมาคำนวณค่า  
 $\Phi$  - statistics ซึ่งเป็น analogues ของ theta (Excoffier *et al.*, 1992) สำหรับการศึกษา AMOVA ค่า  
 $\Phi$  - statistics ที่ใช้ในการคำนวณ คือ

$$\Phi_{ST} = \text{อัตราส่วนความแปรปรวนระหว่างประชากรทั้งหมด (Waterholes)}$$

$$\Phi_{SC} = \text{อัตราส่วนความแปรปรวนระหว่างประชากรภายในกลุ่ม (Catchments)}$$

$$\Phi_{CT} = \text{อัตราส่วนความแปรปรวนระหว่างกลุ่มภายในตัวอย่างทั้งหมด}$$



ภาพที่ 1 แผนที่แสดงที่จุดเก็บตัวอย่างของสายพันธุ์ 5 ประชากร

## 7. สถานที่ทำการทดลอง

ห้องปฏิบัติการศูนย์เทคโนโลยีชีวภาพเกษตร มหาวิทยาลัยเกษตรศาสตร์ วิทยาเขต  
กำแพงแสน

## 8. ระยะเวลาทำการทดลอง

ระยะเวลาเริ่มทำการทดลองเดือนกรกฎาคม 2551 ถึงสุดการทดลองในเดือนเมษายน 2552

## ผลการทดลอง

### 1. การเพิ่มปริมาณของไออีสอสอาร์ในหอยถ่าย

ไออีสอสอาร์ ไพรเมอร์ทั้ง 9 ได้แก่ ISSR3, ISSR4, ISSR12, ISSR10, ISSR11, ISSR18, ISSR20, ISSR13, ISSR9 สามารถเพิ่มปริมาณดีเอ็นเอของหอยถ่ายได้และพบสภาวะหลากรูปแบบ ในทุกประชากร โดยที่ตำแหน่ง ISSR3 พบ 40 อัลลิล (ขนาด 200 - 1600) ตำแหน่ง ISSR4 พบ 29 อัลลิล (ขนาด 220-1400) ตำแหน่ง ISSR12 พบ 27 อัลลิล (ขนาด 280 - 1050) ตำแหน่ง ISSR10 พบ 37 อัลลิล (ขนาด 280-2200) ตำแหน่ง ISSR11 พบ 30 อัลลิล (ขนาด 260-1400) ตำแหน่ง ISSR18 พบ 42 อัลลิล (ขนาด 220-1900) ตำแหน่ง ISSR20 พบ 43 อัลลิล (ขนาด 260-1800) ตำแหน่ง ISSR13 พบ 24 อัลลิล (ขนาด 280 - 840) และตำแหน่ง ISSR9 พบ 28 อัลลิล (ขนาด 180-940) (ตารางที่ 3)

ตารางที่ 3 ไพรเมอร์ 9 ชนิด (Wolfe and Liston, 1998) ที่ใช้ปฏิกิริยา ISSR-PCR

ไพรเมอร์	ลำดับเบสของไพรเมอร์ 5'-3'	Annealing (°C)	จำนวนแอบดีเอ็นเอ (อัลลิล)	ขนาดແຕບดีเอ็นเอ
ISSR3	VBV(CA) <sub>8</sub>	54	40	200-1600
ISSR4	VDV(GT) <sub>8</sub>	51	29	220-1400
ISSR12	(TC) <sub>8</sub> C	52	27	280-1050
ISSR10	(TG) <sub>8</sub> GT	48	37	280-2200
ISSR11	(AG) <sub>8</sub> TG	54	30	260-1400
ISSR18	(ACTG) <sub>4</sub>	52	42	220-1900
ISSR20	(CAC) <sub>6</sub>	57	43	260-1800
ISSR13	(TG) <sub>8</sub> G	55	24	280-840
ISSR9	(AC) <sub>8</sub> G	55	28	180-940

หมายเหตุ \*B=C, G, T; Y=C, T; R=A, G; H=A, C, T; V=A, C, G; D=A, G, T

## 2. ความหลากหลายทางพันธุกรรมภายในประชากร

ค่าเฉลี่ยของค่าคาดหวังเขตเทอโรไซโกซิตี ( $H_s$ ) เมื่อกำหนดค่า  $F_{IS} = 0, 0.05, 0.10, 0.25$  ที่กำหนดให้เป็นเบนจากสมดุลฮาร์ดี-ไวน์เบิร์กในระดับต่างๆ ได้แสดงไว้ในตารางที่ 4 พบว่าค่าคาดหวังเขตเทอโรไซโกซิตี  $H_s$  ของประชากรในจังหวัดสมุทรสงคราม สมุทรสาคร สมุทรปราการ สุราษฎร์ธานี และ สตูล ที่กำหนดให้ค่า  $F_{IS} = 0$  มีค่าเท่ากับ 0.14128, 0.12863, 0.12237, 0.05323 และ 0.04750 ตามลำดับ และค่าคาดหวังเขตเทอโรไซโกซิตี ( $H_s$ ) ที่  $F_{IS} = 0.05, 0.10, 0.25$  อยู่ในช่วง 0.04676-0.14303, 0.04608-0.14511 และ 0.04520-0.15200 (ตารางที่ 4)

เมอร์เซ่นต์โพลิเมอร์ฟิกโลไซซ์ (Polymorphic loci) ที่กำหนดให้อยู่ในสมดุล ฮาร์ดี-ไวน์-เบิร์ก ( $F_{IS} = 0$ ) ของประชากรในจังหวัดสมุทรสงคราม สมุทรสาคร สมุทรปราการ สุราษฎร์ธานี และ สตูล ซึ่งมีค่าเท่ากับ 47.0%, 45.7%, 37.3%, 17.7%, 13.3% ตามลำดับ และโพลิเมอร์ฟิกโลไซซ์ เมื่อ  $F_{IS} = 0.05, 0.10, 0.25$  มีค่าอยู่ระหว่าง 13.3-47.0%, 13.3-47.0%, 13.0-51.3% ตามลำดับ ดัง ตารางที่ 4

## 3. ความแตกต่างระหว่างประชากร

เมื่อทดสอบความแตกต่างระหว่างประชากรของหอยลายทั้ง 5 ประชากร ด้วยวิธี Nei's (1973) ที่ทุกตำแหน่ง พบร่วมประชากรหอยลาย ที่  $F_{IS} = 0$  ส่วนใหญ่มีความแตกต่างระหว่างประชากร ( $F_{ST}$ ) เท่ากับ 0.314 ค่าความแตกต่างระหว่างประชากรที่  $F_{IS} = 0.05, 0.10, 0.25$  มีค่า ( $F_{ST}$ ) เท่ากับ 0.322, 0.327 และ 0.340 ตามลำดับ ค่าเฉลี่ยของค่าคาดหวังเขตเทอโรไซโกซิตีระหว่างประชากรในส่วนที่เพิ่มในค่าสังเกตภายในประชากร ( $H_b$ ) ที่กำหนดให้อยู่ในสมดุลฮาร์ดี-ไวน์เบิร์ก ( $F_{IS} = 0$ ) มีค่าเท่ากับ 0.046 และค่าที่กำหนดให้เป็นเบนจากสมดุลฮาร์ดี-ไวน์เบิร์ก ( $F_{IS} = 0.05, 0.10, 0.25$ ) มีค่าเท่ากับ 0.048, 0.050 และ 0.054 ตามลำดับ ค่า ค่าเฉลี่ยของค่าคาดหวังเขตเทอโรไซโกซิตีภายในประชากร ( $H_w$ ) ที่กำหนดให้อยู่ในสมดุลฮาร์ดี-ไวน์เบิร์ก ( $F_{IS} = 0$ ) มีค่าเท่ากับ 0.145 ส่วน ค่าที่กำหนดให้เป็นเบนจากสมดุลฮาร์ดี-ไวน์เบิร์ก ( $F_{IS} = 0.05, 0.10, 0.25$ ) มีค่าเท่ากับ 0.147, 0.149 และ 0.157 ตามลำดับ ดังตารางที่ 4

ตารางที่ 4 ค่าความหลากหลายทางพันธุกรรมของหอยดาย (*Paphia undulata*) ในแหล่งป่าธรรมชาติ 5 แห่งชั้น [สมุทรสงคราม (SG) สมุทรสาคร (SS) สมุทรปราการ (SP) สมุยร์ชานี (SR) และ สุจุต (ST)] คำนวณจาก Lynch and Miligan (1994)

Locality	Deficit of heterozygotes	$H_j$	$F_{sr}$	PLP	$H_t$	$H_w$	$H_b$
SG	Absent ( $F_{is}=0$ )	$0.14128 \pm 0.00835$	$0.314 \pm 0.183468$	47.0			
SS		$0.12863 \pm 0.00773$		45.7			
SP		$0.12237 \pm 0.00940$		37.3			
SR		$0.05323 \pm 0.00652$		17.7			
ST		$0.04750 \pm 0.00657$		13.3			
				0.1451		0.0986	0.0465
SG	Low ( $F_{is}=0.05$ )	$0.14303 \pm 0.00846$	$0.322 \pm 0.182938$	47.0			
SS		$0.12981 \pm 0.00784$		45.7			
SP		$0.12255 \pm 0.00949$		37.3			
SR		$0.05214 \pm 0.00643$		17.7			
ST		$0.04676 \pm 0.00655$		13.3			
				0.1471		0.0989	0.0483

#### ตารางที่ 4 (ต่อ)

Locality	Deficit of heterozygotes	$H_j$	$F_{ST}$	PLP	$H_t$	$H_w$	$H_b$
SG	Moderate ( $F_{IS}=0.10$ )	0.14511 ± 0.00849	0.327 ± 0.182901	47.0			
SS		0.13177 ± 0.00792			45.7		
SP		0.12390 ± 0.00954			37.3		
SR		0.05142 ± 0.00636			17.7		
ST		0.04608 ± 0.00653			13.3		
			0.1496	0.0997			0.0500
SG	High ( $F_{IS}=0.25$ )	0.15200 ± 0.00866	0.340 ± 0.181693	51.3			
SS		0.13832 ± 0.00819			48.3		
SP		0.12736 ± 0.00972			38.3		
SR		0.05023 ± 0.00624			17.0		
ST		0.04520 ± 0.00652			13.0		
			0.1572	0.1026			0.0546

หมายเหตุ:

$H_j$ = ค่าคาดหวังสัมภพโดยใช้ กอชิล์

$F_{ST}$ = Wright's fixation index

PLP= เบอร์ต์ซึ่งตัดเพลิงอัตราพก โกล์ "ไซม"

$H_t$ = ผลรวมค่าคาดหวังสัมภพโดยใช้ กอชิล์

$H_w$ = ค่าผลต์ของค่าคาดหวังสัมภพโดยใช้ กอชิล์ภายในประชากร

$H_b$ = ค่าเฉลี่ยของค่าคาดหวังสัมภพโดยใช้ กอชิล์ระหว่างประชากร

#### 4. ค่า pairwise $F_{ST}$ ระหว่างคู่ประชากร

ค่า pairwise  $F_{ST}$  ระหว่างคู่ประชากรในจังหวัดสมุทรสงครามกับสมุทรสาครมีค่าเท่ากับ 0.1786 คู่ประชากรในจังหวัดสมุทรสงครามกับสมุทรปราการมีค่าเท่ากับ 0.1989 คู่ประชากรในจังหวัดสมุทรสงครามกับสุราษฎร์ธานี มีค่าเท่ากับ 0.2989 คู่ประชากรในจังหวัดสมุทรสงครามกับสตูล มีค่าเท่ากับ 0.3475 คู่ประชากรในจังหวัดสมุทรสาครกับสมุทรปราการ มีค่าเท่ากับ 0.2023 คู่ประชากรในจังหวัดสมุทรสาครกับสุราษฎร์ธานี มีค่าเท่ากับ 0.3464 คู่ประชากรในจังหวัดสมุทรสาครกับสตูล มีค่าเท่ากับ 0.3717 คู่ประชากรในจังหวัดสมุทรปราการกับสุราษฎร์ธานี มีค่าเท่ากับ 0.3377 คู่ประชากรในจังหวัดสมุทรปราการกับสตูล มีค่าเท่ากับ 0.3603 และ คู่ประชากรในจังหวัดสุราษฎร์ธานีกับสตูล มีค่าเท่ากับ 0.4846 จากการศึกษาพบว่ามีความแตกต่างทางพันธุกรรมของคู่ pairwise  $F_{ST}$  ระหว่างคู่ Pairwise  $F_{ST}$  จำนวน 7 คู่ จาก 10 คู่ ในคู่ประชากรในจังหวัดสมุทรสงครามกับสุราษฎร์ธานี สมุทรสงครามกับสตูล สมุทรสาครกับสุราษฎร์ธานี สมุทรสาครกับสตูล สมุทรปราการกับสุราษฎร์ธานี สมุทรปราการกับสตูล และสุราษฎร์ธานีกับสตูล (ตารางที่ 5)

ตารางที่ 5 Pairwise  $F_{ST}$  ของ豪yleay 5 ประชากรในประเทศไทย [สมุทรสงคราม (SG) สมุทรสาคร (SS) สมุทรปราการ (SP) สุราษฎร์ธานี (SR) และ สตูล (ST)] ที่กำหนดให้ค่า  $F_{IS} = 0$  (ด้านบนเส้นเทยง) ระยะห่างทางพันธุกรรม ของ豪yleay 5 ประชากรในประเทศไทยที่กำหนดให้ค่า  $F_{IS} = 0$  (ด้านล่างเส้นเทยง)

ประชากร	SG	SS	SP	SR	ST
SG	****	0.1786	0.1989	0.2989*	0.3475*
SS	0.0334	****	0.2023	0.3464*	0.3717*
SP	0.0389	0.0368	****	0.3377*	0.3603*
SR	0.0499	0.0574	0.0544	****	0.4846*
ST	0.0627	0.0644	0.0597	0.0630	****

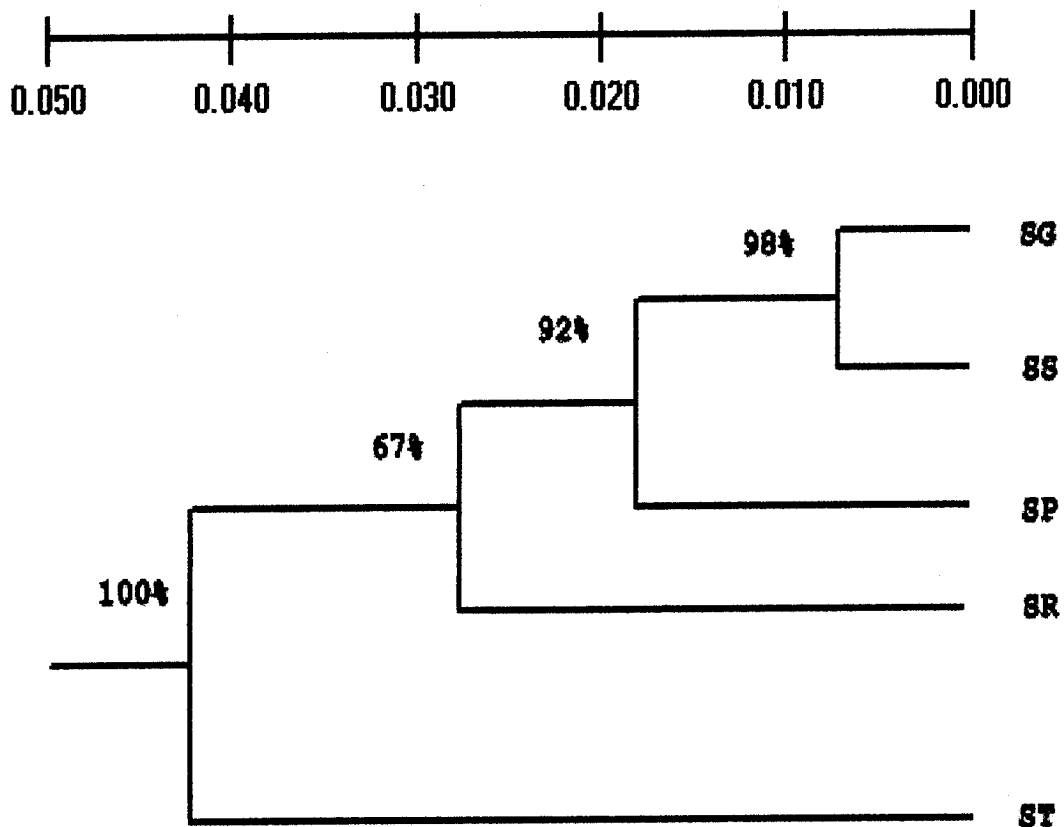
หมายเหตุ Significant genetic differentiation test ( $P < 0.05$ ) (Bonferroni correction)

## 5. ค่าระยะห่างทางพันธุกรรม

ค่าระยะห่างทางพันธุกรรมของประชากรหอยลายทั้ง 5 ประชากร คำนวณโดยวิธีของ Lynch and Miligan (1994) พบว่าประชากรหอยลายจากแหล่งปะมงหอยลายมีค่าระยะห่างทางพันธุกรรมอยู่ระหว่าง  $0.0334 - 0.0644$  ดังตารางที่ 5

## 6. แผนผังความสัมพันธ์ทางพันธุกรรม

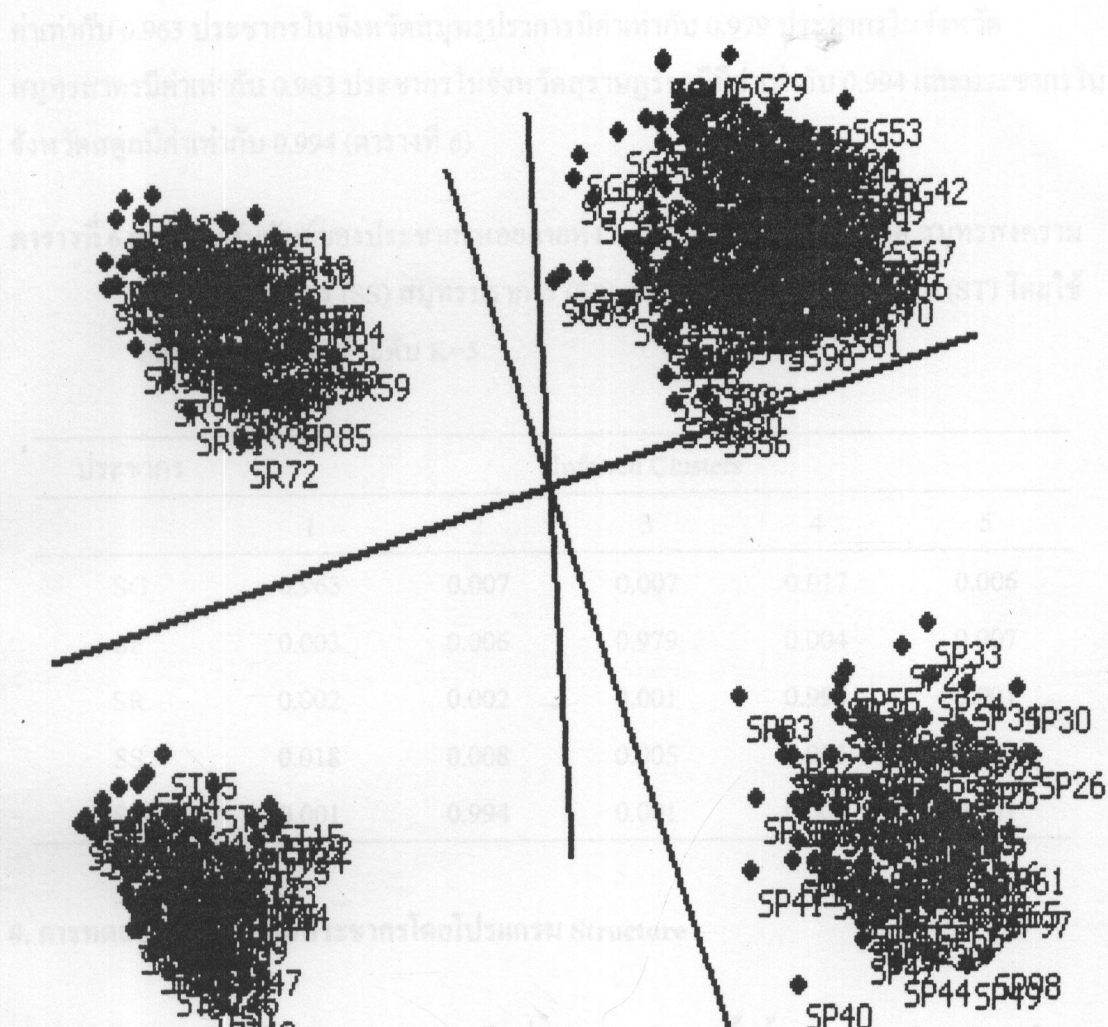
แผนผังความสัมพันธ์ทางพันธุกรรมของประชากรหอยลายจากทุกประชากร จัดโดยใช้ค่าระยะห่างทางพันธุกรรมที่คำนวณด้วยวิธี Lynch and Miligan (1994) จากแผนผังความสัมพันธ์ทางพันธุกรรมของหอยลายในแหล่งปะมงหอยลายในประเทศไทยทั้ง 5 ประชากร พบว่าแผนผังความสัมพันธ์ทางพันธุกรรมแบ่งออกเป็น 4 กลุ่ม โดยกลุ่มแรกเป็นประชากรหอยลายในจังหวัดสมุทรสงคราม, สมุทรสาคร มีค่าการทำซ้ำเท่ากับ 98% กลุ่มที่สองเป็นประชากรในจังหวัดสมุทรปราการ มีค่าการทำซ้ำเท่ากับ 92% กลุ่มที่สามเป็นประชากรหอยลายในจังหวัด สุราษฎร์ธานี มีค่าการทำซ้ำ 67% และ กลุ่มที่สี่เป็นประชากรในจังหวัด สตูล มีค่าการทำซ้ำเท่ากับ 100% โดยที่กลุ่มแรกยังแบ่งเป็นประชากรย่อย 2 ประชากร คือ สมุทรสงครามกับสมุทรสาคร มีค่าการทำซ้ำเท่ากับ 98% แสดงไว้ดังภาพที่ 2



ภาพที่ 2 แผนผังความสัมพันธ์ของระบบห่างทางพื้นฐานของประชากรหอยลายในแหล่งทำการประมงหอยลายในประเทศไทยทั้ง 5 ประชากรในบริเวณจังหวัด สมุทรสงคราม (SG) สมุทรสาคร (SS) สมุทรปราการ (SP) สุราษฎร์ธานี (SR) และสตูล (ST) โดยใช้โปรแกรม TFPGA (เปอร์เซ็นต์ที่แสดงบนจุดแยกคือค่าร้อยละของการทำข้ากสูม 10,000 ครั้ง)

### 7. แผนผังความสัมพันธ์ Principal coordinate

จากแผนผังความสัมพันธ์ Principal coordinate แสดงว่าประชากรหอยลายในประเทศไทยแบ่งออกได้เป็น 4 ประชากรย่อย คือกลุ่มที่ 1 ประชากรในจังหวัดสมุทรสงคราม, สมุทรสาคร กลุ่มที่ 2 ประชากรในจังหวัด สมุทรปราการ กลุ่มที่ 3 ประชากรในจังหวัด สุราษฎร์ธานีและ กลุ่มที่ 4 ประชากรในจังหวัดสตูล ซึ่งได้จากการวิเคราะห์โดยใช้โปรแกรม FAMD (ดังภาพที่ 3)



**ภาพที่ 3** Principal coordinate Analysis ของประชากรหอยลายในแหล่งทิ้งทรายในประเทศไทย 5 กลุ่มเชื้อชาติ ได้แก่ ประชากรหอยลาย [Samut Songkhram (SG) Samut Sakhon (SS) Surat Thani (SP) Surat Thani (SR) และสงขลา (ST)]

#### 8. การวิเคราะห์ Assignment test

ผลการวิเคราะห์ความแตกต่างของประชากรหอยลาย 5 ประชากร พนว่าประชากรหอยลาย มีความแตกต่างกันมาก โดยแบ่งหอยลายออกเป็น 5 ประชากร พนว่าประชากรจากทุกประชากรที่ นำมาศึกษามีความแตกต่างทางพันธุกรรมทุกประชากร โดยที่ประชากรในจังหวัดสมุทรสงค์รานมี

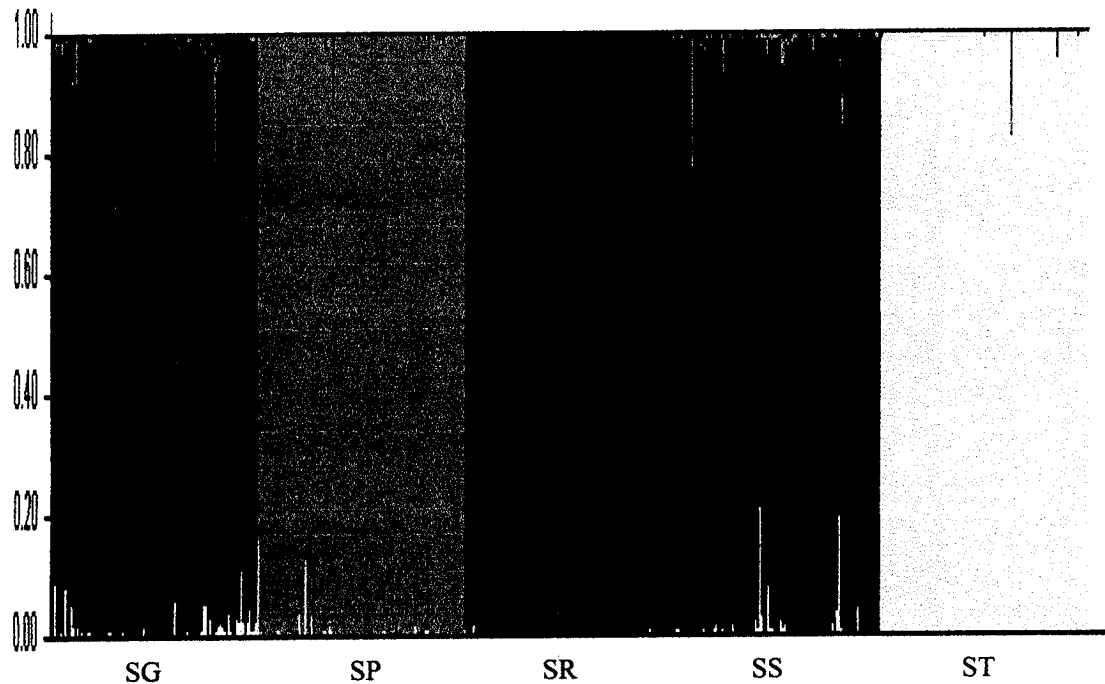
ค่าเท่ากับ 0.963 ประชากรในจังหวัดสมุทรปราการมีค่าเท่ากับ 0.979 ประชากรในจังหวัดสมุทรสาครมีค่าเท่ากับ 0.963 ประชากรในจังหวัสดุรายภูร์ธานีมีค่าเท่ากับ 0.994 และประชากรในจังหวัสดุลนีค่าเท่ากับ 0.994 (ตารางที่ 6)

**ตารางที่ 6** ผลความสัมพันธ์ของประชากรหอยลายทั้ง 5 ประชากร บริเวณจังหวัด สมุทรสงคราม (SG) สมุทรสาคร (SS) สมุทรปราการ (SP) สุราษฎร์ธานี (SR) และสตูล (ST) โดยใช้ Inferred Clusters ที่ระดับ K=5

ประชากร	Inferred Clusters				
	1	2	3	4	5
SG	0.963	0.007	0.007	0.017	0.006
SP	0.003	0.006	0.979	0.004	0.007
SR	0.002	0.002	0.001	0.994	0.001
SS	0.018	0.008	0.005	0.006	0.963
ST	0.001	0.994	0.001	0.003	0.001

## 9. การทดสอบการจัดกลุ่มประชากรโดยโปรแกรม Structure

จากการจัดกลุ่มประชากรหอยลายที่ใช้ในการศึกษารังนี้ 5 ประชากรในบริเวณ ในจังหวัดสมุทรสงคราม สมุทรสาคร สมุทรปราการ สุราษฎร์ธานี และ สตูล ให้เส้นกราฟสูงที่สุดที่  $k = 5$  (ภาพที่ 4) สามารถนำมามาใช้ในการจัดกลุ่มประชากรได้ออกเป็น 5 กลุ่มประชากรคือ ประชากรในจังหวัดสมุทรสงคราม สมุทรสาคร สมุทรปราการ สุราษฎร์ธานี และ สตูล



ภาพที่ 4 การวิเคราะห์ความแตกต่างระหว่างประชากรโดยการวิเคราะห์ด้วยโปรแกรม Structure โดยใช้  $K=5$

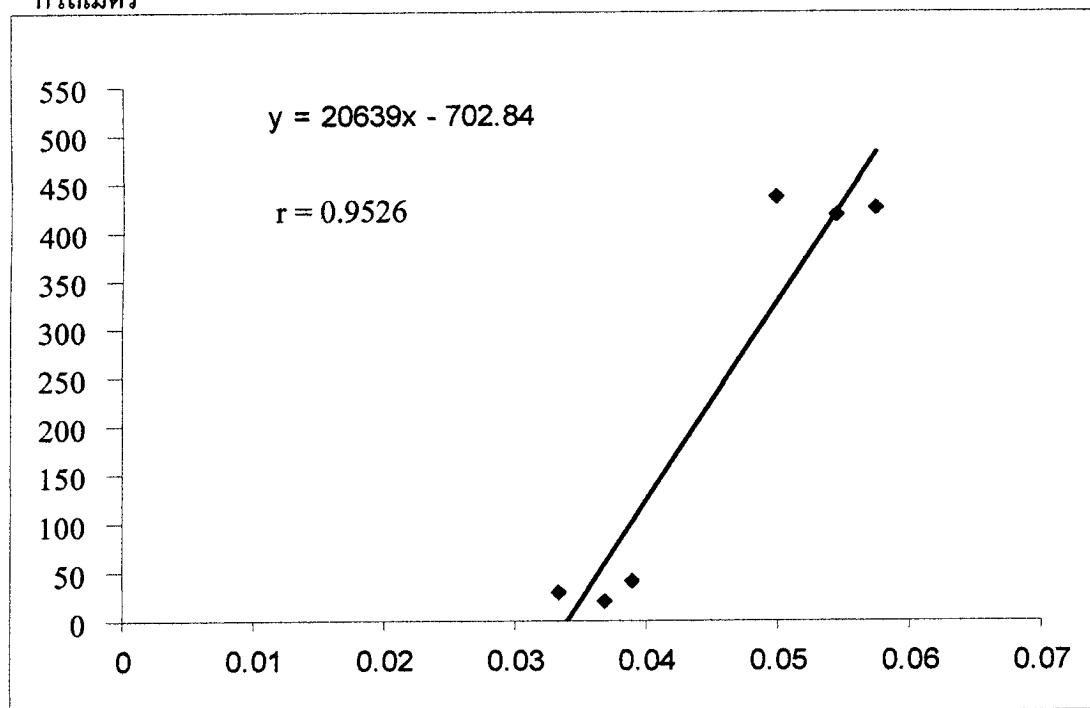
#### 10. การทดสอบ Mantel's test

จากการทดสอบ Mantel's test พบรความสัมพันธ์ระหว่างระยะห่างทางพันธุกรรมกับระยะทางระหว่างประชากรในกลุ่มตัวอย่าง จำนวน 4 ประชากร โดยไม่รวมประชากรในจังหวัดสตูลเนื่องจากไม่ได้อยู่ในแหล่งเดียวกัน (ค่าสหสัมพันธ์,  $r$  เท่ากับ  $r = 0.9526$ ,  $P = 0.2490$  (ภาพที่ 5) แสดงว่าพบรความสัมพันธ์ระหว่างระยะห่างทางพันธุกรรมกับระยะทางระหว่างประชากรแบบ Stepping stone model โดยระยะทางระหว่างประชากรแสดงในตารางที่ 7

ตารางที่ 7 ค่าระยะห่างทางพื้นธุกรรม Nei's (1978) (ด้านล่างของเส้นทแยงมุม) และ ระยะทางระหว่างประชากร (กิโลเมตร) จำนวน 4 ประชากร ในจังหวัด สมุทรสงคราม (SG) สมุทรสาคร (SS) สมุทรปราการ (SP) และสุราษฎร์ธานี (SR) (ด้านบนของเส้นทแยงมุม)

ประชากร	SP	SS	SG	SR
SP	-	30	41	437
SS	0.0361	-	20	426
SG	0.0403	0.0389	-	419
SR	0.0499	0.0583	0.0544	-

กิโลเมตร



ภาพที่ 5 ความสัมพันธ์ระหว่างระยะห่างทางพื้นธุกรรมและระยะทางระหว่างประชากรของ 豪布ลายในบริเวณแหล่งทำการประมงอ่าวไทย บริเวณจังหวัดสมุทรสงคราม สมุทรสาคร สมุทรปราการ และในจังหวัด สุราษฎร์ธานี

## 11. AMOVA (Analysis of molecular variance)

จากการทดสอบค่าความแปรปรวนของประชากรหอยลายในประเทศไทยโดยวิธี AMOVA เมื่อร่วม 5 แหล่งปะมงหอยลายพบว่าเปอร์เซ็นต์ความแปรปรวน (1) ระหว่างประชากร ในอันดับรวมและรวมตัวอย่างประชากรในอ่าวไทย มีค่าความแปรปรวนระหว่างประชากรเท่ากับ 53.29 เปอร์เซ็นต์ ความแปรปรวนระหว่างภายในประชากรมีค่าเท่ากับ 6.34 และ เปอร์เซ็นต์ความแปรปรวนภายในประชากรมีค่าเท่ากับ 40.37 (2) ระหว่างประชากรสุราษฎร์ธานีและ รวมตัวอย่างประชากรในจังหวัดสมุทรปราการ สมุทรสาคร สมุทรสงคราม มีค่าความแปรปรวนระหว่างประชากรเท่ากับ 68.98 เปอร์เซ็นต์ความแปรปรวนระหว่างภายในประชากรมีค่าเท่ากับ 4.56 และ เปอร์เซ็นต์ความแปรปรวนภายในประชากรมีค่าเท่ากับ 26.46 (ตารางที่ 8) จากการทดสอบทางสถิติ พบนัยสำคัญทางสถิติ ( $P > 0.001$ ) ระหว่างประชากรและภายในประชากร

ตารางที่ 8 แสดงค่าความแปรปรวนโดยวิธีวิเคราะห์ AMOVA ระหว่างประชากรและภายในประชากรของหอยลายในประเทศไทยจาก 5 ประชากร (1) ระหว่างอันดับรวมและรวมตัวอย่างประชากรในอ่าวไทย (2) ระหว่างประชากรสุราษฎร์ธานีและ รวมตัวอย่างประชากรในจังหวัดสมุทรปราการ สมุทรสาคร สมุทรสงคราม

	แหล่งความแปรปรวน	df	Sum of squares	Variance components	เปอร์เซ็นต์ความแปรปรวน	$\Phi_{ST}$	P-value
(1)	รวมระหว่าง ระหว่างภายใน ประชากร	1	22.52	0.246	53.29	-	
	ภายในประชากร	3	74.42	0.034	6.34	-	
	รวม	495	82.73	0.167	40.37	-	
		499	179.68	0.447		0.596	0.000
(2)	รวมระหว่าง ระหว่างภายใน ประชากร	1	83.12	0.414	68.98	-	
	ภายในประชากร	2	63.12	0.044	4.56	-	
	รวม	396	74.04	0.148	26.46	-	
		399	220.28	0.607		0.735	0.000

## วิจารณ์ผลการทดลอง

### ความหลากหลายทางพันธุกรรมภายในประชากรของหอยลาย

จากการศึกษาของประชากรหอยลายด้วยเทคนิคไอโซเอสเอ索ร์ ทั้ง 9 ตำแหน่ง ได้แก่ ISSR3, ISSR4, ISSR12, ISSR10, ISSR11, ISSR18, ISSR20, ISSR13 และ ISSR9 พบว่า ไพรเมอร์ที่นำมาใช้พบรูปแบบ อัลลิลทั้งหมด 300 อัลลิล โดยที่พบตำแหน่ง ISSR18 ให้รูปแบบของอัลลิลทั้งหมด 40, 29, 27, 37, 30, 49, 42, 43, 24, 28, อัลลิลตามลำดับ ค่าเฉลี่ยเท่ากับ 33.33 อัลลิล ความหลากหลายทางพันธุกรรมของหอยลายทั้ง 5 ประชากร ที่กำหนดให้อยู่ในสมดุลฮาร์ดี-ไวน์เบริก ( $F_{IS} = 0$ ) แสดงได้จากค่าโพลิกเมอร์ฟิคโลไซด์ที่อยู่ระหว่าง 13.3 – 47.0% ค่าคาดหวังเซตเทอร์ไซโภซิตี้หรือ gene diversity ( $H_j$ ) อยู่ระหว่าง 0.04750-0.14128 (ตารางที่ 4) มีค่าไม่แตกต่างจากการกำหนดให้เป็นเบนจากสมดุลฮาร์ดี-ไวน์เบริก ( $F_{IS} = 0.05, 0.10, 0.25$ ) (ตารางที่ 4)

การศึกษาพบว่าค่าความหลากหลายทางพันธุกรรมบนปกตางในประชากรหอยลายในจังหวัด สมุทรสงคราม, สมุทรสาคร, สมุทรปราการ และความหลากหลายทางพันธุกรรมที่ต่างในจังหวัดสุราษฎร์ธานี จังหวัดสตูล โดยทั่วไปมักคิดว่าสิ่งมีชีวิตทางทะเลนักจะมีระดับความหลากหลายทางพันธุกรรมที่สูง เนื่องจากขนาดของประชากร ความอุดมสมบูรณ์ที่สูงและมีการถ่ายเทียนที่ดี เนื่องจากการแพร่กระจายของตัวเต็มวัย ตัวอ่อน ซึ่งไม่เป็นอุปสรรคในบริเวณทะเล เปิด (Waples, 1998) จากการศึกษาในหลายการศึกษาพบว่าปัจจัยจากกระแสน้ำที่เป็นปัจจัยที่อาจช่วยให้เกิดการถ่ายเทียนได้ในระยะทางไกลๆ ซึ่งในสัตว์ไม่มีกระดูกสันหลัง เช่น หอยสองฝา การถ่ายเทียนโดยทั่วไปมักเกิดขึ้นจากการแพร่กระจายของตัวอ่อนเพราะว่าตัวเต็มวัย ไม่สามารถเคลื่อนที่ได้หรือเคลื่อนที่ได้ในระยะทางที่ไม่ไกล ในสายพันธุ์ที่มีระยะตัวอ่อนที่นานก็มีโอกาสที่จะมีการถ่ายเทียนได้ในระยะทางที่ไกล เช่นการศึกษาในหอย *Gemma gemma* (Casu et al., 2005) หรือในหอยแมลงภู่ *Placopecten magellanicus* (Kenchington et al., 2006) หรือในหอยนางรม *Pinctada maxima* (Lind et al., 2007) และในหอยเชลล์ *Chlamys farreri* (Zhan et al., 2008)

จากการใช้ประโยชน์ที่มากเกินไปของทรัพยากรหอยลายในประเทศไทยแสดงให้เห็นจากความหลากหลายทางพันธุกรรมที่มีค่าปานกลางจนถึงระดับต่ำและมีความแตกต่างกันระหว่างประชากรในระดับสูงจากการประเมินค่าโดยใช้ไอโซเอสเอ索ร์ พบว่าในประชากรของหอยลายในบริเวณอ่าวไทยตอนบนมีค่าความหลากหลายทางพันธุกรรมที่มีค่าใกล้เคียงกันในประชากรใน

จังหวัด สมุทรสงคราม สมุทรสาคร สมุทรปราการ แต่จะพบว่ามีความหลากหลายทางพันธุกรรมที่ต่างในประชากรหอยลายในบริเวณจังหวัดสุราษฎร์ธานี และในจังหวัดสตูล ซึ่งเหตุผลที่พบความหลากหลายทางพันธุกรรมในระดับปานกลาง ในจังหวัดสมุทรสงคราม สมุทรสาคร สมุทรปราการ อาจเป็นผลจากในพื้นที่บริเวณอ่าวไทยตอนบนมีพื้นที่เขตต้นน้ำรักษาหอยลายในบริเวณจังหวัดสมุทรสาคร ซึ่งมีการประกาศจากกรมประมง เพื่อจุดประสงค์ในการอนุรักษ์ ซึ่งเป็นบริเวณที่ห้ามทำการประมงในบริเวณ ปากคลองเส้าชัง เขตตำบลพันท้ายนรสิงห์ ละ จุดเด่นละติจูด  $13^{\circ} - 29' - 24''$  เหนือ ตัดกับเส้นลองติจูด  $100^{\circ} - 24' - 40''$  ตะวันออก ห้องที่อำเภอเมืองสมุทรสาคร ตัดตรงไปทางทิศใต้เป็นระยะทาง 8 กิโลเมตร ถึงจุดเด่นละติจูด เขตละติจูดที่  $13^{\circ} - 25' - 00''$  เหนือ ตัดกับเส้นลองติจูด  $100^{\circ} - 24' - 40''$  ตะวันออก แล้วตัดตรงไปทางทิศตะวันตกถึงจุดเด่นละติจูด  $13^{\circ} - 23' - 25''$  เหนือ ตัดกับเส้นลองติจูด  $100^{\circ} - 13' - 20''$  ตะวันออกแล้วตัดตรงไปทางทิศเหนือเป็นระยะทาง 8 กิโลเมตร ถึงปากคลองบางกระเจ้า เขตตำบลบางหญ้าแพรก ละ จุดเด่นละติจูด  $13^{\circ} - 27' - 50''$  เหนือ ตัดกับเส้นลองติจูด  $100^{\circ} - 23' - 25''$  ตะวันออก ห้องที่อำเภอเมืองสมุทรสาคร จังหวัดสมุทรสาคร ตามประกาศกระทรวงเกษตรและสหกรณ์ ดังภาพที่ภาคผนวก ๖ (จินตนา, 2543) ทำให้มีโอกาสที่หอยลายในประชากรบริเวณนี้มีโอกาสที่ถ่ายเทียน ได้ดีและยังคงความหลากหลายทางพันธุกรรมของประชากร ซึ่งแสดงให้เห็นถึงความแตกต่างในระหว่างสองพื้นที่ในจังหวัดสุราษฎร์ธานี และในจังหวัดสตูล ซึ่งบริเวณจังหวัดสุราษฎร์ธานีนี้เป็นแหล่งที่ทำการประมงที่สำคัญมากและเป็นแหล่งทำการแหล่งใหญ่ที่สุดและมีการทำประมงกันหนาแน่นมาก (กรมประมง, 2548) ส่วนแหล่งประมงในจังหวัดสตูลเป็นแหล่งทำการประมงที่มีขนาดเล็ก เป็นแหล่งทำการประมงเพียงแหล่งเดียวในทะเบียนอันดับที่ยังมีการทำประมง ซึ่งผลกระทบจากการทำประมงอาจไปมีผลกระทบต่อขนาดประชากรของหอยลาย ซึ่งผลการศึกษาพบว่ามีค่าความหลากหลายทางพันธุกรรมที่ต่ำ ผลกระทบความแตกต่างทางพันธุกรรมอาจเป็นผลมาจากการขาดช่วงทางพันธุกรรมที่เกิดจากการทำประมงที่มากเกินไปในตลอดระยะเวลา 30 ปีที่ผ่านมา โดยที่พุทธิกรรมของการทำประมงหอยลายนี้มีการพูดแหล่งทำการประมงแหล่งใหม่ก็จะทำการประมงบริเวณนั้นจนปริมาณผลผลิตหอยลายบริเวณนั้นหมดหรือจันแล้วไม่คุ้นทุนจึงทำการย้ายไปทำการประมงแหล่งใหม่ ซึ่งการทำการประมงลักษณะนี้อาจมีผลกระทบต่อขนาดของประชากรหอยลายหรือเครื่องมือทำการประมงเป็นตัวคัดเลือกให้อัลลิบองอัลลิลที่สำคัญในประชากรนั้นหายไป ทำให้อาจเกิดผลกระทบขาดช่วงทางพันธุกรรม (Genetic drift) ซึ่งมีผลทำให้ลดความหลากหลายทางพันธุกรรมได้ หรือการเพาะพันธุ์ลูกหอยลายเพื่อปล่อยลงสู่ทะเลเพื่อเพิ่มปริมาณหอยลายอาจไปมีผลกระทบต่อความหลากหลายทางพันธุกรรมได้ ซึ่งอาจส่งผลทำให้ประชากรลูกผสมในรุ่นอัลลิลไปมี fitness ลดลงเมื่อเปรียบเทียบกับประชากรเดิมที่ประชากรนั้นสามารถปรับสภาพให้อยู่ในสภาพพื้นที่นั้นๆ ได้แล้ว Hallerman (2003)

ได้กล่าวไว้ว่าการพัฒนากระดูกของประชากรที่มีความแตกต่างทางพันธุกรรมมากๆ อาจส่งผลให้ประชากรในรุ่นถัดไปมีค่า fitness ลดลง เมื่อเปรียบเทียบกับประชากรเดิมที่มีอยู่ซึ่งปรากฏการณ์นี้เกิดจากการ outbreeding depression เช่นการศึกษาของ Gharrett *et al.* (1999) ที่ตรวจสอบอัตราอุดของปลา pink salmon ลูกผสมระหว่างปลาที่วางไข่ต่างปี พบว่าลูกผสมรุ่น F<sub>2</sub> มีอัตราอุดต่ำกว่ารุ่นพ่อแม่ เช่นเดียวกันกับรุ่น F<sub>1</sub> ซึ่งบ่งชี้ให้เห็นถึงของการเกิด outbreeding depression ซึ่งความหลากหลายของ基因การสืบทอดพันธุ์ของตัวเต็มวัย ความสามารถในการสืบทอดพันธุ์จะขึ้นอยู่กับความสามารถของตัวเต็มวัย ซึ่งพบได้ในสั่งมีชีวิตที่มีการออกลูกมากๆ เพื่อการการขยายตัว เช่นในหอยสองฝาและกุ้ง (Li and Hedgecock, 1998; Ball and Chapman, 2003)

ประชากรของหอยลาย *Paphia undulata* ใน การศึกษาระบบน้ำด้วยเครื่องหมายไอเออสเอสอาร์ พบร่วมกับความสัมพันธ์ของระดับความหลากหลายทางพันธุกรรมที่ต่ำกว่าเมื่อเปรียบเทียบกับการศึกษาในหอย Surf clam *M. veneriformis* ในประเทศไทยซึ่งมีค่าคาดหวังเขตเทอร์โซไซตี้ ( $H_s$ ) อยู่ในช่วง 0.212-0.342 (Hou *et al.*, 2006) แต่จะมีระดับความหลากหลายทางพันธุกรรมที่คล้ายคลึงกันในหอย *G. gemma* ซึ่งค่า  $H_s$  อยู่ในช่วง 0.169-0.184 (Casu *et al.*, 2005) และหอย *Patella ferruginea* ซึ่งมีค่า  $H_s = 0.173-0.233$  (Casu *et al.*, 2006) หรือการศึกษาซึ่งมีการศึกษาอ่อนหน้าน้ำด้วยเครื่องหมายอัลโซไซม์ในการตรวจสอบความหลากหลายทางพันธุกรรมในหอย Australian surf clam คือ *Donax serra* ซึ่งพบว่าระดับความหลากหลายทางพันธุกรรมในระดับปานกลาง มีค่าโพลิเมอร์ฟิกโลไซม์อยู่ในช่วง 42-75% (Murray-Jones and Ayre, 1997) และ African surf clam *D. deltoids* ซึ่งมีค่าเขตเทอร์โซไซต์อยู่ระหว่าง 18-22% (Laudien *et al.*, 2003)

### โครงสร้างทางพันธุกรรมความหลากหลายทางพันธุกรรมระหว่างประชากร

การศึกษาโครงสร้างประชากรโดยใช้ค่าสัมประสิทธิ์อฟ Wright (1978) ได้ให้ความหมายของค่า  $F_{ST}$  ในแต่ละช่วงไว้ดังนี้ ค่า  $F_{ST}$  เท่ากับ 0 - 0.05 แสดงว่ามีความแตกต่างทางพันธุกรรมน้อย ค่า  $F_{ST}$  เท่ากับ 0.05 - 0.15 แสดงว่ามีความแตกต่างทางพันธุกรรมปานกลาง ค่า  $F_{ST}$  เท่ากับ 0.15 - 0.25 แสดงว่ามีความแตกต่างทางพันธุกรรมมาก และค่า  $F_{ST}$  มากกว่า 0.25 ขึ้นไป แสดงว่ามีความแตกต่างทางพันธุกรรมมากที่สุด จากการศึกษาโครงสร้างทางพันธุกรรมของหอยลายจากแหล่งทำ การประมงหอยลาย 5 แหล่งในประเทศไทย โดยการกำหนดให้มีช่วงบนจากสมดุลฮาร์ดี-ไวน์เบิร์ก ในระดับต่างๆ กัน เช่น 0, 0.05, 0.10, 0.25 และทำการทดสอบความแตกต่างทางสถิติไม่พนความ

แตกต่างกัน จึงสามารถเลือกใช้การเบี่ยงเบนจากสมดุลหาร์ดี-ไวน์เบิร์ก ที่  $F_{IS}$  เท่ากับ 0 เพื่อใช้นอก ความแตกต่างทางพันธุกรรมระหว่างประชากร ซึ่งพบว่ามีค่าความแตกต่างทางพันธุกรรมใน ระดับสูง โดยมีค่าเฉลี่ย  $F_{ST}$  เท่ากับ 0.3146 และแตกต่างอย่างมีนัยสำคัญทางสถิติ แสดงว่าประชากร ของหอยลายที่นำมาศึกษาในครั้งนี้มีการแบ่งออกเป็นประชากรย่อย ซึ่งระดับความแตกต่างทาง พันธุกรรมของประชากรหอยลายนี้มีค่าที่ค่อนข้างจะสูงเมื่อเทียบกับการศึกษาในหอยชนิดอื่นๆ เช่น หอย *Mactra veneriformis* ในประเทศไทยนับว่าค่า ( $F_{ST} = 0.202$ ) ซึ่งอาจเป็นผลมาจากการทำ การ ประมงในบริเวณแหล่งทำการประมงหอยลายมากเกินไปซึ่งอาจมีผลต่อการขาดช่วงทางพันธุกรรม สำหรับค่าคาดหวังเขตเทอร์โซโลซิตี นั้นจากการศึกษาในสัตว์น้ำหอยลายชนิด มีแนวโน้มว่าสัมพันธ์ ในทิศทางเดียวกันเช่นการศึกษาในหอยฝ่าเดียว *Patella ferruginea* ในบริเวณที่มีการคุกคามโดย การทำการประมงที่มากเกินควรทำให้ความหลากหลายทางพันธุกรรมในบริเวณนี้มีค่อนข้างต่ำ เมื่อเทียบกับบริเวณที่มีการอนุรักษ์ (Casu et al., 2006)

ความแตกต่างระยะทางของประชากรหอยลายพบว่ามีอัตราโดยประมาณ 450 กิโลเมตร โดยประมาณสำหรับการถ่ายเทือนในประชากรในอ่าวไทยซึ่งอาจเป็นข้อจำกัดหนึ่ง สำหรับหอยลาย นี้ซึ่งจะมีระยะตัวอ่อนที่ล่องลอยอยู่ในทะเลจนมีอายุเพียง 12 วัน จากในหลาย ๆ การศึกษาแสดงให้เห็นว่ากระแสน้ำหรือลักษณะภูมิประเทศในทะเลเป็นสาเหตุทำให้ง่ายในการถ่ายเทือนหรือ อุปสรรคของลักษณะภูมิประเทศที่มีการวางกันที่มีผลต่อการถ่ายเทือน เช่นจากตัวอย่างของ การศึกษาของการกระจายตัวของหอยแมลงภู่ *P. magellanicus* ในทางเหนือของทะเลแอตแลนติกใน ประเทศแคนาดา ซึ่งพบว่าหอยมีระยะของตัวอ่อนโดยประมาณ 30 วัน หรือการศึกษาในหอยนางรม *P. maxima* ที่ลักษณะคล้ายคลึงกันซึ่งพบว่าหอยมีระยะของตัวอ่อนโดยประมาณ 17-24 วัน จาก การศึกษานี้แสดงให้เห็นว่ามีความแตกต่างทางพันธุกรรมในระดับสูงในทะเล อินโコンีเชีย และ ออสเตรเลีย (Lind et al., 2007)

ผลจากการจัดกลุ่มทั้งใช้การจัดกลุ่มโดยการสร้างแผนผังเด่นโดยแกรม (UPGMA) และการ วิเคราะห์ Principal coordinate สามารถจัดกลุ่มประชากรออกได้เป็น 4 กลุ่มประชากรคือ กลุ่มที่ 1 กลุ่มประชากรในจังหวัดสมุทรสงคราม สมุทรสาคร กลุ่มที่ 2 คือ กลุ่มประชากรในจังหวัด สมุทรปราการ กลุ่มที่ 3 กลุ่มประชากรในจังหวัดสุราษฎร์ธานี และกลุ่มที่ 4 กลุ่มประชากรในจังหวัด สตูล ส่วนการจัดกลุ่มประชากรโดยการใช้การวิเคราะห์ Assingment test โดยใช้โปรแกรม Structure พบว่าสามารถจัดกลุ่มประชากรของหอยลายได้แตกต่างจากแผนผังเด่นโดยแกรมและการ

วิเคราะห์ Principal coordinate เนื่องจากการทดสอบ Assingment test มีระดับของการจัดกลุ่มได้ ละเอียดกว่า ซึ่งสามารถจัดกลุ่มของประชากรหอยลายออกเป็น 5 กลุ่มประชากร

ประชากรของหอยมีระดับความแตกต่างระหว่างประชากรอยู่ในระดับสูง ซึ่งแสดงว่ามีการถ่ายเทยีนเกิดที่ขึ้นอย่างมากในประชากรหอยลายในบริเวณทั้ง 5 ประชากร ในจังหวัดสมุทรปราการ สมุทรสาคร สมุทรสงคราม สุราษฎร์ธานี สตูล เหตุที่มีการถ่ายเทยีนระหว่างประชากรน้อยมากของหอยลายทั้ง 5 ประชากร อาจเกิดจากที่หอยลายมีระยะตัวอ่อนที่ค่อนข้างสั้นและแต่ละแหล่งมีการทำประมงกันอย่างหนาแน่น จึงอาจเป็นสาเหตุที่ทำให้ประชากรหอยลายในประเทศไทยในบริเวณจังหวัดสมุทรปราการ สมุทรสาคร สมุทรสงคราม สุราษฎร์ธานี มีระดับความแตกต่างทางพันธุกรรมที่สูง ซึ่งการกระจายตัวของสมาชิกในประชากรทำให้เกิดการถ่ายเทยีน (Gene flow) สามารถเกิดขึ้นได้ในระหว่างที่อยู่ในระยะตัวอ่อนซึ่งจะล่องลอยไปตามกระแสน้ำ หลังจากน้ำจะลงเกาะบังพื้นท้องทะเล ในสภาพพื้นท้องทะเลที่เหมาะสมในพื้นที่ที่ลักษณะเป็นโคลน ปันทราย และหอยลายจะฝังตัวอาศัยอยู่ในระดับความลึกของผิวดิน 1-4 นิ้ว (นวลดมณี, 2531) ส่วนหอยลายในจังหวัดสมุทรสงครามและ สมุทรสาครที่มีการรวมกันเป็นกลุ่มเดียวกัน อาจเกิดจากพื้นที่บริเวณทั้งสองจังหวัดมีพื้นที่ที่อนุรักษ์หอยลายและทิศทางการที่กระแสน้ำบริเวณในสองพื้นที่มีทิศทางเดียวกัน (อนุกูล, 2551) ในช่วงที่ตัวอ่อนล่องลอยในกระแสน้ำทำให้หอยลายโอกาสที่จะถ่ายเทยีนในประชากรในจังหวัดสมุทรสาครและ สมุทรสงคราม ได้ดี ทำให้มีความแตกต่างทางพันธุกรรมภายในประชากรน้อย แต่พบว่ามีความแตกต่างทางพันธุกรรมระหว่างประชากรในจังหวัดสมุทรปราการ สุราษฎร์ธานี และสตูล

ผลการศึกษาครั้งนี้มีแตกต่างของความแตกต่างของประชากรของค่า  $F_{ST}$  จากการศึกษาในสัตว์ทะเลนิดอื่นๆ ในอ่าวไทยตอนบน เช่น กุ้งกุลาคำ (*Penaeus monodon*) (Klinbunga et al., 2001) หอยเป้าชือ (*Haliotis asinina*) (Klinbunga et al., 2003; Tang et al., 2004) หอยเชลล์ (*Amusium pleuronectes*) (Mahidol et al., 2007) และหอยทะเลนิดอื่นที่มีการแพร่กระจายได้ กว้างขวาง เช่น หอยนางรม (*Crassostrea virginica*) ( $F_{ST} = 0.0034$ ) (Rose et al., 2006) หอยเชลล์ (*Patinopecten yessoensis*) ( $F_{ST} = 0.0606$ ) (Li et al., 2007) หอยมุก (*Pinctada margaritifera cumingii*) ( $F_{ST} = 0.007$ ) (Arnaud-Haonda et al., 2003) European oyster (*Ostrea edulis*) ( $F_{ST} = 0.027$ ) (Vercaemer et al., 2003; Vercaemer et al., 2006) marine gastropods (*Littorina scutulata*, *Littorina plena*) ( $F_{ST} = 0.004, 0.052$ ) (Kyle and Boulding, 2000) ที่ไม่มีความแตกต่างกันใน

ระหว่างประชากร ซึ่งต่างจากการศึกษาครั้งนี้ที่พบว่ามีความแตกต่างกันระหว่างประชากรของ  
หอยลายในระดับสูง

ผลการวิเคราะห์ Mantel's test พบความสัมพันธ์ระหว่างระบะห่างทางพันธุกรรมและ  
ระบะห่างระหว่างประชากร แสดงว่าโครงสร้างทางพันธุกรรมของประชากรหอยลายมีความ  
สอดคล้องกับรูปแบบ Stepping stone model ดังภาพที่ 5 คือประชากรย่อบีท่อญิดกันมีโอกาสใน  
การแลกเปลี่ยนยืนกันได้มากกว่าประชากรย่อบีท่อญ่าห่างกัน มีการเปลี่ยนแปลงไปตามกระแสน้ำใน  
แต่ละฤดูกาลตั้งกล่าว พนได้นบอยในหอยทะเล เช่น Limpet (*Siphonaria jeaneae*) (Johnson and  
Black, 1982; 1984) bivalve (*Spisula ovalis*) (David et al., 1997) Pacific oysters (*Crassostrea  
gigas*) (Li and Hedgecock, 1998) black abalone (*Haliotis cracherodii*) (Hamm and Burton, 2000)  
bivalve (*Gemma gemma*) (Casu et al., 2005) Arctic surfclam (*Mactromeris polynyma*) (Cassista  
and Hart, 2007)

ผลจากการศึกษา ความแตกต่างของประชากรหอยลายในประเทศไทย อาจมีผลกระทบจากการ  
ประเมินที่มีผลต่อการเปลี่ยนแปลงทางพันธุกรรมของประชากรสัตว์น้ำในด้านขนาดของ  
ประชากรสัตว์น้ำ การเปลี่ยนแปลงทางพันธุกรรมของประชากร โดยเครื่องมือเครื่องหมายจะเดือกัน  
เฉพาะบางสมाचิกในประชากร ทำให้ประชากรเสียความสมดุลของโครงสร้างขนาดสมाचิกใน  
ประชากร ซึ่งมีผลทั้งทางตรงและทางอ้อม ทำให้ค่าเฉลี่ยของลักษณะภายนอกเปลี่ยนไป ทำให้  
สูญเสีย Gene pool และลดความหลากหลายทางพันธุกรรมในประชากร (Begg et al., 1999) การทำ  
การประเมินที่หนาแน่นอาจทำให้เกิดการเร่งกระบวนการขาดช่วงทางพันธุกรรมการถ่ายเทียน  
ระหว่างประชากรและการคัดเลือก การประเมินโดยทั่วไปนอกจากทำให้ประชากรสัตว์น้ำลดลง  
ลักษณะการจับสัตว์น้ำของเครื่องมือประเมิน ข้างต้นอาจเปลี่ยนแปลงพันธุกรรมของสัตว์น้ำในธรรมชาติ  
ได้โดยกระบวนการคัดเลือกทางตรงและทางอ้อม ลักษณะที่ถูกคัดเลือกโดยเครื่องมือประเมินอาจจะ  
มีพิเศษทางของความสัมพันธ์ได้ทั้งทางบวกและทางลบ การคัดเลือกลักษณะหนึ่งๆ จึงสามารถเปลี่ยน  
ค่าเฉลี่ยของลักษณะหนึ่ง ซึ่งอาจรวมถึงลักษณะที่มีผลต่อความอยู่รอดของประชากร (Fitness-  
related traits) ในระยะยาว (Garcia de Leaniz et al., 2007)

## สรุปและข้อเสนอแนะ

### สรุป

จากผลการศึกษาความหลากหลายทางพันธุกรรมและโครงสร้างประชากรของหอยลายในประเทศไทย ด้วยเทคนิคไอเออสอาร์ไฟรเมอร์ สรุปได้ดังนี้

1. ความหลากหลายทางพันธุกรรมภายในประชากรของหอยลายในประเทศไทย ที่กำหนดให้อยู่ในสมคูลหาร์ดี-ไวน์เบร็ก ( $F_{IS} = 0$ ) มีค่าความหลากหลายทางพันธุกรรมระดับปานกลางในจังหวัดสมุทรสงคราม, สมุทรสาคร, สมุทรปราการ และมีค่าที่ต่ำในจังหวัดสุราษฎร์ธานีและสతูล โดยที่มีค่าของค่าคาดหวังเขตเทอร์โซโลชิตต์ ( $H_j$ ) และค่าเปอร์เซ็นต์โพลิเมอร์ฟิกโลไซด์ อยู่ระหว่าง 0.04750-0.14128 และ 13.3-47.0% โดยเมื่อเปรียบเทียบกับการกำหนดค่าให้เบี่ยงเบนจากสมคูลหาร์ดี-ไวน์เบร็ก ( $F_{IS} = 0.05, 0.10, 0.25$ ) พบร่วมค่าไม่แตกต่างกัน

2. ประชากรหอยลายส่วนใหญ่มีความแตกต่างทางพันธุกรรมระหว่างประชากร ระดับของความแตกต่างอยู่ในระดับสูง ( $F_{ST} = 0.314$ ) แสดงว่าประชากรของหอยลายแบ่งออกเป็นประชากรย่อย มีค่าระยะห่างทางพันธุกรรมอยู่ระหว่าง 0.0361-0.0616

3. ความสัมพันธ์ทางพันธุกรรมของประชากรของหอยลายในประเทศไทยที่ทำการศึกษาในครั้งนี้ โดยการวิเคราะห์ Principal coordinate แบ่งออกเป็น 4 ประชากร โดยกลุ่มที่ 1 เป็นประชากรหอยลายในจังหวัดสมุทรสงคราม สมุทรสาคร กลุ่มที่ 2 สมุทรปราการ กลุ่มที่ 3 จังหวัดสุราษฎร์ธานีและกลุ่มที่ 4 เป็นประชากรหอยลายในจังหวัดสตูล

## ข้อเสนอแนะ

ในการวางแผนการจัดทรัพยากรหอยลายในประเทศไทยควรจะต้องมีความคำนึงถึงระดับความความหลากหลายทางพันธุกรรมและความแตกต่างระหว่างประชากรหอยลายด้วย จากการศึกษารังนี้แสดงให้เห็นถึงระดับความแตกต่างทางพันธุกรรมระหว่างประชากรในระดับสูง การใช้มาตรการในการเพาะพันธุ์ลูกหอยลายเพื่อปล่อยลงสู่ทะเลเพื่อเพิ่มปริมาณหอยลายในปัจจุบัน โดยการใช้พ่อแม่พันธุ์จากแหล่งใดแหล่งหนึ่งในการเพาะพันธุ์เพื่อปล่อยอาจจะไม่ได้ผลเนื่องจากประชากรหอยลายในแต่ละประชากรมีความแตกต่างกันในระดับสูง การเพาะพันธุ์ควรจะใช้หอยลายในประชากรณั้นๆ เพื่อเพาะพันธุ์ปล่อยลงสู่ทะเล หรืออาจมีการกำหนดพื้นที่ในการอนุรักษ์พันธุ์หอยลายเพิ่มขึ้น อย่างในพื้นที่ในบริเวณจังหวัดสมุทรสาคร ซึ่งแสดงให้เห็นถึงระดับความหลากหลายทางพันธุกรรมที่ยังคงคืออยู่ หรือมีการจำกัดขนาดของเรือที่ทำการประมงและช่วงเวลาทำการประมงเพื่อลดการทำการทำประมงที่หนาแน่นเกินไป หรืออาจส่งเสริมการวิจัยพัฒนาเพื่อการเพาะเลี้ยงหอยลาย ซึ่งอาจเป็นทางเลือกหนึ่งที่ดีในอนาคตเพื่อการลดการใช้ทรัพยากรหอยลายในธรรมชาติ ซึ่งในปัจจุบันผลผลิตหอยลายที่ได้จะได้มามากจากประชากรหอยในธรรมชาติ เพียงอย่างเดียว นิ่องเป็นแนวหนึ่งที่จะสามารถนำมาระบบแผนมาตรการและการจัดการทรัพยากรหอยลายในประเทศไทยให้สามารถใช้ประโยชน์ได้อย่างยั่งยืน

## เอกสารและสิ่งอ้างอิง

กรมปะรัง. 2547. สถิติการประมงแห่งประเทศไทย ปี พ.ศ. 2517-2547. รายงานประจำปี.

ฝ่ายเศรษฐกิจการประมง, กรมปะรัง.

\_\_\_\_\_ . 2548. หอยลายในประเทศไทย. กลุ่มวิชาการ. สำนักวิจัยและพัฒนาประมงทะเล. กรมประมงกระทรวงเกษตรและสหกรณ์.

jinarna jincalitit. 2543. ชีววิทยาการสืบพันธุ์ของหอยลาย *Paphia undulata* บริเวณอ่าวมหาขัย จังหวัดสมุทรสาคร. เอกสารวิชาการฉบับที่ 16. กลุ่มชีวประวัติสัตว์ทะเล, ศูนย์พัฒนาประมงทะเลอ่าวไทยตอนบน, กองประมงทะเล, กรมปะรัง. 57 น.

นวลวนี พงศ์ธน. 2531. การทดลองเพาะเลี้ยงหอยลาย (*Paphia undulata*). เอกสารวิชาการฉบับที่ 3. ศูนย์พัฒนาประมงทะเลอ่าวไทยฝั่งตะวันออก, กองประมงทะเล, กรมปะรัง. 18 น.

ไพร Hera ศุทธากรณ์ และสุนันท์ ทวยเจริญ. 2536. การศึกษาชีวประวัติของหอยลาย *Paphia undulata* ทางฝั่งตะวันตกของประเทศไทย. เอกสารวิชาการฉบับที่ 24. กลุ่มชีวประวัติสัตว์ทะเล, ศูนย์วิจัยและพัฒนาประมงทะเลอ่าวไทยฝั่งอันดามัน, กองประมงทะเล, กรมปะรัง. 54 น.

มาลา สุพงษ์พันธุ์ และ จินarna jincalitit. 2548. การประมงหอยลายและการสำรวจหอยลาย ร่วมกับชาวปะรัง. เอกสารวิชาการฉบับที่ 9. กลุ่มอำนวยการและประสานงานวิชาการ, กรมปะรัง. 55 น.

นิคมินทร์ จาจินดา. 2533. การทดลองหาขนาดความกว้างซีคราดที่เหมาะสมในการประมงหอย. เอกสารวิชาการฉบับที่ 25. ศูนย์พัฒนาประมงทะเลฝั่งตะวันออก, กองประมงทะเล, กรมปะรัง. 20 น.

วิฤทธิ์ ใบไม้. 2536. พันธุศาสตร์ พิมพ์ครั้งที่ 3. คณะวิทยาศาสตร์, มหาวิทยาลัยมหิดล, กรุงเทพฯ.

อุทัยรัตน์ ณ นคร. 2543. พันธุศาสตร์สัตว์น้ำ. สำนักพิมพ์มหาวิทยาลัยเกษตรศาสตร์, กรุงเทพฯ.

อนุกูล บูรณะประทีปัตນ์. 2551. การไหลดีเขินของกระแสงน้ำในอ่าวไทยตอนบน: การทบทวน  
งานวิจัย. วารสารวิทยาศาสตร์น้ำ 18 : 75-83.

Allendorf, F.W. and S.R. Phelps. 1980. Loss of genetic variation in a hatchery stock of cutthroat trout. *Trans. Am. Fish. Soc.* 109: 537-543.

Antoro, S., U. Na-Nakorn and W. Koedprang. 2005. Genetic Diversity of Orange spotted Grouper, *Epinephelus coioides* from Thailand and Indonesia using microsatellite markers. *Mar. Biotechnol.* 8: 17-26.

Arnaud-Haonda, S., V. Vonaua, F. Bonhommeb, P. Boudryc, J. Proua, T. Seamand, M. Veyreta and E. Goyard. 2003. Spat collection of the pearl oyster (*Pinctada margaritifera cumingii*) in French Polynesia: an evaluation of the potential impact on genetic variability of wild and farmed populations after 20 years of commercial exploitation. *Aquaculture*. 219: 181-192.

Ball, A.O. and R.W. Chapman. 2003. Population genetic analysis of white shrimp, *Litopenaeus setiferus*, using microsatellite genetic markers. *Mol. Ecol.* 12: 2319-2330.

Begg, G.A., Friedland, K.D., and J.B Pearce. 1999. Stock identification and its role in stock assessment and fisheries management: an overview. *Fish. Res.* 43: 1-8.

Casu, M., Casu, D., Lai, T., Cossu, P. and Curini-Galletti, M. 2006. Inter-simple sequence repeat marker reveal strong genetic differentiation among population of the endangered molluse *Patella ferruginea* (Gastropoda : Patellidae) from two Sardinian marine protected areas. *Mar. Biol.* 149: 1163-1174.

- \_\_\_\_\_. Maltagliatib, F., Cossu, P., Lai, T., Galletta, M.C., Castelli, A., and Commitoc, J.A. 2005. Fine-grained spatial genetic structure in the bivalve *Gemma gemma* from Maine and Virginia (USA), as revealed by Inter-Simple Sequence Repeat markers. **Mar. Biol.** **Ecol.** 325: 46-54.
- Cassista, M.C. and M.W. Hart. 2007. Spatial and temporal genetic homogeneity in the Arctic surfclam (*Mactromeris polynyma*). **Mar. Biol.** 152: 569–579.
- David, P. and P. Jarne. 1997. Context-dependent survival differences among electrophoretic genotypes in natural populations of the marine bivalve, *Spisula ovalis*. **Genetics**. 146: 335–344.
- David, P., M.A. Perdieu, A.F. Pernot and P. Jarne. 1997. Fine-grained spatial and temporal population genetic structure in the marine bivalve *Spisula ovalis*. **Evolution**. 51: 1318–1322.
- Excoffier, L., P.E. Smouse and J.M. Quattro. 1992. Analysis of molecular variance inferred from metric distances among DNA haplotypes: application to human mitochondrial DNA restriction data. **Genetics**. 131: 479-491.
- Falconer, D.S., Mackay, T.F.C. 1996. **Introduction to Quantitative Genetics**. Longman, Essex.
- Frankham, R., J.D. Ballou and D.A. Briscoe. 2002. **Introduction to Conservation Genetics**. Cambridge University. 617 p.
- Garcia de Leaniz, C., Fleming, I.A., Einum, S., Verspoor, E., Jordan, W.C., Consuegra, S., Aubin-Horth, N., Lajus, D., Letcher, B.H., Youngson, A.F., Webb, J.H., Vollestad, L.A., Villanueva, B., Ferguson, A. and T.P. Quinn. 2007. A critical review of adaptive genetic variation in Atlantic salmon: implications for conservation. **Bio. Rev.** 82:173-211.

Gharrett, A.J., Smoker, W.W., Reisenbichler, R.R., Taylor, S.G. 1999. Outbreeding depression in hybrids between odd and even-broodyear pink salmon. *Aquaculture* 173: 117-129.

Gutierrez-Gonzalez, J.L., P. Cruz, M.A.D. Rio-Portilla. and A.R. Perez-Enriquez. 2007. Genetic structure of green abalone (*Haliotis fulgens*) population off Baja California, Mexico. *J Shellfish Res.* (26) 3: 839-846.

Hadrys, H., Balick, M. and B. Schierwater. 1992. Applications of random amplified polymorphic DNA (RAPD) in molecular ecology. *Mol. Ecol.* 1: 55-63.

Hallerman, E. 2003. **Coadaptation and outbreeding depression.** Pp. 239-259, In: Hallerman, E. (Ed.). Population Genetics: Principles and Application for Fisheries Scientists. American Fisheries Society, Bethesda, Maryland, USA.

Hamm, D.E. and R.S. Burton. 2000. Population genetics of black abalone, *Haliotis cracherodii*, along the central California coast. *Mar. Biol. Ecol.* 254: 235-247.

Hedrick, P.W. 1985. **Genetics of Population.** Jones and Bartlett Publishers, Inc., USA.

\_\_\_\_\_. 2000. **Genetic of population.** Boston, Mass: Jones and Bartlett, 553 p.

Hui, D. and Y. K. Hou . 2006. Genetic variation in wild and culture populations of the pearl oyster *pinctada fucata* from southern China. *Aquaculture.* 258: 220-227.

Hou, L., Lu, H., Zou, X., Bi, X., Yan, D. and C. He. 2006. Genetic characterizations of *Mactra veneriformis* (Bivalve) along the Chinese coast using ISSR-PCR marker. *Aquaculture.* 261: 865-871.

Johnson, M.S. and R. Black. 1984. Pattern beneath the chaos: the effect of recruitment on genetic patchiness in an intertidal limpet. *Evolution.* 38: 1371-1383.

Kenchington, E.L., Patwary, M.U., Zouros, E. and C.J. Bird. 2006. Genetic differentiation in relation to marine landscape in a broadcast-spawning bivalve mollusc (*Placopecten magellanicus*). **Mol. Ecol.** 15: 1781–1796.

Kirby, L.T. 1992. **DNA Fingerprinting: An Introduction.** W.H. Freeman and Company, New York.

Klinbunga, S., Siludjai, D., Wudthijinda, W., Tassanakajon, A., Jarayaphand, P. and P. Menasveta. 2001. Genetic heterogeneity of the giant tiger prawn (*Penaeus monodon*) in Thailand revealed by RAPD and mitochondrial DNA RFLP analyses. **Mar. Biotechnol.** 3: 428–438.

\_\_\_\_\_. Pripue, P., Khamnamtong, N., Puanglarp, N., Tassanakajon, A., Jarayaphand, P., Hirono, I., Aoki T. and P. Menasveta. 2003. Genetic diversity and molecular markers of the tropical abalone (*Haliotis asinina*) in Thailand. **Mar. Biotechnol.** 5: 505–517.

Kong, L., Li, O. and Z. Qiu. 2007. Genetic and morphological differentiation in the clam *Coelomactra antiquata* (Bivalvia: Veneroida) along the coast of China. **J Exp Mar Biol Ecol.** 343: 110-117.

Kyle, C.J. and E.G. Boulding. 2000. Comparative population genetic structure of marine gastropods (*Littorina* ssp.) with and without pelagic larval dispersal. **Mar. Biotechnol.** 137: 835-845.

Lambert, W.J., C.D. Todd and J.P. Thorpe. 2003. Genetic population structure of two intertidal nudibranch molluscs with contrasting larval types: temporal variation and transplant experiments. **Mar. Biotechnol.** 142: 461-471.

Laudien, J., Brey, T., Estuarine, A.W.E. 2003. Population structure, growth and production of the surf clam *Donax serra* (Bivalvia, Donacidae) on two Namibian Sandy beaches. **Est Coast Shelf Sci.** 58S:105–115.

Li, G. and D. Hedgecock. 1998. Genetic heterogeneity, detected by PCR-SSCP, among samples of larval Pacific oysters (*Crassostrea gigas*) supports the hypothesis of large variance in reproductive success. **Can. J. Fish. Aquat. Sci.** 55:1025–1033.

Li, Q., Xu, K. and R. Yu. 2007. Genetic variation in Chinese hatchery populations of the Japanese scallop (*Patinopecten yessoensis*) inferred from microsatellite data. **Aquaculture.** 253: 229-237.

Li, O., Yu, H. and R. Ya. 2006. Genetic variability assessed by microsatellites in cultured populations of the Pacific oyster (*Crassostrea gigas*) in China. **Aquaculture.** 259: 95-102

Lind, C.E., Evans, B.S., Taylor, J.J.U. and D.R. Jerry. 2007. Population genetics of a marine bivalve, *Pinctada maxima*, throughout the Indo-Australian Archipelago shows differentiation and decreased diversity at range limits. **Mol. Ecol.** 16: 5193–5203.

Lin, G., F. Feng and G.H. Yue. 2007. Isolation and characterization of polymorphic microsatellites from Asian green mussel (*Perna viridis*). **Mol. Ecol. Notes.** 7:1036-1038.

Lynch, M. 1990. The similarity index and DNA fingerprinting. **Mol. Bio. Evol.** 7: 478-484.

Lynch, M. and B.G. Milligan. 1994. Analysis of population genetic structure with RAPD marker. **Mol. Ecol.** 3: 91-99.

Mahidol, C., U. Na-Nakorn, S. Sukmanomon, N. Taniguchi and Thuy T. T. Nguyen. 2007.

Mitochondrial DNA diversity of the Asian moon scallop, *Amusium pleuronectes* (Pectinidae), in Thailand. **Mar. Biotechnol.** 9: 352–359.

Mantel, N. 1967. The detection of disease clustering and a generalized regression approach.

**Cancer Res.** 27: 209-220.

May, B. and C.C. Krueger. 1990. Use of allozyme data for population analysis. pp. 157-172. In. D.H. Whitmore (ed.), Electrophoretic and isoelectric focusing techniques in fisheries management. CRC Press.

Miller, M. 1997. **Tools for population genetic analices (TFPGA) 1.3:** A windows program for analysis of allozyme and molecular population genetic data.

<http://herb.bio.nau.edu/miller/tfga.htm>.

Milton H. Gallardoa, L. Penaloza and E. Clasingb. 1998. Gene flow and allozymic population structure in the clam *Venus antique* (Bivalvia, Veneriidae) from Southern Chile.

**J Exp Mar Biol Ecol.** 230. 193-205.

Murray-Jones, S.E., Ayre, D.J. 1997. High levels of gene flow in the surf clam bivalve *Donax deltoids* (Bivalvia: Donacidae) on the east coast of Australia. **Mar. Biol.** 128, 83-89.

Nei, M. 1987. **Molecular Evolutionary Genetics.** Columbia University Press, New York. 512 pp.

\_\_\_\_\_. 1978. Estimation of average heterozygosity and genetic distance from a small number of individuals. **Genetic.** 89, 83-590.

\_\_\_\_\_. 1972. Genetic distance between populations. **Amer. Natur.** 106: 282-292.

Pritchard, J.K., Stephens, M. and P. Donnelly. 2000. Inference of population structure using multilocus genotype data. *Genetics* 155: 9197-9201.

Rhodes, K.L., R.I. Lewis, R.W. Chapman and Y. Sadovy. 2003. Genetic structure of camouflage grouper, *Epinephelus polyphekadion* (Pisces: Serranidae), in the western central Pacific. *Mar. Biotechnol.* 142: 771-776.

Rose C.G., Paynter K.T. and M.P. Hare. 2006. Isolation by distance in the Eastern Oyster, *Crassostrea virginica*, in Chesapeake Bay. *Heredity* 97 (2): 158-170.

Schlüter, P.M. and S.A. Harris. 2006. Analysis of multilocus fingerprinting data sets containing missing data. *Mol. Ecol.* 6, 569-572.

Tang, S., Tassanakajon, A., Klinbunga, S., Jarayabhand, P. and P. Menasveta. 2004. Population structure of Tropical abalone (*Haliotis asinina*) in coastal waters of Thailand determined using microsatellite markers. *Mar. Biotechnol.* 6: 604-611.

Taggart, J.B., R.A. Hynes, P.A. Prodohl and A. Ferguson. 1992. A simplified protocol for routine total DNA isolation from salmonid fishes. *J. Fish. Biol.* 40: 963-965.

Todd, C.D., W.J. Lambert and J.P. Thorpec. 1998. The genetic structure of intertidal populations of two species of nudibranch molluscs with planktotrophic and pelagic lecithotrophic larval stages: are pelagic larvae "for" dispersal. *Mar. Biol. Ecol.* 228: 1-28.

Vekemans X., T. Beauwens, M. Lemaire and I. Roldan-Ruiz. 2002. Data from amplified fragment length polymorphism (AFLP) marker show indication of size homoplasy and of a relationship between degree of homoplasy and fragment size *Mol Ecol.* 11: 139-151.

Vercaemer, B., K. Spence, E. Kenchington, A. Mallet and J. Harding. 2003. Assessment of genetic diversity of the European oyster (*Ostrea edulis*) in Nova Scotia using microsatellite markers. **Can. Tech. Rep. Fish. Aquat. Sci** 2453: v + 30 pp.

\_\_\_\_\_. K.R. Spence, C.M. Herbinger, S. Lapègue S. and E.L. Kenchington. 2006. Genetic diversity of the European oyster (*Ostrea edulis* L.) in Nova Scotia:Comparison with other parts of Canada, Maine and Europe and implications for broodstock management. **J. Shellfish Res.** 25 (2): 543-551.

Waples, R., 1998. Separating the wheat from the chaff: Patterns of genetic differentiation in high gene flow species. **J Hered.** 89, 439–450.

Welsh, L., McClelland, M. 1990. Fingerprinting genomes using PCR with arbitrary primers. **Nucleic Acids Res.** 18: 7213-7218.

Williams, J.G.K., Kubelik, A.R., Livak, K.J., Rafalski, J.A. and S.V. Tingey. 1990. DNA polymorphisms amplified by arbitrary primers are useful as genetic markers. **Nucleic Acids Res.** 18: 6531-6535.

Wolf, H.D., Blust, R. and T. Backeljau. 2004. The population genetic structure of *Littorina littorea* (Mollusca: Gastropoda) along a pollution gradient in the Scheldt estuary (The Netherlands) using RAPD analysis. **Sci Total Environ.** 325: 59-69.

Wolfe, A.D. and A. Liston. 1998. **Contributions of PCR based methods to plant systematics and evolutionary biology.** In: Soltis, P.S., Soltis, D.E., Doyle (Eds.), Molecular Systematics of Plants: DNA Sequencing. Kluwer, pp. 43-186.

Wright, S. 1978. **Evolution and the Genetics of Populations.** Vol. 4: Variability within and among Natural Populations. Chicago: University of Chicago Press.

Zhan, A., Hu, J., Hu, X., Zhou, Z., Hui, M., Wang, S., Peng, W., Wang, M. and Z. Bao. 2008. Fine-scale population genetic structure of Zhikong scallop (*Chlamys farreri*): Do local marine currents drive geographical differentiation. **Mar Biotechnol.** 11: 223–235.

**ภาคพนวก**

**ภาคผนวก ก**  
**การเตรียมสารเคมี**

## การทำ Agarose gel eletroresis

### 1. การเตรียมสารเคมี

#### a. บัฟเฟอร์ TBE ความเข้มข้น 10 เท่า

ผสม Tris base 108 กรัม, กรอบอริก 55 กรัม, และ 0.5 M EDTA (pH 8.0) ปริมาณ 40 ml เข้าด้วยกัน เติมน้ำกลั่นจนได้ปริมาณ 1 ลิตร ปรับ pH ให้ได้ 8.0 ด้วยกรด HCl นำไปผ่าเรือใน Autoclave เก็บที่อุณหภูมิห้อง เมื่อนำมาใช้งานให้เทลงด้วยน้ำกลั่นในอัตราส่วน บัฟเฟอร์ TBE 10 เท่าต่อน้ำกลั่นเป็น 1 ต่อ 9

#### b. Loading buffer

ผสม 0.25 % bromophenol blue, 0.25% xylene cyanol FF และ 30% glecerol เข้าด้วยกันเก็บที่ อุณหภูมิ 4°C

#### c. สีข้อม ethidium bromide ความเข้มข้น 0.5 ug/ml

ผสม ethidium bromide 250 ug เติมน้ำกลั่นจนได้ปริมาตร 500 ml วนให้สีละลายด้วยเครื่อง magnetic stirrer นำไปเก็บไว้ในภาชนะทึบแสงที่อุณหภูมิห้อง

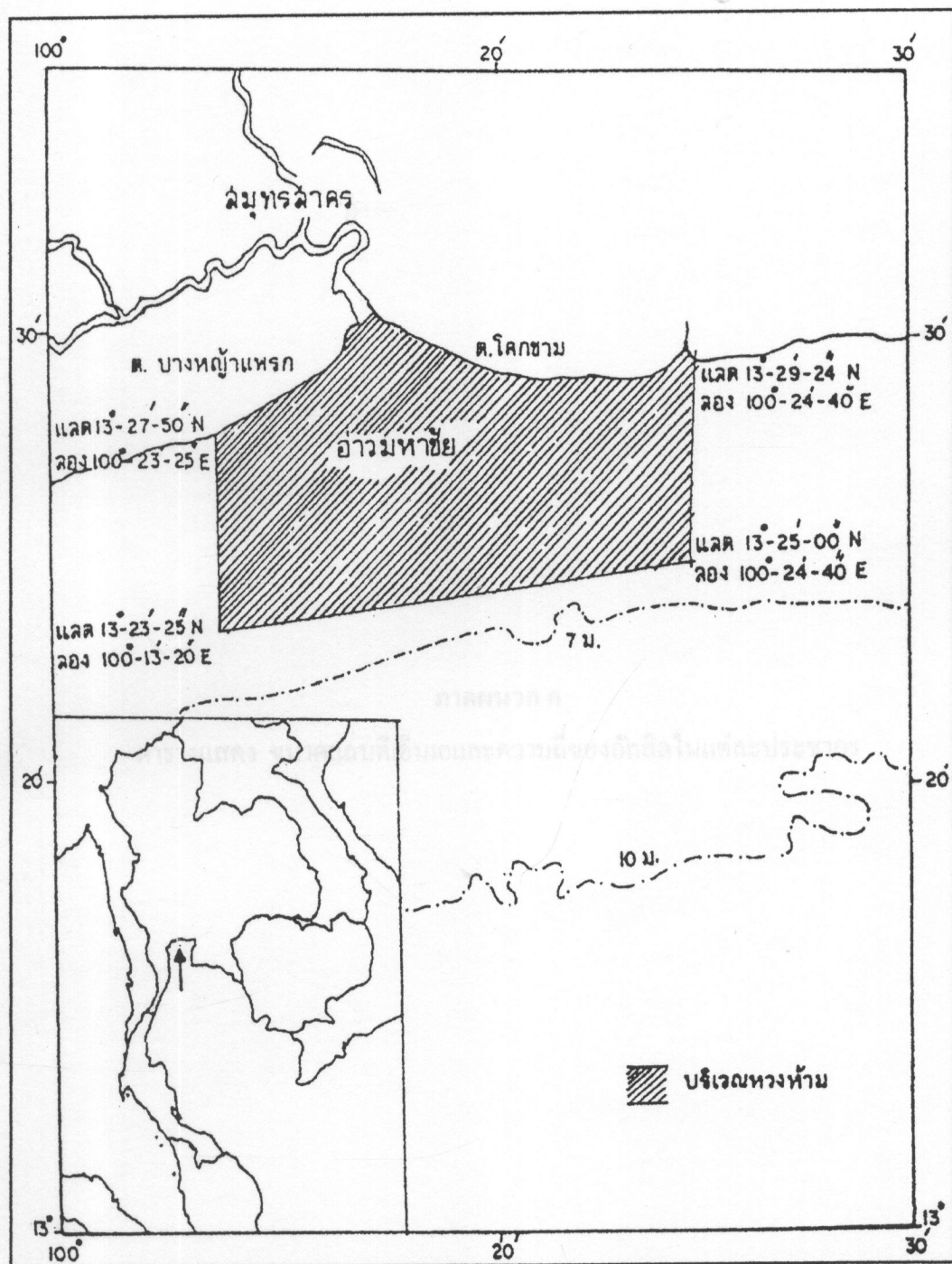
### 2. วิธีการ

- ประกอบภาคหล่อเจลเข้ากับ comb เพื่อให้เจลที่แข็งตัวมีสีช่อง (well) ซึ่งใช้สำหรับหยดตัวอย่าง DNA
- ชั่ง agarose 0.42 กรัมลงใน flask เติมบัฟเฟอร์ TBE ความเข้มข้น 1 เท่าจนได้ปริมาณ 35 ml จะได้ agarose ความเข้มข้น 1.2%
- ละลาย agarose โดยนำเข้าถุงในโคลเวฟนานประมาณ 1 นาที เมื่อเดือดให้น้ำออกมานะย่าให้เข้ากัน แล้วนำเข้าถุงในโคลเวฟอีกครั้ง ทำซ้ำดังกล่าวอีก 2-3 ครั้ง จนกว่า agarose ละลายจนสารละลายจะใส
- ปล่อยสารละลายเจลที่ไว้ที่อุณหภูมิห้องจนอุ่น นำไปเทลงในภาคหล่อเจลโดยระวังมิให้เกิดฟองอากาศเกิดขึ้น ทึ่งไว้จนกระทั่งเจลแข็งตัวและเย็น
- ดึง comb ออกจากเจล ดึงแผ่นเจลขึ้น นำไปวางใน eletrophoresis chamber โดยหันด้านที่มีช่องหยดตัวอย่างไปทางข้างบน
- เติมบัฟเฟอร์ TBE เข้มข้น 1 เท่าลงใน eletrophoresis chamber จนท่วมพิวหน้าเจลขึ้นมา มิลลิเมตร

- g. ผสม loading buffer กับตัวอย่าง DNA อัตราส่วน 2.5 ต่อ 7.5 ul (1 ช่อง well ใส่สารละลายได้ 10 ul ) บนแผ่นพาราฟิน ผสมให้เข้ากันโดยใช้ในโกรไปเปตคูตัวอย่างขึ้นลง แล้วนำไปหยอดลงในช่องบนเจล ส่วน DNA size Marker ในการศึกษาครั้งนี้ใช้ 100 bp marker ladder (ward medic)
- h. ปิดฝา eletrophoresis chamber ต่อขั้วไฟฟ้า แล้วปิดสวิตซ์ปล่อยกระแสไฟฟ้าความต่างศักย์ 100 โวลต์ โดยให้กระแสไฟฟ้าไหลจากขั้วลบไปหาขั้บวก ตามความขาวของแผ่นเจล
- i. ถังเกตที่สีของ loading buffer เมื่อเจล สีเคลื่อนที่ค่อนไปทางด้านปลายของแผ่นเจล ให้หยุดให้กระแสไฟ
- j. นำแผ่นเจลที่ได้ไปขอมด้วย ethidium bromide นาน 15 นาทีเมื่อครบให้เช่นน้ำเปล่าประมาณ 10 นาที
- k. นำแผ่นเจลไปส่องคุณภาพ DNA ที่เกิดขึ้นภายใต้แสง UV Transilluminator ถ่ายรูปเจล DNA ที่เกิดขึ้นโดยใช้กล้องถ่ายภาพ นำภาพที่ได้ไปวิเคราะห์ผล

ภาคผนวก ข

ภาพແຜນທີ່ແສດງພື້ນທີ່ອນຽກຍໍ້ຫອບລາຍບຣິເວມຈັງຫວັດ ສມຸກສາກຮ



ภาพผนวกที่ ข1 แผนที่แสดงพื้นที่อนุรักษ์หอยลายบริเวณจังหวัด สมุทรสาคร

ที่มา: จินตนา (2543)

### ภาคผนวก ก

ตารางแสดง ขนาดແຄບດີເຈື້ນເອແລະຄວາມດື່ງຂອງອັດລິລິໃນແຕ່ລະປະຫາກ

**ตารางผนวกที่ ค1 ขนาดแอนดีเอ็นเอและความถี่ของอัลลิลในแต่ละประชากร**

ประชากร	สมมุติฐาน			
	locus	N	freq_frag	freq_all
band_1	100	0.02	0.01173	0.98827
band_2	100	0.03	0.0167	0.9833
band_3	100	0.02	0.01173	0.98827
band_4	100	0.1	0.05223	0.94777
band_5	100	0.18	0.09455	0.90545
band_6	100	0.07	0.03686	0.96314
band_7	100	0.09	0.04707	0.95293
band_8	100	0.46	0.26155	0.73845
band_9	100	0.12	0.06264	0.93736
band_10	100	0.22	0.11647	0.88353
band_11	100	0.06	0.03176	0.96824
band_12	100	0.38	0.21023	0.78977
band_13	100	0.48	0.27495	0.72505
band_14	100	0.03	0.0167	0.9833
band_15	100	0.07	0.03686	0.96314
band_16	100	0.54	0.31673	0.68327
band_17	100	0.4	0.22274	0.77726
band_18	100	0.07	0.03686	0.96314
band_19	100	0.21	0.11095	0.88905
band_20	100	0.4	0.22274	0.77726
band_21	100	0.2	0.10546	0.89454
band_22	100	0.3	0.16204	0.83796
band_23	100	0.51	0.29552	0.70448
band_24	100	0	0.00185	0.99815

ตารางผนวกที่ ค1 (ต่อ)

ประชากร	สมุทรสงคราม			
locus	N	freq_frag	freq_all	freq_all
band_25	100	0.02	0.01173	0.98827
band_26	100	0.58	0.34605	0.65395
band_27	100	0.2	0.10546	0.89454
band_28	100	0.65	0.40081	0.59919
band_29	100	0.15	0.07847	0.92153
band_30	100	0.09	0.04707	0.95293
band_31	100	0.05	0.0267	0.9733
band_32	100	0.08	0.04196	0.95804
band_33	100	0.11	0.05742	0.94258
band_34	100	0.14	0.07317	0.92683
band_35	100	0.14	0.07317	0.92683
band_36	100	0.08	0.04196	0.95804
band_37	100	0.14	0.07317	0.92683
band_38	100	0.09	0.04707	0.95293
band_39	100	0.11	0.05742	0.94258
band_40	100	0.02	0.01173	0.98827
band_41	100	0.1	0.05223	0.94777
band_42	100	0.02	0.01173	0.98827
band_43	100	0.29	0.15622	0.84378
band_44	100	0.07	0.03686	0.96314
band_45	100	0.13	0.06789	0.93211
band_46	100	0.08	0.04196	0.95804
band_47	100	0.1	0.05223	0.94777
band_48	100	0.21	0.11095	0.88905
band_49	100	0.13	0.06789	0.93211
band_50	100	0.02	0.01173	0.98827

ตารางผนวกที่ ค1 (ต่อ)

ประชากร	สมุทรสangคaram			
locus	N	freq_frag	freq_all	freq_all
band_51	100	0.2	0.10546	0.89454
band_52	100	0.16	0.0838	0.9162
band_53	100	0.09	0.04707	0.95293
band_54	100	0.18	0.09455	0.90545
band_55	100	0.14	0.07317	0.92683
band_56	100	0.07	0.03686	0.96314
band_57	100	0.13	0.06789	0.93211
band_58	100	0.15	0.07847	0.92153
band_59	100	0.01	0.00677	0.99323
band_60	100	0.2	0.10546	0.89454
band_61	100	0.36	0.19791	0.80209
band_62	100	0.2	0.10546	0.89454
band_63	100	0.29	0.15622	0.84378
band_64	100	0.13	0.06789	0.93211
band_65	100	0.52	0.30253	0.69747
band_66	100	0.37	0.20404	0.79596
band_67	100	0.02	0.01173	0.98827
band_68	100	0.04	0.02169	0.97831
band_69	100	0.69	0.43448	0.56552
band_70	100	0.02	0.01173	0.98827
band_71	100	0	0.00185	0.99815
band_72	100	0.02	0.01173	0.98827
band_73	100	0.01	0.00677	0.99323
band_74	100	0.38	0.21023	0.78977
band_75	100	0	0.00185	0.99815
band_76	100	0.02	0.01173	0.98827

ตารางผนวกที่ ค1 (ต่อ)

ประชากร	สมบัติสังคม			
locus	N	freq_frag	freq_all	freq_all
band_77	100	0.06	0.03176	0.96824
band_78	100	0.21	0.11095	0.88905
band_79	100	0.39	0.21646	0.78354
band_80	100	0.22	0.11647	0.88353
band_81	100	0.04	0.02169	0.97831
band_82	100	0.06	0.03176	0.96824
band_83	100	0.03	0.0167	0.9833
band_84	100	0.05	0.0267	0.9733
band_85	100	0.15	0.07847	0.92153
band_86	100	0.58	0.34605	0.65395
band_87	100	0.65	0.40081	0.59919
band_88	100	0.11	0.05742	0.94258
band_89	100	0.01	0.00677	0.99323
band_90	100	0.14	0.07317	0.92683
band_91	100	0.55	0.32393	0.67607
band_92	100	0.01	0.00677	0.99323
band_93	100	0.07	0.03686	0.96314
band_94	100	0.46	0.26155	0.73845
band_95	100	0.04	0.02169	0.97831
band_96	100	0.1	0.05223	0.94777
band_97	100	0.02	0.01173	0.98827
band_98	100	0.05	0.0267	0.9733
band_99	100	0.24	0.12767	0.87233
band_100	100	0.01	0.00677	0.99323
band_101	100	0.05	0.0267	0.9733
band_102	100	0.06	0.03176	0.96824

ตารางผนวกที่ ค1 (ต่อ)

ประชากร	สมุทรสงคราม			
locus	N	freq_frag	freq_all	freq_all
band_103	100	0.09	0.04707	0.95293
band_104	100	0.3	0.16204	0.83796
band_105	100	0.22	0.11647	0.88353
band_106	100	0.11	0.05742	0.94258
band_107	100	0.22	0.11647	0.88353
band_108	100	0.05	0.0267	0.9733
band_109	100	0.07	0.03686	0.96314
band_110	100	0.44	0.24839	0.75161
band_111	100	0.05	0.0267	0.9733
band_112	100	0.24	0.12767	0.87233
band_113	100	0.31	0.16792	0.83208
band_114	100	0.28	0.15044	0.84956
band_115	100	0	0.00185	0.99815
band_116	100	0.23	0.12204	0.87796
band_117	100	0.48	0.27495	0.72505
band_118	100	0.21	0.11095	0.88905
band_119	100	0	0.00185	0.99815
band_120	100	0.1	0.05223	0.94777
band_121	100	0.06	0.03176	0.96824
band_122	100	0	0.00185	0.99815
band_123	100	0.4	0.22274	0.77726
band_124	100	0	0.00185	0.99815
band_125	100	0.08	0.04196	0.95804
band_126	100	0.2	0.10546	0.89454
band_127	100	0.22	0.11647	0.88353
band_128	100	0	0.00185	0.99815

ตารางผนวกที่ ก1 (ต่อ)

ประชากร	สมุทรสงคราม			
locus	N	freq_frag	freq_all	freq_-all
band_129	100	0	0.00185	0.99815
band_130	100	0.43	0.24191	0.75809
band_131	100	0.08	0.04196	0.95804
band_132	100	0	0.00185	0.99815
band_133	100	0	0.00185	0.99815
band_134	100	0.13	0.06789	0.93211
band_135	100	0.11	0.05742	0.94258
band_136	100	0.05	0.0267	0.9733
band_137	100	0.13	0.06789	0.93211
band_138	100	0.03	0.0167	0.9833
band_139	100	0.15	0.07847	0.92153
band_140	100	0	0.00185	0.99815
band_141	100	0.07	0.03686	0.96314
band_142	100	0.05	0.0267	0.9733
band_143	100	0	0.00185	0.99815
band_144	100	0.14	0.07317	0.92683
band_145	100	0.5	0.2886	0.7114
band_146	100	0.15	0.07847	0.92153
band_147	100	0.08	0.04196	0.95804
band_148	100	0	0.00185	0.99815
band_149	100	0.14	0.07317	0.92683
band_150	100	0.04	0.02169	0.97831
band_151	100	0.18	0.09455	0.90545
band_152	100	0.13	0.06789	0.93211
band_153	100	0.32	0.17382	0.82618
band_154	100	0.18	0.09455	0.90545

ตารางผนวกที่ ค1 (ต่อ)

ประชากร	สมมุติสัมภาระ			
locus	N	freq_frag	freq_all	freq_all
band_155	100	0.92	0.69289	0.30711
band_156	100	0.71	0.4521	0.5479
band_157	100	0.02	0.01173	0.98827
band_158	100	0.85	0.59635	0.40365
band_159	100	0.05	0.0267	0.9733
band_160	100	0.01	0.00677	0.99323
band_161	100	0.05	0.0267	0.9733
band_162	100	0.53	0.30959	0.69041
band_163	100	0.45	0.25494	0.74506
band_164	100	0.03	0.0167	0.9833
band_165	100	0.05	0.0267	0.9733
band_166	100	0.03	0.0167	0.9833
band_167	100	0.01	0.00677	0.99323
band_168	100	0.02	0.01173	0.98827
band_169	100	0.09	0.04707	0.95293
band_170	100	0.1	0.05223	0.94777
band_171	100	0.05	0.0267	0.9733
band_172	100	0.06	0.03176	0.96824
band_173	100	0.09	0.04707	0.95293
band_174	100	0.26	0.13896	0.86104
band_175	100	0	0.00185	0.99815
band_176	100	0.18	0.09455	0.90545
band_177	100	0.09	0.04707	0.95293
band_178	100	0.24	0.12767	0.87233
band_179	100	0	0.00185	0.99815
band_180	100	0.17	0.08915	0.91085

ตารางผนวกที่ ๑ (ต่อ)

ประชากร	สมมติฐาน	locus	N	freq_frag	freq_all	freq_all
		band_181	100	0	0.00185	0.99815
		band_182	100	0.22	0.11647	0.88353
		band_183	100	0.16	0.0838	0.9162
		band_184	100	0	0.00185	0.99815
		band_185	100	0.06	0.03176	0.96824
		band_186	100	0.01	0.00677	0.99323
		band_187	100	0.04	0.02169	0.97831
		band_188	100	0.32	0.17382	0.82618
		band_189	100	0.12	0.06264	0.93736
		band_190	100	0.2	0.10546	0.89454
		band_191	100	0.03	0.0167	0.9833
		band_192	100	0.43	0.24191	0.75809
		band_193	100	0.49	0.28175	0.71825
		band_194	100	0.2	0.10546	0.89454
		band_195	100	0.45	0.25494	0.74506
		band_196	100	0.32	0.17382	0.82618
		band_197	100	0.09	0.04707	0.95293
		band_198	100	0.24	0.12767	0.87233
		band_199	100	0.16	0.0838	0.9162
		band_200	100	0.22	0.11647	0.88353
		band_201	100	0.23	0.12204	0.87796
		band_202	100	0.05	0.0267	0.9733
		band_203	100	0.21	0.11095	0.88905
		band_204	100	0	0.00185	0.99815
		band_205	100	0.17	0.08915	0.91085
		band_206	100	0.18	0.09455	0.90545

ตารางผนวกที่ ค1 (ต่อ)

ประชากร	สมุทรสงคราม			
locus	N	freq_frag	freq_all	freq_-all
band_207	100	0.07	0.03686	0.96314
band_208	100	0.13	0.06789	0.93211
band_209	100	0.52	0.30253	0.69747
band_210	100	0.46	0.26155	0.73845
band_211	100	0.15	0.07847	0.92153
band_212	100	0.5	0.2886	0.7114
band_213	100	0.25	0.13328	0.86672
band_214	100	0.01	0.00677	0.99323
band_215	100	0.76	0.49882	0.50118
band_216	100	0	0.00185	0.99815
band_217	100	0	0.00185	0.99815
band_218	100	0	0.00185	0.99815
band_219	100	0.03	0.0167	0.9833
band_220	100	0.01	0.00677	0.99323
band_221	100	0.85	0.59635	0.40365
band_222	100	0.01	0.00677	0.99323
band_223	100	0	0.00185	0.99815
band_224	100	0.02	0.01173	0.98827
band_225	100	0	0.00185	0.99815
band_226	100	0.02	0.01173	0.98827
band_227	100	0.96	0.76521	0.23479
band_228	100	0.01	0.00677	0.99323
band_229	100	0.06	0.03176	0.96824
band_230	100	0	0.00185	0.99815
band_231	100	0.01	0.00677	0.99323
band_232	100	0	0.00185	0.99815

ตารางผนวกที่ ค1 (ต่อ)

ประชากร	สมุทรสงคราม			
locus	N	freq_frag	freq_all	freq_all
band_233	100	0	0.00185	0.99815
band_234	100	0	0.00185	0.99815
band_235	100	0	0.00185	0.99815
band_236	100	0.7	0.44323	0.55677
band_237	100	0.17	0.08915	0.91085
band_238	100	0.02	0.01173	0.98827
band_239	100	0.03	0.0167	0.9833
band_240	100	0	0.00185	0.99815
band_241	100	0.02	0.01173	0.98827
band_242	100	0.05	0.0267	0.9733
band_243	100	0.01	0.00677	0.99323
band_244	100	0.05	0.0267	0.9733
band_245	100	0	0.00185	0.99815
band_246	100	0.01	0.00677	0.99323
band_247	100	0	0.00185	0.99815
band_248	100	0	0.00185	0.99815
band_249	100	0.09	0.04707	0.95293
band_250	100	0.08	0.04196	0.95804
band_251	100	0.06	0.03176	0.96824
band_252	100	0.78	0.51879	0.48121
band_253	100	0.1	0.05223	0.94777
band_254	100	0.01	0.00677	0.99323
band_255	100	0.2	0.10546	0.89454
band_256	100	0.76	0.49882	0.50118
band_257	100	0	0.00185	0.99815
band_258	100	0.04	0.02169	0.97831

ตารางผนวกที่ ค1 (ต่อ)

ประชากร	สมุทรสงคราม			
locus	N	freq_frag	freq_all	freq_all
band_259	100	0.07	0.03686	0.96314
band_260	100	0.05	0.0267	0.9733
band_261	100	0.84	0.58438	0.41562
band_262	100	0.01	0.00677	0.99323
band_263	100	0.06	0.03176	0.96824
band_264	100	0.95	0.74521	0.25479
band_265	100	0.01	0.00677	0.99323
band_266	100	0	0.00185	0.99815
band_267	100	0.03	0.0167	0.9833
band_268	100	0	0.00185	0.99815
band_269	100	0.64	0.39269	0.60731
band_270	100	0.05	0.0267	0.9733
band_271	100	0	0.00185	0.99815
band_272	100	0.09	0.04707	0.95293
band_273	100	0.04	0.02169	0.97831
band_274	100	0.11	0.05742	0.94258
band_275	100	0.06	0.03176	0.96824
band_276	100	0.07	0.03686	0.96314
band_277	100	0	0.00185	0.99815
band_278	100	0	0.00185	0.99815
band_279	100	0.23	0.12204	0.87796
band_280	100	0.05	0.0267	0.9733
band_281	100	0.09	0.04707	0.95293
band_282	100	0.07	0.03686	0.96314
band_283	100	0.16	0.0838	0.9162
band_284	100	0.13	0.06789	0.93211

ตารางผนวกที่ ค1 (ต่อ)

ประชากร	สมุทรสงคราม			
locus	N	freq_frag	freq_all	freq_-all
band_285	100	0.02	0.01173	0.98827
band_286	100	0.13	0.06789	0.93211
band_287	100	0.15	0.07847	0.92153
band_288	100	0.47	0.26822	0.73178
band_289	100	0	0.00185	0.99815
band_290	100	0.67	0.4174	0.5826
band_291	100	0.09	0.04707	0.95293
band_292	100	0.04	0.02169	0.97831
band_293	100	0	0.00185	0.99815
band_294	100	0.54	0.31673	0.68327
band_295	100	0.01	0.00677	0.99323
band_296	100	0.79	0.52909	0.47091
band_297	100	0.06	0.03176	0.96824
band_298	100	0.39	0.21646	0.78354
band_299	100	0.65	0.40081	0.59919
band_300	100	0	0.00185	0.99815

ประชากร	สมุทรสาคร			
locus	N	freq_frag	freq_all	freq_-all
band_1	100	0	0.00173	0.99827
band_2	100	0.01	0.00665	0.99335
band_3	100	0.07	0.03668	0.96332
band_4	100	0.03	0.01657	0.98343
band_5	100	0.19	0.09984	0.90016
band_6	100	0.01	0.00665	0.99335
band_7	100	0.34	0.1856	0.8144

ตารางผนวกที่ ค1 (ต่อ)

ประชากร	สมุทรสาคร			
locus	N	freq_frag	freq_all	freq_all
band_8	100	0.12	0.0625	0.9375
band_9	100	0.09	0.04695	0.95305
band_10	100	0.03	0.01657	0.98343
band_11	100	0.06	0.03161	0.96839
band_12	100	0.71	0.45179	0.54821
band_13	100	0.16	0.08366	0.91634
band_14	100	0.06	0.03161	0.96839
band_15	100	0.14	0.07302	0.92698
band_16	100	0.77	0.50835	0.49165
band_17	100	0.15	0.0783	0.9217
band_18	100	0.17	0.08901	0.91099
band_19	100	0.24	0.12748	0.87252
band_20	100	0.16	0.08366	0.91634
band_21	100	0.36	0.19774	0.80226
band_22	100	0.31	0.16774	0.83226
band_23	100	0.24	0.12748	0.87252
band_24	100	0.01	0.00665	0.99335
band_25	100	0.05	0.02658	0.97342
band_26	100	0.28	0.15025	0.84975
band_27	100	0.16	0.08366	0.91634
band_28	100	0.18	0.09442	0.90558
band_29	100	0.06	0.03161	0.96839
band_30	100	0	0.00173	0.99827
band_31	100	0.1	0.05211	0.94789
band_32	100	0.16	0.08366	0.91634
band_33	100	0.05	0.02658	0.97342

ตารางผนวกที่ ค1 (ต่อ)

ประชากร	สมุทรสาคร			
locus	N	freq_frag	freq_+all	freq_-all
band_34	100	0.19	0.09984	0.90016
band_35	100	0.14	0.07302	0.92698
band_36	100	0.03	0.01657	0.98343
band_37	100	0.35	0.19164	0.80836
band_38	100	0.01	0.00665	0.99335
band_39	100	0.36	0.19774	0.80226
band_40	100	0	0.00173	0.99827
band_41	100	0.07	0.03668	0.96332
band_42	100	0.01	0.00665	0.99335
band_43	100	0.24	0.12748	0.87252
band_44	100	0.4	0.22255	0.77745
band_45	100	0.04	0.02154	0.97846
band_46	100	0.04	0.02154	0.97846
band_47	100	0.06	0.03161	0.96839
band_48	100	0.06	0.03161	0.96839
band_49	100	0.03	0.01657	0.98343
band_50	100	0.05	0.02658	0.97342
band_51	100	0.21	0.11079	0.88921
band_52	100	0.11	0.05727	0.94273
band_53	100	0.11	0.05727	0.94273
band_54	100	0	0.00173	0.99827
band_55	100	0.09	0.04695	0.95305
band_56	100	0.06	0.03161	0.96839
band_57	100	0.02	0.01161	0.98839
band_58	100	0.32	0.17366	0.82634
band_59	100	0	0.00173	0.99827

ตารางผนวกที่ ค1 (ต่อ)

ประชากร	สมุทรสาคร			
locus	N	freq_frag	freq_all	freq_all
band_60	100	0	0.00173	0.99827
band_61	100	0.05	0.02658	0.97342
band_62	100	0.7	0.44292	0.55708
band_63	100	0.1	0.05211	0.94789
band_64	100	0.2	0.10529	0.89471
band_65	100	0.3	0.16186	0.83814
band_66	100	0.11	0.05727	0.94273
band_67	100	0.08	0.04181	0.95819
band_68	100	0	0.00173	0.99827
band_69	100	0.25	0.13314	0.86686
band_70	100	0.07	0.03668	0.96332
band_71	100	0.07	0.03668	0.96332
band_72	100	0.07	0.03668	0.96332
band_73	100	0.3	0.16186	0.83814
band_74	100	0.19	0.09984	0.90016
band_75	100	0.12	0.0625	0.9375
band_76	100	0.01	0.00665	0.99335
band_77	100	0.08	0.04181	0.95819
band_78	100	0.09	0.04695	0.95305
band_79	100	0.44	0.2482	0.7518
band_80	100	0.06	0.03161	0.96839
band_81	100	0.23	0.12188	0.87812
band_82	100	0.17	0.08901	0.91099
band_83	100	0.01	0.00665	0.99335
band_84	100	0.08	0.04181	0.95819
band_85	100	0.05	0.02658	0.97342

ตารางผนวกที่ ค1 (ต่อ)

ประชากร	สมุทรสาคร			
	locus	N	freq_frag	freq_all
band_86	100	0.63	0.38441	0.61559
band_87	100	0.3	0.16186	0.83814
band_88	100	0.23	0.12188	0.87812
band_89	100	0.01	0.00665	0.99335
band_90	100	0.09	0.04695	0.95305
band_91	100	0.55	0.32371	0.67629
band_92	100	0	0.00173	0.99827
band_93	100	0.16	0.08366	0.91634
band_94	100	0.15	0.0783	0.9217
band_95	100	0.58	0.3458	0.6542
band_96	100	0.07	0.03668	0.96332
band_97	100	0.03	0.01657	0.98343
band_98	100	0	0.00173	0.99827
band_99	100	0.14	0.07302	0.92698
band_100	100	0.13	0.06774	0.93226
band_101	100	0.08	0.04181	0.95819
band_102	100	0.03	0.01657	0.98343
band_103	100	0.17	0.08901	0.91099
band_104	100	0.21	0.11079	0.88921
band_105	100	0.29	0.15605	0.84395
band_106	100	0.29	0.15605	0.84395
band_107	100	0.09	0.04695	0.95305
band_108	100	0.11	0.05727	0.94273
band_109	100	0.03	0.01657	0.98343
band_110	100	0.2	0.10529	0.89471
band_111	100	0.05	0.02658	0.97342

ตารางผนวกที่ ค1 (ต่อ)

ประชากร	สมุทรสาคร			
locus	N	freq_frag	freq_all	freq_all
band_112	100	0.44	0.2482	0.7518
band_113	100	0.17	0.08901	0.91099
band_114	100	0.49	0.28154	0.71846
band_115	100	0	0.00173	0.99827
band_116	100	0.09	0.04695	0.95305
band_117	100	0.45	0.25475	0.74525
band_118	100	0.03	0.01657	0.98343
band_119	100	0.04	0.02154	0.97846
band_120	100	0	0.00173	0.99827
band_121	100	0.17	0.08901	0.91099
band_122	100	0.26	0.13879	0.86121
band_123	100	0.32	0.17366	0.82634
band_124	100	0.05	0.02658	0.97342
band_125	100	0.25	0.13314	0.86686
band_126	100	0.5	0.28839	0.71161
band_127	100	0.09	0.04695	0.95305
band_128	100	0.12	0.0625	0.9375
band_129	100	0.15	0.0783	0.9217
band_130	100	0.4	0.22255	0.77745
band_131	100	0.16	0.08366	0.91634
band_132	100	0.04	0.02154	0.97846
band_133	100	0.22	0.11634	0.88366
band_134	100	0	0.00173	0.99827
band_135	100	0	0.00173	0.99827
band_136	100	0	0.00173	0.99827
band_137	100	0	0.00173	0.99827

ตารางผนวกที่ ค1 (ต่อ)

ประชากร	สมุทรสาคร				
	locus	N	freq_frag	freq_all	freq_all
band_138	100	0.04	0.02154	0.97846	
band_139	100	0.08	0.04181	0.95819	
band_140	100	0.05	0.02658	0.97342	
band_141	100	0.05	0.02658	0.97342	
band_142	100	0.01	0.00665	0.99335	
band_143	100	0.03	0.01657	0.98343	
band_144	100	0.08	0.04181	0.95819	
band_145	100	0.5	0.28839	0.71161	
band_146	100	0.28	0.15025	0.84975	
band_147	100	0.06	0.03161	0.96839	
band_148	100	0.04	0.02154	0.97846	
band_149	100	0.12	0.0625	0.9375	
band_150	100	0.05	0.02658	0.97342	
band_151	100	0.03	0.01657	0.98343	
band_152	100	0.28	0.15025	0.84975	
band_153	100	0.45	0.25475	0.74525	
band_154	100	0.14	0.07302	0.92698	
band_155	100	0.02	0.01161	0.98839	
band_156	100	0.99	0.83831	0.16169	
band_157	100	0.96	0.76443	0.23557	
band_158	100	0.01	0.00665	0.99335	
band_159	100	0.97	0.78622	0.21378	
band_160	100	0.25	0.13314	0.86686	
band_161	100	0.02	0.01161	0.98839	
band_162	100	0.22	0.11634	0.88366	
band_163	100	0.55	0.32371	0.67629	

ตารางผนวกที่ ค1 (ต่อ)

ประชากร	สมุทรสาคร			
locus	N	freq_frag	freq_all	freq_all
band_164	100	0.02	0.01161	0.98839
band_165	100	0.02	0.01161	0.98839
band_166	100	0.02	0.01161	0.98839
band_167	100	0.05	0.02658	0.97342
band_168	100	0.07	0.03668	0.96332
band_169	100	0	0.00173	0.99827
band_170	100	0.14	0.07302	0.92698
band_171	100	0.2	0.10529	0.89471
band_172	100	0.19	0.09984	0.90016
band_173	100	0.16	0.08366	0.91634
band_174	100	0.12	0.0625	0.9375
band_175	100	0.45	0.25475	0.74525
band_176	100	0	0.00173	0.99827
band_177	100	0.21	0.11079	0.88921
band_178	100	0.16	0.08366	0.91634
band_179	100	0.23	0.12188	0.87812
band_180	100	0.01	0.00665	0.99335
band_181	100	0.24	0.12748	0.87252
band_182	100	0.1	0.05211	0.94789
band_183	100	0	0.00173	0.99827
band_184	100	0.08	0.04181	0.95819
band_185	100	0.14	0.07302	0.92698
band_186	100	0	0.00173	0.99827
band_187	100	0.07	0.03668	0.96332
band_188	100	0.11	0.05727	0.94273
band_189	100	0.09	0.04695	0.95305

ตารางผนวกที่ ค1 (ต่อ)

ประชากร	สมุทรสาคร			
locus	N	freq_frag	freq_all	freq_-all
band_190	100	0.12	0.0625	0.9375
band_191	100	0.01	0.00665	0.99335
band_192	100	0.26	0.13879	0.86121
band_193	100	0.35	0.19164	0.80836
band_194	100	0.02	0.01161	0.98839
band_195	100	0.41	0.22889	0.77111
band_196	100	0.02	0.01161	0.98839
band_197	100	0	0.00173	0.99827
band_198	100	0.04	0.02154	0.97846
band_199	100	0.19	0.09984	0.90016
band_200	100	0	0.00173	0.99827
band_201	100	0	0.00173	0.99827
band_202	100	0.07	0.03668	0.96332
band_203	100	0	0.00173	0.99827
band_204	100	0	0.00173	0.99827
band_205	100	0.27	0.1445	0.8555
band_206	100	0.3	0.16186	0.83814
band_207	100	0.11	0.05727	0.94273
band_208	100	0.12	0.0625	0.9375
band_209	100	0.25	0.13314	0.86686
band_210	100	0.06	0.03161	0.96839
band_211	100	0.14	0.07302	0.92698
band_212	100	0.23	0.12188	0.87812
band_213	100	0.12	0.0625	0.9375
band_214	100	0.1	0.05211	0.94789
band_215	100	0.55	0.32371	0.67629

ตารางผนวกที่ ค1 (ต่อ)

ประชากร	สมุทรสาคร			
locus	N	freq_frag	freq_all	freq_-all
band_216	100	0.01	0.00665	0.99335
band_217	100	0	0.00173	0.99827
band_218	100	0.01	0.00665	0.99335
band_219	100	0.18	0.09442	0.90558
band_220	100	0.08	0.04181	0.95819
band_221	100	0.04	0.02154	0.97846
band_222	100	0.2	0.10529	0.89471
band_223	100	0.02	0.01161	0.98839
band_224	100	0.06	0.03161	0.96839
band_225	100	0.02	0.01161	0.98839
band_226	100	0.53	0.30937	0.69063
band_227	100	0.19	0.09984	0.90016
band_228	100	0.64	0.39243	0.60757
band_229	100	0.36	0.19774	0.80226
band_230	100	0	0.00173	0.99827
band_231	100	0.14	0.07302	0.92698
band_232	100	0.04	0.02154	0.97846
band_233	100	0.01	0.00665	0.99335
band_234	100	0.05	0.02658	0.97342
band_235	100	0.01	0.00665	0.99335
band_236	100	0.01	0.00665	0.99335
band_237	100	0.72	0.4608	0.5392
band_238	100	0	0.00173	0.99827
band_239	100	0	0.00173	0.99827
band_240	100	0	0.00173	0.99827
band_241	100	0.1	0.05211	0.94789

ตารางผนวกที่ ค1 (ต่อ)

ประชากร	สมุทรสาคร			
locus	N	freq_frag	freq_all	freq_all
band_242	100	0	0.00173	0.99827
band_243	100	0	0.00173	0.99827
band_244	100	0.01	0.00665	0.99335
band_245	100	0	0.00173	0.99827
band_246	100	0	0.00173	0.99827
band_247	100	0	0.00173	0.99827
band_248	100	0	0.00173	0.99827
band_249	100	0	0.00173	0.99827
band_250	100	0	0.00173	0.99827
band_251	100	0.39	0.21628	0.78372
band_252	100	0	0.00173	0.99827
band_253	100	0	0.00173	0.99827
band_254	100	0	0.00173	0.99827
band_255	100	0.24	0.12748	0.87252
band_256	100	0	0.00173	0.99827
band_257	100	0	0.00173	0.99827
band_258	100	0	0.00173	0.99827
band_259	100	0.02	0.01161	0.98839
band_260	100	0.56	0.33099	0.66901
band_261	100	0	0.00173	0.99827
band_262	100	0	0.00173	0.99827
band_263	100	0	0.00173	0.99827
band_264	100	0.34	0.1856	0.8144
band_265	100	0	0.00173	0.99827
band_266	100	0	0.00173	0.99827
band_267	100	0	0.00173	0.99827

ตารางผนวกที่ ค1 (ต่อ)

ประชากร	สมุทรสาคร			
locus	N	freq_frag	freq_all	freq_all
band_268	100	1	0.87192	0.12808
band_269	100	0	0.00173	0.99827
band_270	100	0	0.00173	0.99827
band_271	100	1	0.87192	0.12808
band_272	100	0	0.00173	0.99827
band_273	100	0	0.00173	0.99827
band_274	100	0.08	0.04181	0.95819
band_275	100	0.05	0.02658	0.97342
band_276	100	0.06	0.03161	0.96839
band_277	100	0.01	0.00665	0.99335
band_278	100	0.01	0.00665	0.99335
band_279	100	0	0.00173	0.99827
band_280	100	0.36	0.19774	0.80226
band_281	100	0.06	0.03161	0.96839
band_282	100	0.01	0.00665	0.99335
band_283	100	0.53	0.30937	0.69063
band_284	100	0.01	0.00665	0.99335
band_285	100	0.03	0.01657	0.98343
band_286	100	0	0.00173	0.99827
band_287	100	0.3	0.16186	0.83814
band_288	100	0.45	0.25475	0.74525
band_289	100	0.1	0.05211	0.94789
band_290	100	0.92	0.69229	0.30771
band_291	100	0.01	0.00665	0.99335
band_292	100	0	0.00173	0.99827
band_293	100	0	0.00173	0.99827

ตารางผนวกที่ ค1 (ต่อ)

ประชากร	สมุทรสาคร			
locus	N	freq_frag	freq_all	freq_all
band_294	100	0.53	0.30937	0.69063
band_295	100	0.55	0.32371	0.67629
band_296	100	0.23	0.12188	0.87812
band_297	100	0.11	0.05727	0.94273
band_298	100	0.48	0.27474	0.72526
band_299	100	0.55	0.32371	0.67629
band_300	100	0	0.00173	0.99827

ประชากร	สมุทรปราการ			
locus	N	freq_frag	freq_all	freq_all
band_1	100	0	0.00099	0.99901
band_2	100	0	0.00099	0.99901
band_3	100	0.03	0.01597	0.98403
band_4	100	0	0.00099	0.99901
band_5	100	0	0.00099	0.99901
band_6	100	0.02	0.01094	0.98906
band_7	100	0.13	0.06766	0.93234
band_8	100	0.01	0.00592	0.99408
band_9	100	0.31	0.16873	0.83127
band_10	100	0.12	0.06235	0.93765
band_11	100	0	0.00099	0.99901
band_12	100	0	0.00099	0.99901
band_13	100	0.82	0.56888	0.43112
band_14	100	0.06	0.03116	0.96884
band_15	100	0.02	0.01094	0.98906
band_16	100	0.79	0.53571	0.46429

ตารางผนวกที่ ค1 (ต่อ)

ประชากร	สมบูรณ์	freq_frag	freq_all	freq_-all
locus	N			
band_17	100	0.42	0.23708	0.76292
band_18	100	0.08	0.04146	0.95854
band_19	100	0.07	0.0363	0.9637
band_20	100	0.11	0.05707	0.94293
band_21	100	0.33	0.18074	0.81926
band_22	100	0.33	0.18074	0.81926
band_23	100	0.47	0.27026	0.72974
band_24	100	0.32	0.17472	0.82528
band_25	100	0.01	0.00592	0.99408
band_26	100	0.55	0.32673	0.67327
band_27	100	0.3	0.1628	0.8372
band_28	100	0.51	0.29792	0.70208
band_29	100	0.24	0.12803	0.87197
band_30	100	0	0.00099	0.99901
band_31	100	0	0.00099	0.99901
band_32	100	0	0.00099	0.99901
band_33	100	0	0.00099	0.99901
band_34	100	0.03	0.01597	0.98403
band_35	100	0	0.00099	0.99901
band_36	100	0.03	0.01597	0.98403
band_37	100	0.06	0.03116	0.96884
band_38	100	0.15	0.07831	0.92169
band_39	100	0.01	0.00592	0.99408
band_40	100	0.06	0.03116	0.96884
band_41	100	0.02	0.01094	0.98906
band_42	100	0.01	0.00592	0.99408

ตารางผนวกที่ ค1 (ต่อ)

ประชากร	สมุทรปราการ			
locus	N	freq_frag	freq_all	freq_all
band_43	100	0.06	0.03116	0.96884
band_44	100	0.19	0.10005	0.89995
band_45	100	0.09	0.04662	0.95338
band_46	100	0.08	0.04146	0.95854
band_47	100	0.04	0.021	0.979
band_48	100	0.2	0.10561	0.89439
band_49	100	0.04	0.021	0.979
band_50	100	0.15	0.07831	0.92169
band_51	100	0.18	0.09459	0.90541
band_52	100	0.31	0.16873	0.83127
band_53	100	0	0.00099	0.99901
band_54	100	0.05	0.02606	0.97394
band_55	100	0.1	0.05185	0.94815
band_56	100	0.19	0.10005	0.89995
band_57	100	0.02	0.01094	0.98906
band_58	100	0.56	0.33413	0.66587
band_59	100	0.01	0.00592	0.99408
band_60	100	0	0.00099	0.99901
band_61	100	0.04	0.021	0.979
band_62	100	0.92	0.70533	0.29467
band_63	100	0.02	0.01094	0.98906
band_64	100	0	0.00099	0.99901
band_65	100	0.65	0.40482	0.59518
band_66	100	0.35	0.19293	0.80707
band_67	100	0.01	0.00592	0.99408
band_68	100	0	0.00099	0.99901

ตารางผนวกที่ ค1 (ต่อ)

ประชากร	สมมติป്രาการ			
locus	N	freq_frag	freq_all	freq_-all
band_69	100	0.23	0.12237	0.87763
band_70	100	0	0.00099	0.99901
band_71	100	0	0.00099	0.99901
band_72	100	0.09	0.04662	0.95338
band_73	100	0.01	0.00592	0.99408
band_74	100	0.12	0.06235	0.93765
band_75	100	0	0.00099	0.99901
band_76	100	0	0.00099	0.99901
band_77	100	0.03	0.01597	0.98403
band_78	100	0.14	0.07295	0.92705
band_79	100	0.81	0.55755	0.44245
band_80	100	0	0.00099	0.99901
band_81	100	0	0.00099	0.99901
band_82	100	0	0.00099	0.99901
band_83	100	0.13	0.06766	0.93234
band_84	100	0.33	0.18074	0.81926
band_85	100	0	0.00099	0.99901
band_86	100	1	0.91111	0.08889
band_87	100	0	0.00099	0.99901
band_88	100	0.89	0.65863	0.34137
band_89	100	0.13	0.06766	0.93234
band_90	100	0.48	0.27707	0.72293
band_91	100	0.18	0.09459	0.90541
band_92	100	0.58	0.34918	0.65082
band_93	100	0	0.00099	0.99901
band_94	100	0	0.00099	0.99901

ตารางผนวกที่ ค1 (ต่อ)

ประชากร	สมุทรปราการ			
locus	N	freq_frag	freq_all	freq_-all
band_95	100	0.08	0.04146	0.95854
band_96	100	0.25	0.13372	0.86628
band_97	100	0	0.00099	0.99901
band_98	100	0	0.00099	0.99901
band_99	100	0	0.00099	0.99901
band_100	100	0	0.00099	0.99901
band_101	100	0	0.00099	0.99901
band_102	100	0.01	0.00592	0.99408
band_103	100	0	0.00099	0.99901
band_104	100	0.11	0.05707	0.94293
band_105	100	0.01	0.00592	0.99408
band_106	100	0	0.00099	0.99901
band_107	100	0.11	0.05707	0.94293
band_108	100	0	0.00099	0.99901
band_109	100	0.31	0.16873	0.83127
band_110	100	0.07	0.0363	0.9637
band_111	100	0.32	0.17472	0.82528
band_112	100	0.56	0.33413	0.66587
band_113	100	0.38	0.21155	0.78845
band_114	100	0.48	0.27707	0.72293
band_115	100	0	0.00099	0.99901
band_116	100	0	0.00099	0.99901
band_117	100	0.49	0.28396	0.71604
band_118	100	0.53	0.31219	0.68781
band_119	100	0.01	0.00592	0.99408
band_120	100	0	0.00099	0.99901

ตารางผนวกที่ ค1 (ต่อ)

ประชากร	สมทรปราการ			
locus	N	freq_frag	freq_all	freq_all
band_121	100	0.14	0.07295	0.92705
band_122	100	0	0.00099	0.99901
band_123	100	0.25	0.13372	0.86628
band_124	100	0	0.00099	0.99901
band_125	100	0.21	0.11113	0.88887
band_126	100	0.44	0.25018	0.74982
band_127	100	0	0.00099	0.99901
band_128	100	0	0.00099	0.99901
band_129	100	0	0.00099	0.99901
band_130	100	0	0.00099	0.99901
band_131	100	0.33	0.18074	0.81926
band_132	100	0	0.00099	0.99901
band_133	100	0	0.00099	0.99901
band_134	100	0	0.00099	0.99901
band_135	100	0	0.00099	0.99901
band_136	100	0	0.00099	0.99901
band_137	100	0	0.00099	0.99901
band_138	100	0	0.00099	0.99901
band_139	100	0	0.00099	0.99901
band_140	100	0	0.00099	0.99901
band_141	100	0	0.00099	0.99901
band_142	100	0	0.00099	0.99901
band_143	100	0.09	0.04662	0.95338
band_144	100	0.06	0.03116	0.96884
band_145	100	0.31	0.16873	0.83127
band_146	100	0	0.00099	0.99901

ตารางผนวกที่ ค1 (ต่อ)

ประชากร	สมุทรปราการ			
locus	N	freq_frag	freq_all	freq_all
band_147	100	0	0.00099	0.99901
band_148	100	0	0.00099	0.99901
band_149	100	0.54	0.31941	0.68059
band_150	100	0	0.00099	0.99901
band_151	100	0.22	0.11673	0.88327
band_152	100	0.31	0.16873	0.83127
band_153	100	0	0.00099	0.99901
band_154	100	0	0.00099	0.99901
band_155	100	0.43	0.2436	0.7564
band_156	100	0.52	0.30501	0.69499
band_157	100	0.9	0.67345	0.32655
band_158	100	0	0.00099	0.99901
band_159	100	0.97	0.80673	0.19327
band_160	100	0.11	0.05707	0.94293
band_161	100	0.03	0.01597	0.98403
band_162	100	0.04	0.021	0.979
band_163	100	0.04	0.021	0.979
band_164	100	0	0.00099	0.99901
band_165	100	0	0.00099	0.99901
band_166	100	0.01	0.00592	0.99408
band_167	100	0.01	0.00592	0.99408
band_168	100	0	0.00099	0.99901
band_169	100	0	0.00099	0.99901
band_170	100	0	0.00099	0.99901
band_171	100	0	0.00099	0.99901
band_172	100	0	0.00099	0.99901

ตารางผนวกที่ ค1 (ต่อ)

ประชากร	สมบูรณ์	freq_frag	freq_all	freq_all
locus	N			
band_173	100	0	0.00099	0.99901
band_174	100	0.08	0.04146	0.95854
band_175	100	0.01	0.00592	0.99408
band_176	100	0	0.00099	0.99901
band_177	100	0	0.00099	0.99901
band_178	100	0.02	0.01094	0.98906
band_179	100	0.09	0.04662	0.95338
band_180	100	0.08	0.04146	0.95854
band_181	100	0.45	0.25681	0.74319
band_182	100	0	0.00099	0.99901
band_183	100	0	0.00099	0.99901
band_184	100	0	0.00099	0.99901
band_185	100	0.1	0.05185	0.94815
band_186	100	0.51	0.29792	0.70208
band_187	100	0	0.00099	0.99901
band_188	100	0.11	0.05707	0.94293
band_189	100	0.05	0.02606	0.97394
band_190	100	0	0.00099	0.99901
band_191	100	0.71	0.45702	0.54298
band_192	100	0	0.00099	0.99901
band_193	100	0.09	0.04662	0.95338
band_194	100	0.74	0.48512	0.51488
band_195	100	0.31	0.16873	0.83127
band_196	100	0.69	0.43909	0.56091
band_197	100	0	0.00099	0.99901
band_198	100	0.18	0.09459	0.90541

ตารางผนวกที่ ค1 (ต่อ)

ประชากร	สมบูรณ์	สมบูรณ์	สมบูรณ์	สมบูรณ์
locus	N	freq_frag	freq_all	freq_all
band_199	100	0.8	0.54649	0.45351
band_200	100	0.4	0.2242	0.7758
band_201	100	0.18	0.09459	0.90541
band_202	100	0.27	0.14524	0.85476
band_203	100	0.76	0.50474	0.49526
band_204	100	0	0.00099	0.99901
band_205	100	0.04	0.021	0.979
band_206	100	0	0.00099	0.99901
band_207	100	0	0.00099	0.99901
band_208	100	0	0.00099	0.99901
band_209	100	0	0.00099	0.99901
band_210	100	0.25	0.13372	0.86628
band_211	100	0	0.00099	0.99901
band_212	100	0.22	0.11673	0.88327
band_213	100	0	0.00099	0.99901
band_214	100	0	0.00099	0.99901
band_215	100	0	0.00099	0.99901
band_216	100	0.96	0.78265	0.21735
band_217	100	0	0.00099	0.99901
band_218	100	0.56	0.33413	0.66587
band_219	100	0.03	0.01597	0.98403
band_220	100	0	0.00099	0.99901
band_221	100	0	0.00099	0.99901
band_222	100	0	0.00099	0.99901
band_223	100	0	0.00099	0.99901
band_224	100	0	0.00099	0.99901

ตารางผนวกที่ ค1 (ต่อ)

ประชากร	สมทรปราการ			
locus	N	freq_frag	freq_all	freq_all
band_225	100	0	0.00099	0.99901
band_226	100	0.49	0.28396	0.71604
band_227	100	0	0.00099	0.99901
band_228	100	0.7	0.44798	0.55202
band_229	100	0.05	0.02606	0.97394
band_230	100	0	0.00099	0.99901
band_231	100	0.01	0.00592	0.99408
band_232	100	0	0.00099	0.99901
band_233	100	0	0.00099	0.99901
band_234	100	0	0.00099	0.99901
band_235	100	0.01	0.00592	0.99408
band_236	100	0.68	0.43034	0.56966
band_237	100	0.34	0.18679	0.81321
band_238	100	0	0.00099	0.99901
band_239	100	0	0.00099	0.99901
band_240	100	0	0.00099	0.99901
band_241	100	0.01	0.00592	0.99408
band_242	100	0.01	0.00592	0.99408
band_243	100	0.02	0.01094	0.98906
band_244	100	0.53	0.31219	0.68781
band_245	100	0.2	0.10561	0.89439
band_246	100	0	0.00099	0.99901
band_247	100	0	0.00099	0.99901
band_248	100	0.28	0.15105	0.84895
band_249	100	0.52	0.30501	0.69499
band_250	100	0	0.00099	0.99901

ตารางผนวกที่ ค1 (ต่อ)

ประชากร	สมุทรปราการ			
locus	N	freq_frag	freq_all	freq_all
band_251	100	0.27	0.14524	0.85476
band_252	100	0.19	0.10005	0.89995
band_253	100	0.39	0.21784	0.78216
band_254	100	0.19	0.10005	0.89995
band_255	100	0	0.00099	0.99901
band_256	100	0.28	0.15105	0.84895
band_257	100	0	0.00099	0.99901
band_258	100	0	0.00099	0.99901
band_259	100	0.4	0.2242	0.7758
band_260	100	0	0.00099	0.99901
band_261	100	0.82	0.56888	0.43112
band_262	100	0.75	0.49483	0.50517
band_263	100	0.39	0.21784	0.78216
band_264	100	0	0.00099	0.99901
band_265	100	0.17	0.08911	0.91089
band_266	100	0.39	0.21784	0.78216
band_267	100	0.2	0.10561	0.89439
band_268	100	0.07	0.0363	0.9637
band_269	100	0.33	0.18074	0.81926
band_270	100	0	0.00099	0.99901
band_271	100	0	0.00099	0.99901
band_272	100	0	0.00099	0.99901
band_273	100	0	0.00099	0.99901
band_274	100	0	0.00099	0.99901
band_275	100	0.13	0.06766	0.93234
band_276	100	0	0.00099	0.99901

ตารางผนวกที่ ค1 (ต่อ)

ประชากร	สมุทรปราการ			
locus	N	freq_frag	freq_all	freq_all
band_277	100	0	0.00099	0.99901
band_278	100	0.28	0.15105	0.84895
band_279	100	0	0.00099	0.99901
band_280	100	0	0.00099	0.99901
band_281	100	0	0.00099	0.99901
band_282	100	0.17	0.08911	0.91089
band_283	100	0	0.00099	0.99901
band_284	100	0	0.00099	0.99901
band_285	100	0	0.00099	0.99901
band_286	100	0.32	0.17472	0.82528
band_287	100	0	0.00099	0.99901
band_288	100	0.65	0.40482	0.59518
band_289	100	0	0.00099	0.99901
band_290	100	0.78	0.52515	0.47485
band_291	100	0	0.00099	0.99901
band_292	100	0	0.00099	0.99901
band_293	100	0	0.00099	0.99901
band_294	100	0.77	0.51484	0.48516
band_295	100	0	0.00099	0.99901
band_296	100	1	0.91111	0.08889
band_297	100	0	0.00099	0.99901
band_298	100	0.56	0.33413	0.66587
band_299	100	0.98	0.83424	0.16576
band_300	100	0	0.00099	0.99901

ตารางผนวกที่ ค1 (ต่อ)

ประชากร	สูร่ายภูชานี			
locus	N	freq_frag	freq_all	freq_all
band_1	100	0.02	0.01027	0.98973
band_2	100	0.01	0.00521	0.99479
band_3	100	0.03	0.01533	0.98467
band_4	100	0	0.00022	0.99978
band_5	100	0.08	0.04101	0.95899
band_6	100	0	0.00022	0.99978
band_7	100	0	0.00022	0.99978
band_8	100	0.01	0.00521	0.99479
band_9	100	0.87	0.6381	0.3619
band_10	100	0.01	0.00521	0.99479
band_11	100	0	0.00022	0.99978
band_12	100	0.01	0.00521	0.99479
band_13	100	0.97	0.82336	0.17664
band_14	100	0	0.00022	0.99978
band_15	100	0	0.00022	0.99978
band_16	100	0.2	0.10563	0.89437
band_17	100	0.83	0.58661	0.41339
band_18	100	0.01	0.00521	0.99479
band_19	100	0	0.00022	0.99978
band_20	100	0.02	0.01027	0.98973
band_21	100	0.21	0.11124	0.88876
band_22	100	0.01	0.00521	0.99479
band_23	100	0.5	0.29263	0.70737
band_24	100	0	0.00022	0.99978
band_25	100	0	0.00022	0.99978
band_26	100	0.04	0.02039	0.97961

ตารางผนวกที่ ค1 (ต่อ)

ประชากร	สุร้ายักษานี			
locus	N	freq_frag	freq_all	freq_all
band_27	100	0.04	0.02039	0.97961
band_28	100	0.92	0.71528	0.28472
band_29	100	0.53	0.31414	0.68586
band_30	100	0	0.00022	0.99978
band_31	100	0	0.00022	0.99978
band_32	100	0.01	0.00521	0.99479
band_33	100	0	0.00022	0.99978
band_34	100	0	0.00022	0.99978
band_35	100	0.01	0.00521	0.99479
band_36	100	0	0.00022	0.99978
band_37	100	0	0.00022	0.99978
band_38	100	0	0.00022	0.99978
band_39	100	0	0.00022	0.99978
band_40	100	0.25	0.134	0.866
band_41	100	0	0.00022	0.99978
band_42	100	0	0.00022	0.99978
band_43	100	0.32	0.17534	0.82466
band_44	100	0	0.00022	0.99978
band_45	100	0	0.00022	0.99978
band_46	100	0.01	0.00521	0.99479
band_47	100	0.01	0.00521	0.99479
band_48	100	0.01	0.00521	0.99479
band_49	100	0.13	0.06739	0.93261
band_50	100	0.26	0.13978	0.86022
band_51	100	0	0.00022	0.99978
band_52	100	0	0.00022	0.99978

ตารางผนวกที่ ค1 (ต่อ)

ประชากร	ส่วนยื้อชานี			
locus	N	freq_frag	freq_all	freq_all
band_53	100	0	0.00022	0.99978
band_54	100	0.14	0.07275	0.92725
band_55	100	0	0.00022	0.99978
band_56	100	0	0.00022	0.99978
band_57	100	0	0.00022	0.99978
band_58	100	0.11	0.05674	0.94326
band_59	100	0	0.00022	0.99978
band_60	100	0	0.00022	0.99978
band_61	100	0.96	0.79712	0.20288
band_62	100	0	0.00022	0.99978
band_63	100	0	0.00022	0.99978
band_64	100	0	0.00022	0.99978
band_65	100	1	0.95496	0.04504
band_66	100	0.08	0.04101	0.95899
band_67	100	0	0.00022	0.99978
band_68	100	0	0.00022	0.99978
band_69	100	0.99	0.89327	0.10673
band_70	100	0	0.00022	0.99978
band_71	100	0	0.00022	0.99978
band_72	100	0	0.00022	0.99978
band_73	100	0.19	0.10008	0.89992
band_74	100	0	0.00022	0.99978
band_75	100	0	0.00022	0.99978
band_76	100	0	0.00022	0.99978
band_77	100	0	0.00022	0.99978
band_78	100	0	0.00022	0.99978

ตารางผนวกที่ ค1 (ต่อ)

ประชากร	สุร้ายภูชานี			
locus	N	freq_frag	freq_all	freq_all
band_79	100	0.95	0.77388	0.22612
band_80	100	0	0.00022	0.99978
band_81	100	0	0.00022	0.99978
band_82	100	0	0.00022	0.99978
band_83	100	0	0.00022	0.99978
band_84	100	0	0.00022	0.99978
band_85	100	0	0.00022	0.99978
band_86	100	0	0.00022	0.99978
band_87	100	1	0.95496	0.04504
band_88	100	0	0.00022	0.99978
band_89	100	0	0.00022	0.99978
band_90	100	0	0.00022	0.99978
band_91	100	0	0.00022	0.99978
band_92	100	0	0.00022	0.99978
band_93	100	0	0.00022	0.99978
band_94	100	0	0.00022	0.99978
band_95	100	0	0.00022	0.99978
band_96	100	0	0.00022	0.99978
band_97	100	0	0.00022	0.99978
band_98	100	0	0.00022	0.99978
band_99	100	0	0.00022	0.99978
band_100	100	0	0.00022	0.99978
band_101	100	0	0.00022	0.99978
band_102	100	0	0.00022	0.99978
band_103	100	0.01	0.00521	0.99479
band_104	100	0	0.00022	0.99978

ตารางผนวกที่ ค1 (ต่อ)

ประชากร	ถูร้ายภูฐานี			
locus	N	freq_frag	freq_all	freq_all
band_105	100	0	0.00022	0.99978
band_106	100	0	0.00022	0.99978
band_107	100	0	0.00022	0.99978
band_108	100	0	0.00022	0.99978
band_109	100	0	0.00022	0.99978
band_110	100	0	0.00022	0.99978
band_111	100	0	0.00022	0.99978
band_112	100	0	0.00022	0.99978
band_113	100	0.08	0.04101	0.95899
band_114	100	0	0.00022	0.99978
band_115	100	0.07	0.03579	0.96421
band_116	100	0	0.00022	0.99978
band_117	100	0.13	0.06739	0.93261
band_118	100	0.01	0.00521	0.99479
band_119	100	0.01	0.00521	0.99479
band_120	100	0.16	0.08359	0.91641
band_121	100	0	0.00022	0.99978
band_122	100	0.41	0.23174	0.76826
band_123	100	0.01	0.00521	0.99479
band_124	100	0.05	0.02552	0.97448
band_125	100	0.01	0.00521	0.99479
band_126	100	0.11	0.05674	0.94326
band_127	100	0	0.00022	0.99978
band_128	100	0	0.00022	0.99978
band_129	100	0	0.00022	0.99978
band_130	100	1	0.95496	0.04504

ตารางผนวกที่ ค1 (ต่อ)

ประชากร	สุรاخันธ์ชานี			
locus	N	freq_frag	freq_all	freq_all
band_131	100	0	0.00022	0.99978
band_132	100	0.06	0.03065	0.96935
band_133	100	0	0.00022	0.99978
band_134	100	0	0.00022	0.99978
band_135	100	0	0.00022	0.99978
band_136	100	0	0.00022	0.99978
band_137	100	0	0.00022	0.99978
band_138	100	0	0.00022	0.99978
band_139	100	0	0.00022	0.99978
band_140	100	0	0.00022	0.99978
band_141	100	0	0.00022	0.99978
band_142	100	0	0.00022	0.99978
band_143	100	0	0.00022	0.99978
band_144	100	0.88	0.65218	0.34782
band_145	100	0	0.00022	0.99978
band_146	100	0	0.00022	0.99978
band_147	100	0	0.00022	0.99978
band_148	100	0	0.00022	0.99978
band_149	100	0	0.00022	0.99978
band_150	100	0.96	0.79712	0.20288
band_151	100	0	0.00022	0.99978
band_152	100	0	0.00022	0.99978
band_153	100	0	0.00022	0.99978
band_154	100	0	0.00022	0.99978
band_155	100	1	0.95496	0.04504
band_156	100	0	0.00022	0.99978

ตารางผนวกที่ ก1 (ต่อ)

ประชากร	สุรاخันธ์ชานี			
locus	N	freq_frag	freq_all	freq_-all
band_157	100	0.98	0.85419	0.14581
band_158	100	0	0.00022	0.99978
band_159	100	0.99	0.89327	0.10673
band_160	100	0	0.00022	0.99978
band_161	100	0	0.00022	0.99978
band_162	100	0	0.00022	0.99978
band_163	100	0	0.00022	0.99978
band_164	100	0	0.00022	0.99978
band_165	100	0	0.00022	0.99978
band_166	100	0	0.00022	0.99978
band_167	100	0	0.00022	0.99978
band_168	100	0	0.00022	0.99978
band_169	100	0	0.00022	0.99978
band_170	100	0	0.00022	0.99978
band_171	100	0	0.00022	0.99978
band_172	100	0	0.00022	0.99978
band_173	100	0	0.00022	0.99978
band_174	100	0	0.00022	0.99978
band_175	100	0	0.00022	0.99978
band_176	100	0	0.00022	0.99978
band_177	100	0	0.00022	0.99978
band_178	100	0	0.00022	0.99978
band_179	100	0	0.00022	0.99978
band_180	100	0	0.00022	0.99978
band_181	100	0	0.00022	0.99978
band_182	100	0	0.00022	0.99978

ตารางผนวกที่ ค1 (ต่อ)

ประชากร	สุรายกุชานี			
locus	N	freq_frag	freq_all	freq_all
band_183	100	0	0.00022	0.99978
band_184	100	0	0.00022	0.99978
band_185	100	0	0.00022	0.99978
band_186	100	0	0.00022	0.99978
band_187	100	0	0.00022	0.99978
band_188	100	0	0.00022	0.99978
band_189	100	0	0.00022	0.99978
band_190	100	0	0.00022	0.99978
band_191	100	0	0.00022	0.99978
band_192	100	0	0.00022	0.99978
band_193	100	0	0.00022	0.99978
band_194	100	0	0.00022	0.99978
band_195	100	0	0.00022	0.99978
band_196	100	0.1	0.05146	0.94854
band_197	100	0	0.00022	0.99978
band_198	100	0	0.00022	0.99978
band_199	100	0	0.00022	0.99978
band_200	100	0	0.00022	0.99978
band_201	100	0	0.00022	0.99978
band_202	100	0	0.00022	0.99978
band_203	100	0	0.00022	0.99978
band_204	100	0	0.00022	0.99978
band_205	100	1	0.95496	0.04504
band_206	100	0.02	0.01027	0.98973
band_207	100	0.01	0.00521	0.99479
band_208	100	0	0.00022	0.99978

ตารางผนวกที่ ก1 (ต่อ)

ประชากร	สุรاخันธ์ชานี			
locus	N	freq_frag	freq_all	freq_all
band_209	100	0.05	0.02552	0.97448
band_210	100	0.13	0.06739	0.93261
band_211	100	0	0.00022	0.99978
band_212	100	0.08	0.04101	0.95899
band_213	100	0.02	0.01027	0.98973
band_214	100	0	0.00022	0.99978
band_215	100	0.42	0.23826	0.76174
band_216	100	0.43	0.24485	0.75515
band_217	100	0.16	0.08359	0.91641
band_218	100	0.25	0.134	0.866
band_219	100	0.01	0.00521	0.99479
band_220	100	0	0.00022	0.99978
band_221	100	0.02	0.01027	0.98973
band_222	100	0.07	0.03579	0.96421
band_223	100	0.01	0.00521	0.99479
band_224	100	0.15	0.07815	0.92185
band_225	100	0	0.00022	0.99978
band_226	100	0.18	0.09454	0.90546
band_227	100	0.01	0.00521	0.99479
band_228	100	0.73	0.47967	0.52033
band_229	100	0.01	0.00521	0.99479
band_230	100	0	0.00022	0.99978
band_231	100	0	0.00022	0.99978
band_232	100	0	0.00022	0.99978
band_233	100	0	0.00022	0.99978
band_234	100	0	0.00022	0.99978

ตารางผนวกที่ ค1 (ต่อ)

ประชากร	สุร้ายถั่วชานี			
locus	N	freq_frag	freq_all	freq_all
band_235	100	0	0.00022	0.99978
band_236	100	0.29	0.15736	0.84264
band_237	100	0.67	0.42499	0.57501
band_238	100	0	0.00022	0.99978
band_239	100	0	0.00022	0.99978
band_240	100	0	0.00022	0.99978
band_241	100	0	0.00022	0.99978
band_242	100	0	0.00022	0.99978
band_243	100	0	0.00022	0.99978
band_244	100	0.23	0.12256	0.87744
band_245	100	0.09	0.0462	0.9538
band_246	100	0	0.00022	0.99978
band_247	100	0	0.00022	0.99978
band_248	100	0.15	0.07815	0.92185
band_249	100	0	0.00022	0.99978
band_250	100	0	0.00022	0.99978
band_251	100	0	0.00022	0.99978
band_252	100	0	0.00022	0.99978
band_253	100	0	0.00022	0.99978
band_254	100	0	0.00022	0.99978
band_255	100	0	0.00022	0.99978
band_256	100	0	0.00022	0.99978
band_257	100	0	0.00022	0.99978
band_258	100	0	0.00022	0.99978
band_259	100	0.02	0.01027	0.98973
band_260	100	0.01	0.00521	0.99479

ตารางผนวกที่ ค1 (ต่อ)

ประชากร	สุร้ายถื่น			
locus	N	freq_frag	freq_all	freq_all
band_261	100	0.01	0.00521	0.99479
band_262	100	0	0.00022	0.99978
band_263	100	0.09	0.0462	0.9538
band_264	100	0.33	0.1814	0.8186
band_265	100	0	0.00022	0.99978
band_266	100	0	0.00022	0.99978
band_267	100	0	0.00022	0.99978
band_268	100	0.01	0.00521	0.99479
band_269	100	0.99	0.89327	0.10673
band_270	100	0	0.00022	0.99978
band_271	100	0	0.00022	0.99978
band_272	100	0.83	0.58661	0.41339
band_273	100	0	0.00022	0.99978
band_274	100	0	0.00022	0.99978
band_275	100	0.12	0.06205	0.93795
band_276	100	0	0.00022	0.99978
band_277	100	0.18	0.09454	0.90546
band_278	100	0.12	0.06205	0.93795
band_279	100	0	0.00022	0.99978
band_280	100	0.05	0.02552	0.97448
band_281	100	0	0.00022	0.99978
band_282	100	0	0.00022	0.99978
band_283	100	0	0.00022	0.99978
band_284	100	0.1	0.05146	0.94854
band_285	100	0	0.00022	0.99978
band_286	100	0	0.00022	0.99978

ตารางผนวกที่ ค1 (ต่อ)

ประชากร	สุร้ายชานิ			
locus	N	freq_frag	freq_all	freq_-all
band_287	100	0.19	0.10008	0.89992
band_288	100	0	0.00022	0.99978
band_289	100	0.9	0.68216	0.31784
band_290	100	0.62	0.38311	0.61689
band_291	100	0.08	0.04101	0.95899
band_292	100	0	0.00022	0.99978
band_293	100	0	0.00022	0.99978
band_294	100	0.29	0.15736	0.84264
band_295	100	0.01	0.00521	0.99479
band_296	100	0.96	0.79712	0.20288
band_297	100	0	0.00022	0.99978
band_298	100	0.97	0.82336	0.17664
band_299	100	0.99	0.89327	0.10673
band_300	100	0	0.00022	0.99978

ประชากร	สตูด			
locus	N	freq_frag	freq_all	freq_-all
band_1	100	0	0.00016	0.99984
band_2	100	0	0.00016	0.99984
band_3	100	0	0.00016	0.99984
band_4	100	0	0.00016	0.99984
band_5	100	0	0.00016	0.99984
band_6	100	0.01	0.00518	0.99482
band_7	100	0	0.00016	0.99984
band_8	100	0	0.00016	0.99984
band_9	100	0	0.00016	0.99984

ตารางผนวกที่ ก1 (ต่อ)

ประชากร	สัญลักษณ์	N	freq_frag	freq_all	freq_all
locus					
band_10		100	0	0.00016	0.99984
band_11		100	0.01	0.00518	0.99482
band_12		100	0.18	0.09459	0.90541
band_13		100	0	0.00016	0.99984
band_14		100	0	0.00016	0.99984
band_15		100	0	0.00016	0.99984
band_16		100	0	0.00016	0.99984
band_17		100	0.28	0.15158	0.84842
band_18		100	0.01	0.00518	0.99482
band_19		100	0	0.00016	0.99984
band_20		100	0.01	0.00518	0.99482
band_21		100	0.18	0.09459	0.90541
band_22		100	0	0.00016	0.99984
band_23		100	0.93	0.73504	0.26496
band_24		100	0	0.00016	0.99984
band_25		100	0.86	0.62564	0.37436
band_26		100	0	0.00016	0.99984
band_27		100	0	0.00016	0.99984
band_28		100	1	0.96412	0.03588
band_29		100	0.33	0.18157	0.81843
band_30		100	0	0.00016	0.99984
band_31		100	0	0.00016	0.99984
band_32		100	0	0.00016	0.99984
band_33		100	0	0.00016	0.99984
band_34		100	0	0.00016	0.99984
band_35		100	0	0.00016	0.99984

ตารางผนวกที่ ค1 (ต่อ)

ประชากร	สัญลักษณ์	N	freq_frag	freq_all	freq_-all
locus					
band_36		100	0	0.00016	0.99984
band_37		100	0	0.00016	0.99984
band_38		100	0	0.00016	0.99984
band_39		100	0.01	0.00518	0.99482
band_40		100	0	0.00016	0.99984
band_41		100	0	0.00016	0.99984
band_42		100	0	0.00016	0.99984
band_43		100	0	0.00016	0.99984
band_44		100	0.08	0.04101	0.95899
band_45		100	0	0.00016	0.99984
band_46		100	0.03	0.0153	0.9847
band_47		100	0	0.00016	0.99984
band_48		100	0	0.00016	0.99984
band_49		100	0	0.00016	0.99984
band_50		100	0.05	0.02549	0.97451
band_51		100	0	0.00016	0.99984
band_52		100	0	0.00016	0.99984
band_53		100	0.07	0.03582	0.96418
band_54		100	0.14	0.07278	0.92722
band_55		100	0	0.00016	0.99984
band_56		100	0	0.00016	0.99984
band_57		100	0.02	0.01024	0.98976
band_58		100	0.04	0.02036	0.97964
band_59		100	0.08	0.04101	0.95899
band_60		100	0	0.00016	0.99984
band_61		100	0.02	0.01024	0.98976

ตารางผนวกที่ ค1 (ต่อ)

ประชากร	สูตร			
locus	N	freq_frag	freq_all	freq_all
band_62	100	0.66	0.41688	0.58312
band_63	100	0	0.00016	0.99984
band_64	100	0.38	0.21269	0.78731
band_65	100	1	0.96412	0.03588
band_66	100	0	0.00016	0.99984
band_67	100	0	0.00016	0.99984
band_68	100	0	0.00016	0.99984
band_69	100	1	0.96412	0.03588
band_70	100	0	0.00016	0.99984
band_71	100	0	0.00016	0.99984
band_72	100	0	0.00016	0.99984
band_73	100	0	0.00016	0.99984
band_74	100	0	0.00016	0.99984
band_75	100	0	0.00016	0.99984
band_76	100	0	0.00016	0.99984
band_77	100	0	0.00016	0.99984
band_78	100	0	0.00016	0.99984
band_79	100	1	0.96412	0.03588
band_80	100	0	0.00016	0.99984
band_81	100	0	0.00016	0.99984
band_82	100	0	0.00016	0.99984
band_83	100	0	0.00016	0.99984
band_84	100	0	0.00016	0.99984
band_85	100	0	0.00016	0.99984
band_86	100	1	0.96412	0.03588
band_87	100	0	0.00016	0.99984

ตารางผนวกที่ ค1 (ต่อ)

ประชากร	สัญลักษณ์	N	freq_frag	freq_all	freq_all
locus					
band_88		100	1	0.96412	0.03588
band_89		100	0	0.00016	0.99984
band_90		100	0	0.00016	0.99984
band_91		100	0	0.00016	0.99984
band_92		100	0	0.00016	0.99984
band_93		100	0	0.00016	0.99984
band_94		100	0	0.00016	0.99984
band_95		100	0	0.00016	0.99984
band_96		100	0	0.00016	0.99984
band_97		100	0	0.00016	0.99984
band_98		100	0	0.00016	0.99984
band_99		100	0	0.00016	0.99984
band_100		100	0	0.00016	0.99984
band_101		100	0	0.00016	0.99984
band_102		100	0	0.00016	0.99984
band_103		100	0	0.00016	0.99984
band_104		100	0	0.00016	0.99984
band_105		100	0	0.00016	0.99984
band_106		100	0	0.00016	0.99984
band_107		100	0	0.00016	0.99984
band_108		100	0	0.00016	0.99984
band_109		100	0	0.00016	0.99984
band_110		100	0	0.00016	0.99984
band_111		100	0	0.00016	0.99984
band_112		100	0	0.00016	0.99984
band_113		100	0.09	0.04623	0.95377

ตารางผนวกที่ ค1 (ต่อ)

ประชากร	สูตร	N	freq_frag	freq_all	freq_all
locus					
band_114		100	0.44	0.25175	0.74825
band_115		100	0	0.00016	0.99984
band_116		100	0	0.00016	0.99984
band_117		100	0	0.00016	0.99984
band_118		100	0.12	0.06205	0.93795
band_119		100	0.09	0.04623	0.95377
band_120		100	0	0.00016	0.99984
band_121		100	0	0.00016	0.99984
band_122		100	0.13	0.06742	0.93258
band_123		100	0.71	0.46143	0.53857
band_124		100	0	0.00016	0.99984
band_125		100	0.07	0.03582	0.96418
band_126		100	0	0.00016	0.99984
band_127		100	0.01	0.00518	0.99482
band_128		100	0.07	0.03582	0.96418
band_129		100	0	0.00016	0.99984
band_130		100	0.51	0.30005	0.69995
band_131		100	0.63	0.39173	0.60827
band_132		100	0	0.00016	0.99984
band_133		100	0.21	0.11129	0.88871
band_134		100	0	0.00016	0.99984
band_135		100	0	0.00016	0.99984
band_136		100	0	0.00016	0.99984
band_137		100	0	0.00016	0.99984
band_138		100	0	0.00016	0.99984
band_139		100	0	0.00016	0.99984

ตารางผนวกที่ ค1 (ต่อ)

ประชากร	สัญลักษณ์	N	freq_frag	freq_all	freq_-all
locus					
band_140		100	0	0.00016	0.99984
band_141		100	0	0.00016	0.99984
band_142		100	0.24	0.12833	0.87167
band_143		100	0	0.00016	0.99984
band_144		100	0	0.00016	0.99984
band_145		100	0	0.00016	0.99984
band_146		100	0	0.00016	0.99984
band_147		100	0	0.00016	0.99984
band_148		100	0	0.00016	0.99984
band_149		100	0.59	0.3597	0.6403
band_150		100	0	0.00016	0.99984
band_151		100	0.7	0.45225	0.54775
band_152		100	0	0.00016	0.99984
band_153		100	0.19	0.10012	0.89988
band_154		100	0	0.00016	0.99984
band_155		100	1	0.96412	0.03588
band_156		100	0	0.00016	0.99984
band_157		100	1	0.96412	0.03588
band_158		100	0	0.00016	0.99984
band_159		100	1	0.96412	0.03588
band_160		100	1	0.96412	0.03588
band_161		100	0	0.00016	0.99984
band_162		100	0	0.00016	0.99984
band_163		100	0.27	0.14571	0.85429
band_164		100	0	0.00016	0.99984
band_165		100	0	0.00016	0.99984

ตารางผนวกที่ ค1 (ต่อ)

ประชากร	สัญญาณ	N	freq_frag	freq_all	freq_all
locus					
band_140		100	0	0.00016	0.99984
band_167		100	0	0.00016	0.99984
band_168		100	0	0.00016	0.99984
band_169		100	0	0.00016	0.99984
band_170		100	0	0.00016	0.99984
band_171		100	0	0.00016	0.99984
band_172		100	0	0.00016	0.99984
band_173		100	0	0.00016	0.99984
band_174		100	0	0.00016	0.99984
band_175		100	0	0.00016	0.99984
band_176		100	0	0.00016	0.99984
band_177		100	0	0.00016	0.99984
band_178		100	0.04	0.02036	0.97964
band_179		100	0.01	0.00518	0.99482
band_180		100	0	0.00016	0.99984
band_181		100	0	0.00016	0.99984
band_182		100	0.15	0.07817	0.92183
band_183		100	0	0.00016	0.99984
band_184		100	0.01	0.00518	0.99482
band_185		100	0.1	0.05146	0.94854
band_186		100	0.18	0.09459	0.90541
band_187		100	0.02	0.01024	0.98976
band_188		100	0.05	0.02549	0.97451
band_189		100	0	0.00016	0.99984
band_190		100	0.02	0.01024	0.98976
band_191		100	0.68	0.43429	0.56571

ตารางผนวกที่ ก1 (ต่อ)

ประชากร	สูตร			
locus	N	freq_frag	freq_all	freq_all
band_192	100	0	0.00016	0.99984
band_193	100	0	0.00016	0.99984
band_194	100	0.01	0.00518	0.99482
band_195	100	0.83	0.58754	0.41246
band_196	100	0	0.00016	0.99984
band_197	100	0	0.00016	0.99984
band_198	100	0.01	0.00518	0.99482
band_199	100	0.8	0.55266	0.44734
band_200	100	0	0.00016	0.99984
band_201	100	0	0.00016	0.99984
band_202	100	0	0.00016	0.99984
band_203	100	0	0.00016	0.99984
band_204	100	0	0.00016	0.99984
band_205	100	0.32	0.1755	0.8245
band_206	100	0	0.00016	0.99984
band_207	100	0	0.00016	0.99984
band_208	100	0	0.00016	0.99984
band_209	100	0	0.00016	0.99984
band_210	100	0	0.00016	0.99984
band_211	100	0	0.00016	0.99984
band_212	100	0.13	0.06742	0.93258
band_213	100	0.99	0.89767	0.10233
band_214	100	0.01	0.00518	0.99482
band_215	100	0.81	0.56398	0.43602
band_216	100	0	0.00016	0.99984
band_217	100	0	0.00016	0.99984

ตารางผนวกที่ ค1 (ต่อ)

ประชากร locus	สูตร N	freq_frag	freq_all	freq_-all
band_218	100	0	0.00016	0.99984
band_219	100	0	0.00016	0.99984
band_220	100	0	0.00016	0.99984
band_221	100	0.12	0.06205	0.93795
band_222	100	0	0.00016	0.99984
band_223	100	0	0.00016	0.99984
band_224	100	0	0.00016	0.99984
band_225	100	0	0.00016	0.99984
band_226	100	0.01	0.00518	0.99482
band_227	100	0.94	0.75461	0.24539
band_228	100	0	0.00016	0.99984
band_229	100	0	0.00016	0.99984
band_230	100	0	0.00016	0.99984
band_231	100	0	0.00016	0.99984
band_232	100	0	0.00016	0.99984
band_233	100	0	0.00016	0.99984
band_234	100	0	0.00016	0.99984
band_235	100	0.01	0.00518	0.99482
band_236	100	0.99	0.89767	0.10233
band_237	100	0	0.00016	0.99984
band_238	100	0	0.00016	0.99984
band_239	100	0	0.00016	0.99984
band_240	100	0	0.00016	0.99984
band_241	100	0	0.00016	0.99984
band_242	100	0	0.00016	0.99984
band_243	100	0	0.00016	0.99984

ตารางผนวกที่ ค1 (ต่อ)

ประชากร	ตชด			
locus	N	freq_frag	freq_all	freq_-all
band_244	100	0	0.00016	0.99984
band_245	100	0	0.00016	0.99984
band_246	100	0	0.00016	0.99984
band_247	100	0	0.00016	0.99984
band_248	100	0	0.00016	0.99984
band_249	100	0	0.00016	0.99984
band_250	100	0	0.00016	0.99984
band_251	100	0	0.00016	0.99984
band_252	100	0	0.00016	0.99984
band_253	100	0	0.00016	0.99984
band_254	100	0	0.00016	0.99984
band_255	100	0	0.00016	0.99984
band_256	100	0	0.00016	0.99984
band_257	100	0	0.00016	0.99984
band_258	100	0	0.00016	0.99984
band_259	100	0	0.00016	0.99984
band_260	100	0.03	0.0153	0.9847
band_261	100	0	0.00016	0.99984
band_262	100	0	0.00016	0.99984
band_263	100	0	0.00016	0.99984
band_264	100	0.09	0.04623	0.95377
band_265	100	0	0.00016	0.99984
band_266	100	0	0.00016	0.99984
band_267	100	0.01	0.00518	0.99482
band_268	100	0.98	0.85738	0.14262
band_269	100	0.01	0.00518	0.99482

ตารางผนวกที่ ค1 (ต่อ)

ประชากร	สูตร	N	freq_frag	freq_all	freq_all
locus					
band_270		100	0.99	0.89767	0.10233
band_271		100	0	0.00016	0.99984
band_272		100	1	0.96412	0.03588
band_273		100	0	0.00016	0.99984
band_274		100	0	0.00016	0.99984
band_275		100	0	0.00016	0.99984
band_276		100	0	0.00016	0.99984
band_277		100	0	0.00016	0.99984
band_278		100	0	0.00016	0.99984
band_279		100	0	0.00016	0.99984
band_280		100	0	0.00016	0.99984
band_281		100	0	0.00016	0.99984
band_282		100	0	0.00016	0.99984
band_283		100	0	0.00016	0.99984
band_284		100	0.03	0.0153	0.9847
band_285		100	0.04	0.02036	0.97964
band_286		100	0	0.00016	0.99984
band_287		100	0.02	0.01024	0.98976
band_288		100	0	0.00016	0.99984
band_289		100	0.32	0.1755	0.8245
band_290		100	0.82	0.5756	0.4244
band_291		100	0	0.00016	0.99984
band_292		100	0	0.00016	0.99984
band_293		100	0.45	0.25845	0.74155
band_294		100	0	0.00016	0.99984
band_295		100	0	0.00016	0.99984

ตารางผนวกที่ ค1 (ต่อ)

ประชากร	สูตร			
locus	N	freq_frag	freq_all	freq_all
band_296	100	1	0.96412	0.03588
band_297	100	0.01	0.00518	0.99482
band_298	100	1	0.96412	0.03588
band_299	100	0	0.00016	0.99984
band_300	100	0.99	0.89767	0.10233

หมายเหตุ: N= sample size

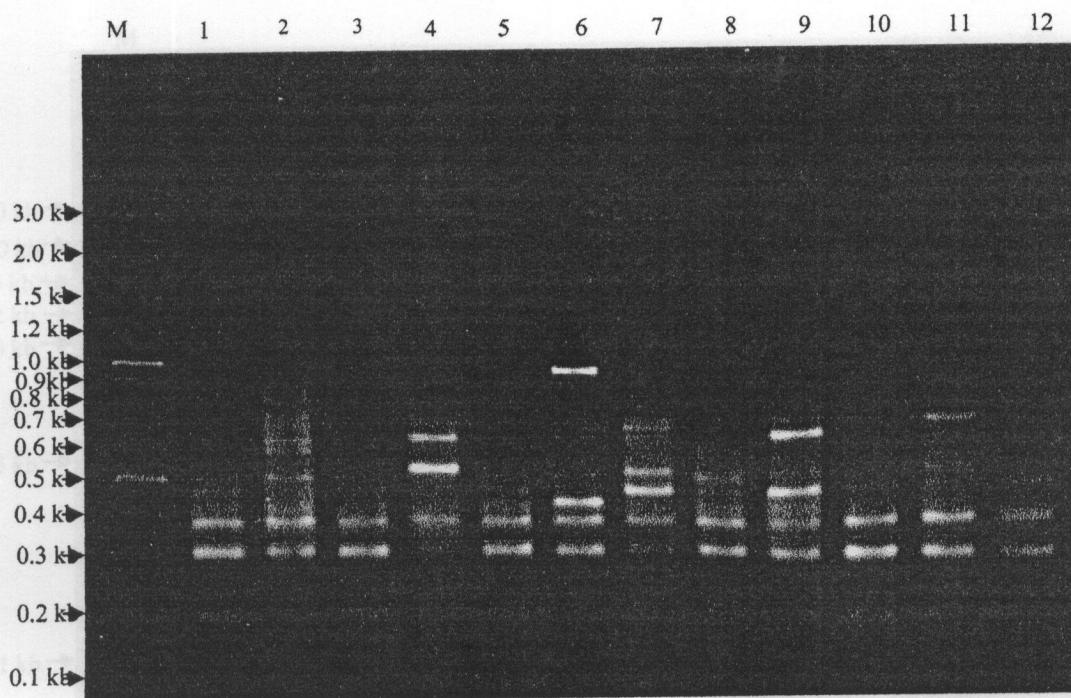
Freq\_frag = Frequency of each ISSR fragment or marker in the total sample (all populations put together) The following statistics are given for each population and each locus

Freq\_all = Estimated frequency of the marker allele

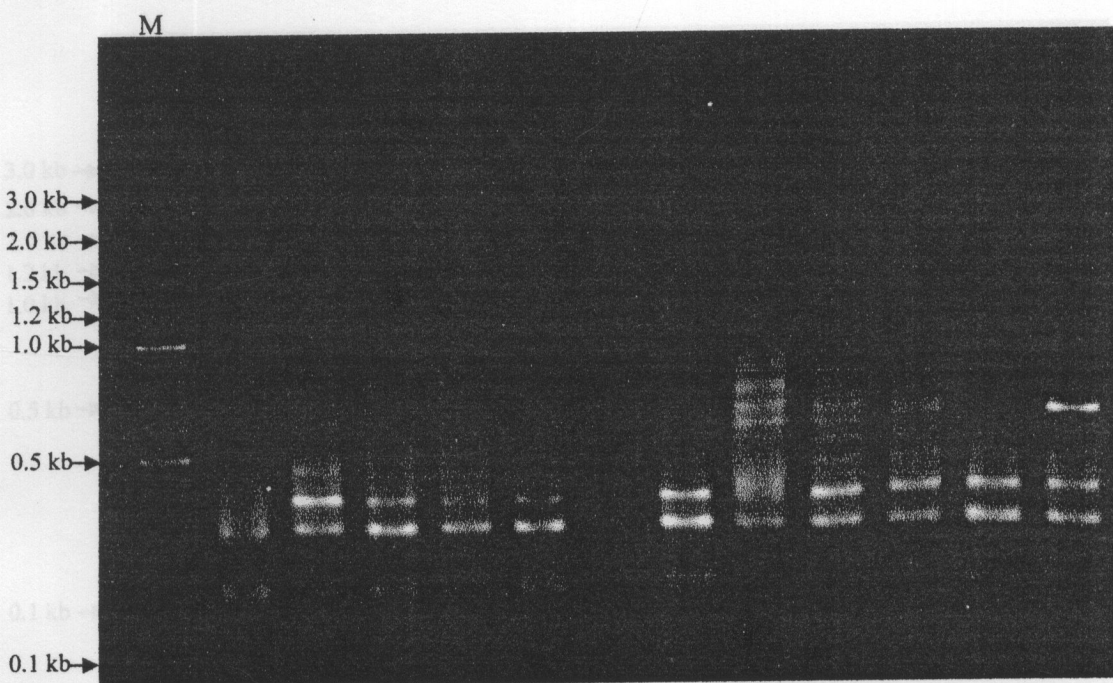
Freq\_all = Estimated frequency of the null allele

### ภาคผนวก ง

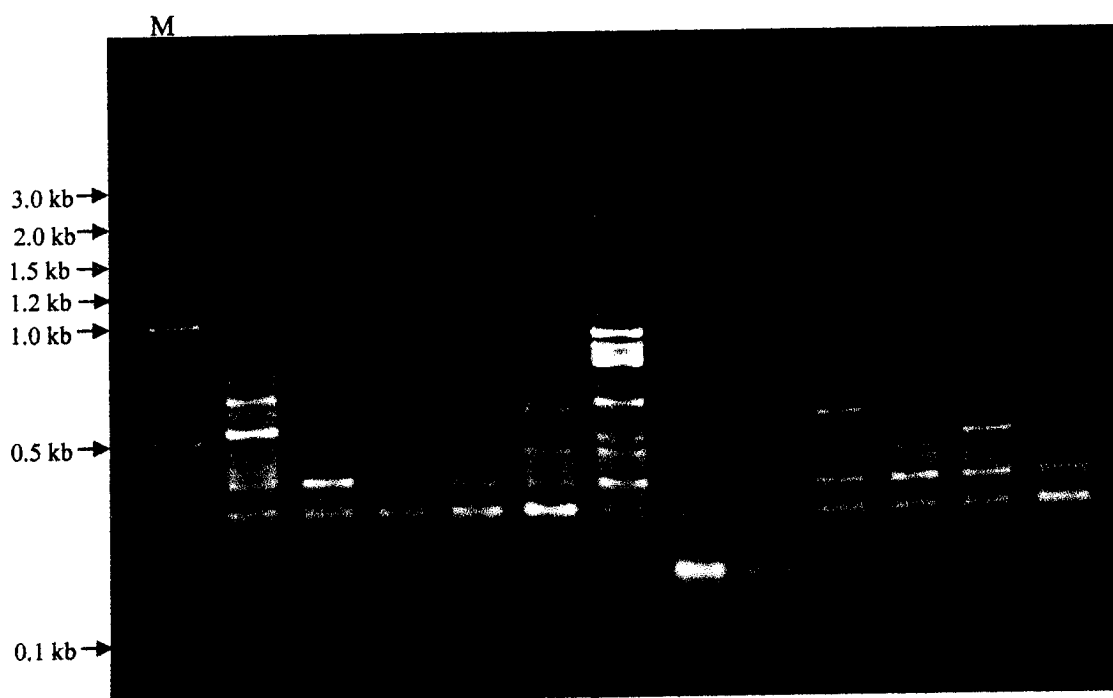
ภาพตัวอย่างแบบอัลลิลิไฟรเมอร์จากการทดลอง



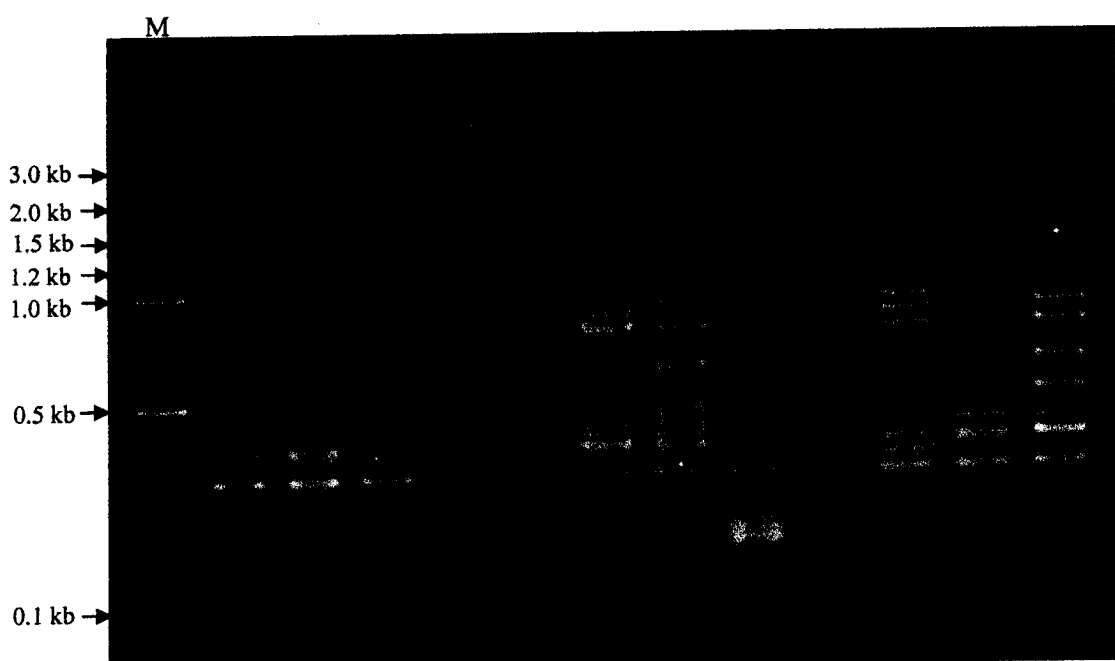
ภาพพนวกที่ ง1 แบบอัลลิลของไพรเมอร์ Primer 1 (SP) 1-12



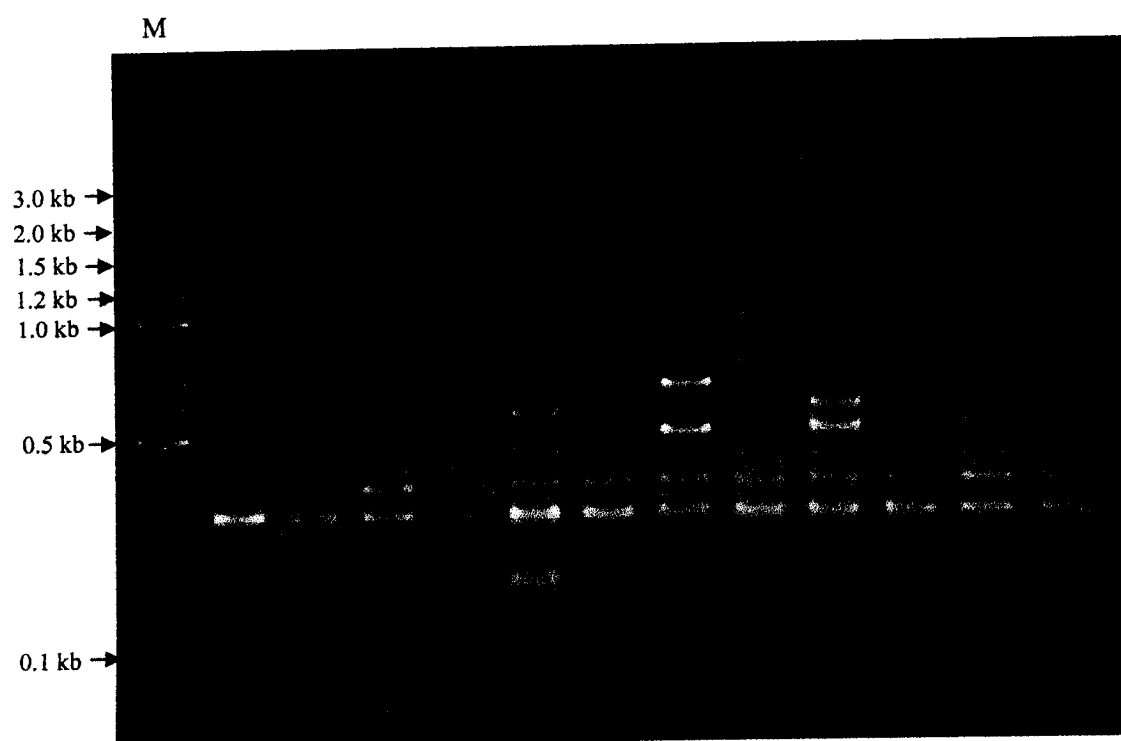
ภาพพนวกที่ ง2 แบบอัลลิลของไพรเมอร์ Primer 1 (SP) 13-24



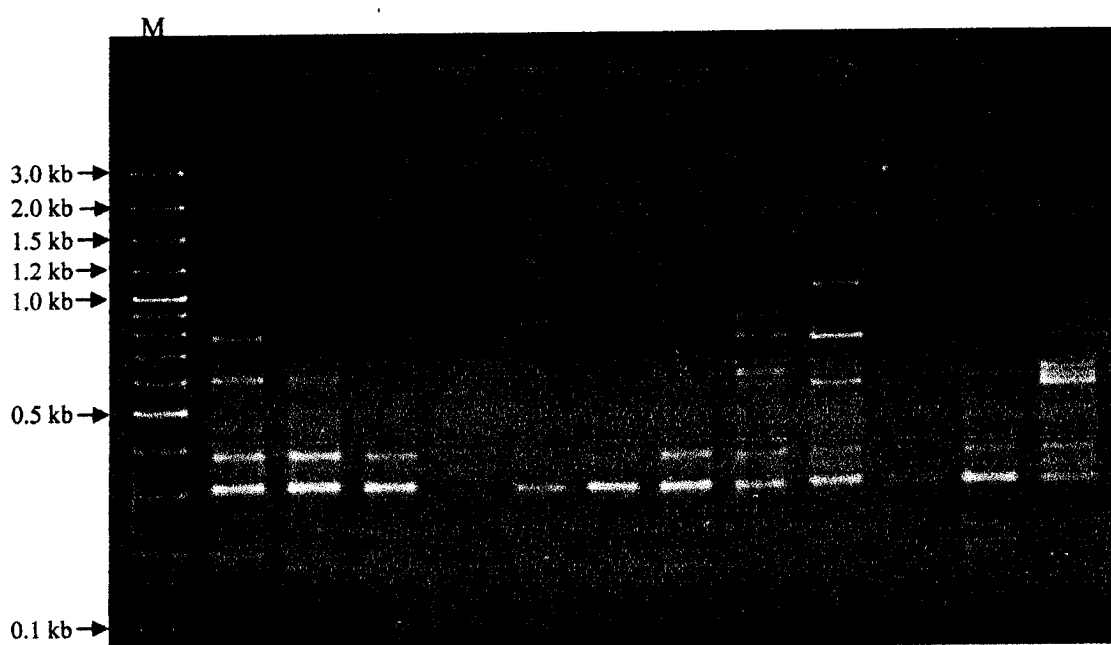
ภาพพนวกที่ ง3 แบบอัลลิลของไพรเมอร์ Primer 1 (SP) 25-36



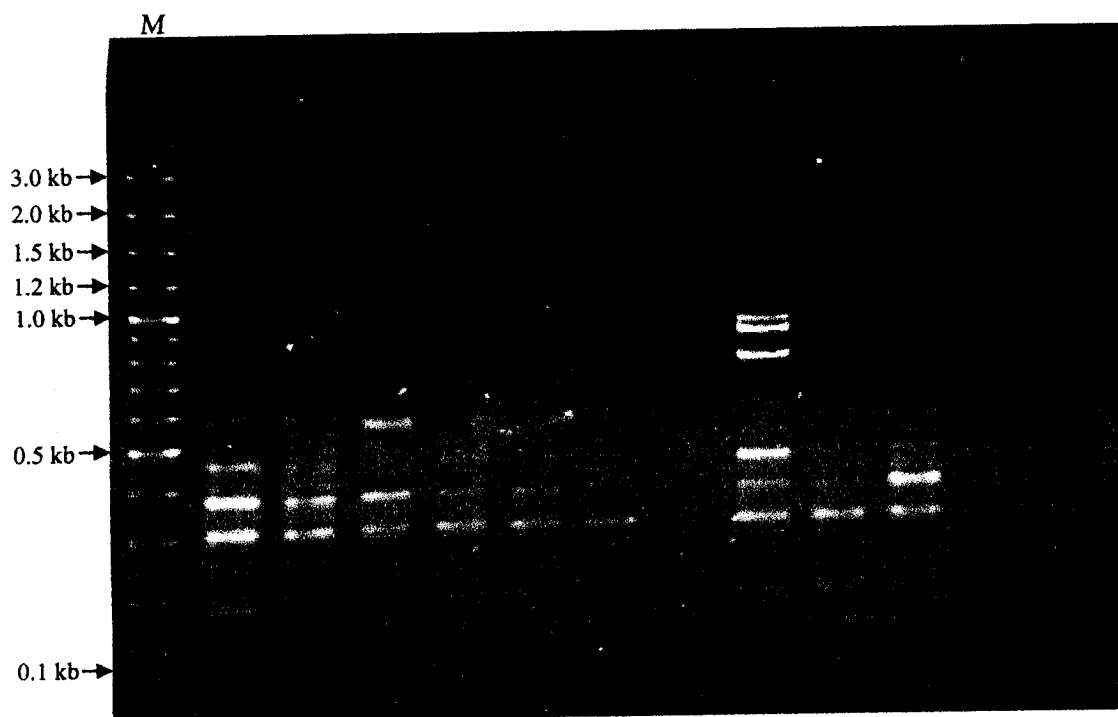
ภาพพนวกที่ ง4 แบบอัลลิลของไพรเมอร์ Primer 1 (SP) 37-48



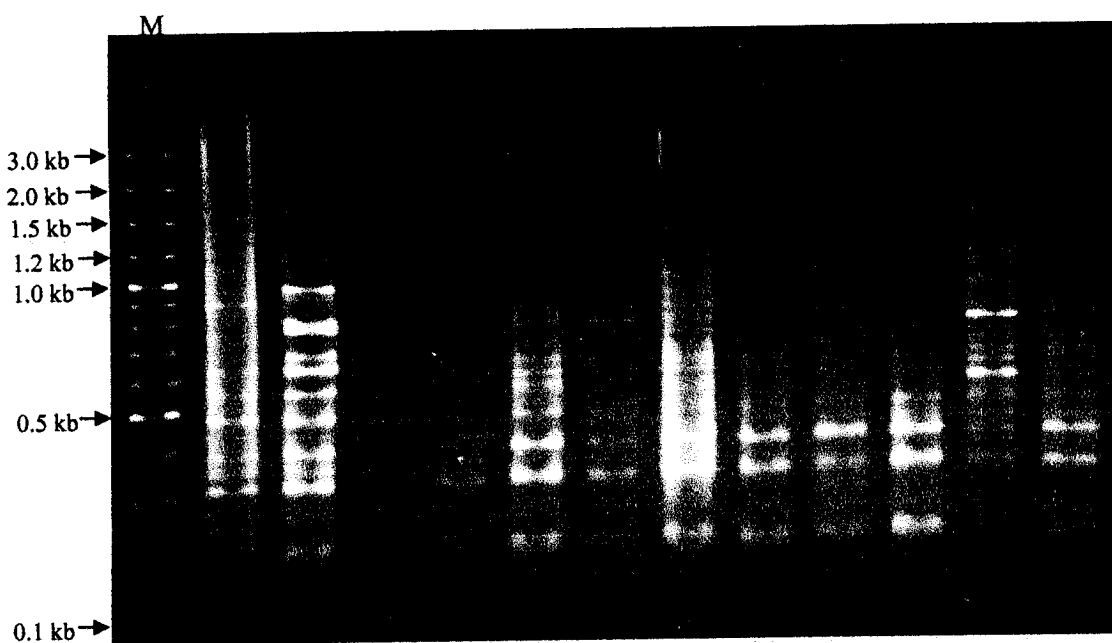
ภาพผนวกที่ ง5 ແນບอัลลิลของไพรเมอร์ Primer 1 (SP) 49-60



ภาพผนวกที่ ง6 ແນບอัลลิลของไพรเมอร์ Primer 1 (SP) 61-72



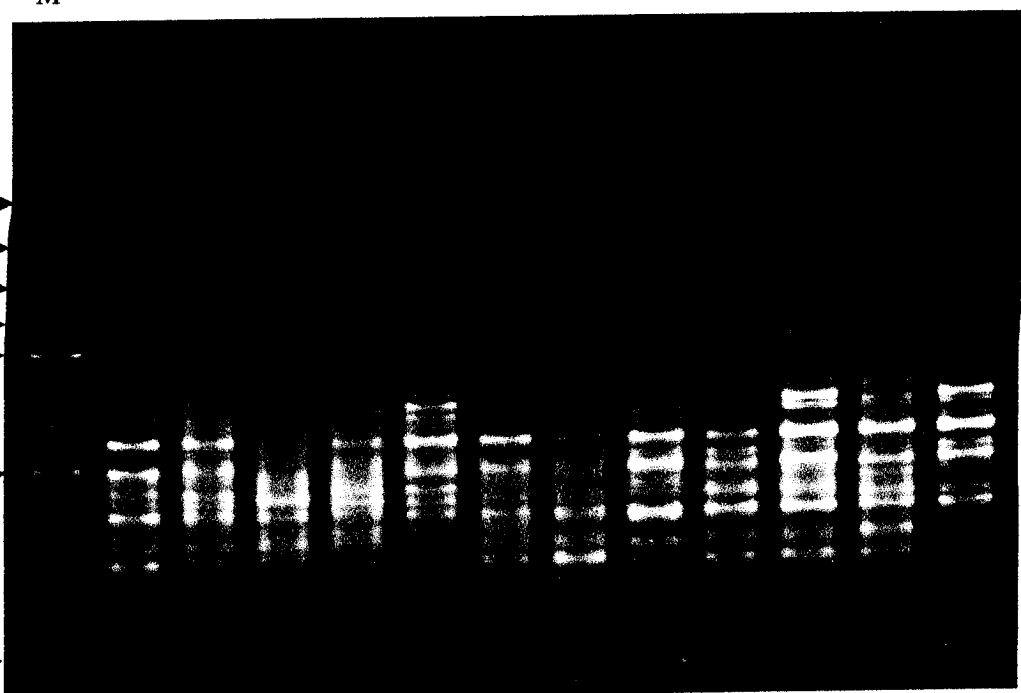
ภาพพนวกที่ ง7 แคนอัลลิลของไพรเมอร์ Primer 1 (SP) 73-84



ภาพพนวกที่ ง8 แคนอัลลิลของไพรเมอร์ Primer 1 (SP) 85-96

M

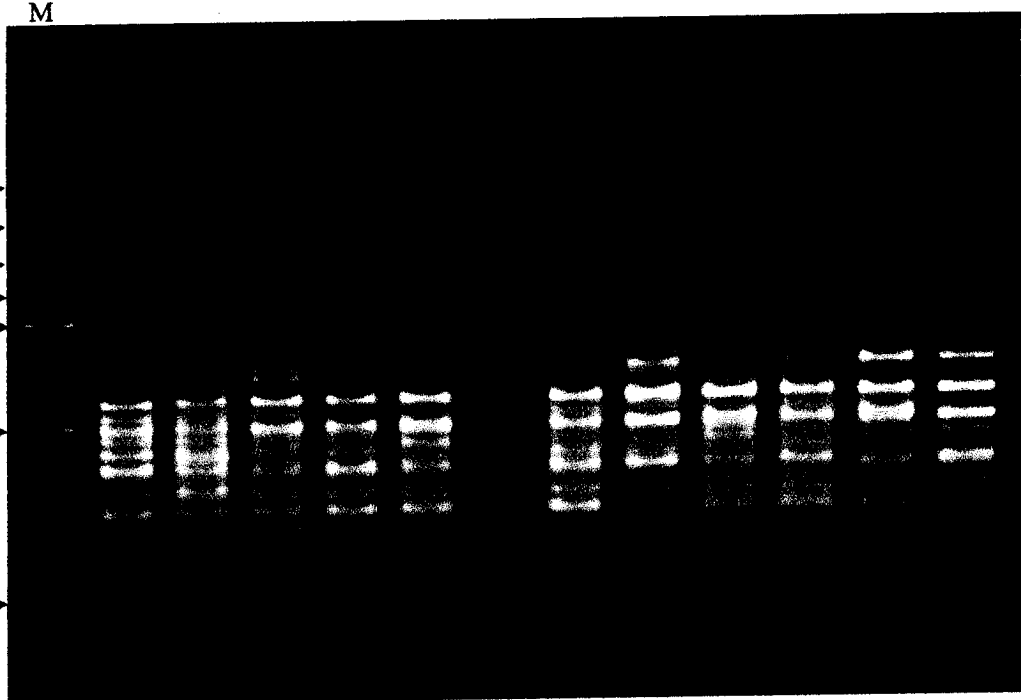
3.0 kb →  
 2.0 kb →  
 1.5 kb →  
 1.2 kb →  
 1.0 kb →  
 0.5 kb →  
 0.1 kb →



ภาพผนวกที่ 9 แบบอัลกิลของไพรเมอร์ Primer ISSR 2 (SP) 1-12

M

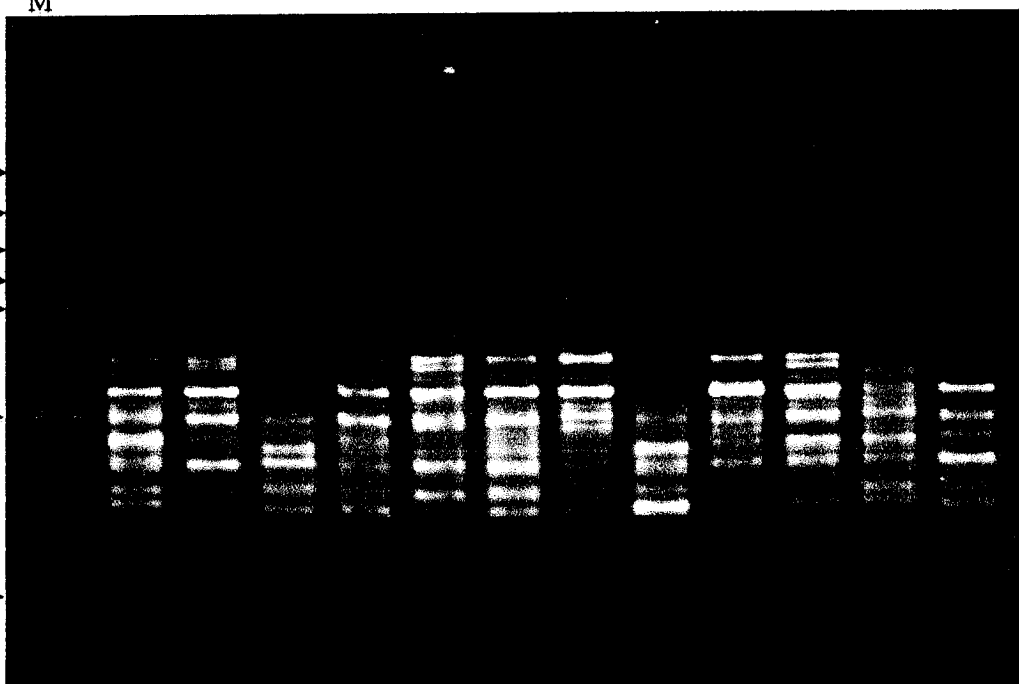
3.0 kb →  
 2.0 kb →  
 1.5 kb →  
 1.2 kb →  
 1.0 kb →  
 0.5 kb →  
 0.1 kb →



ภาพผนวกที่ 10 แบบอัลกิลของไพรเมอร์ Primer ISSR 2 (SP) 13-24

M

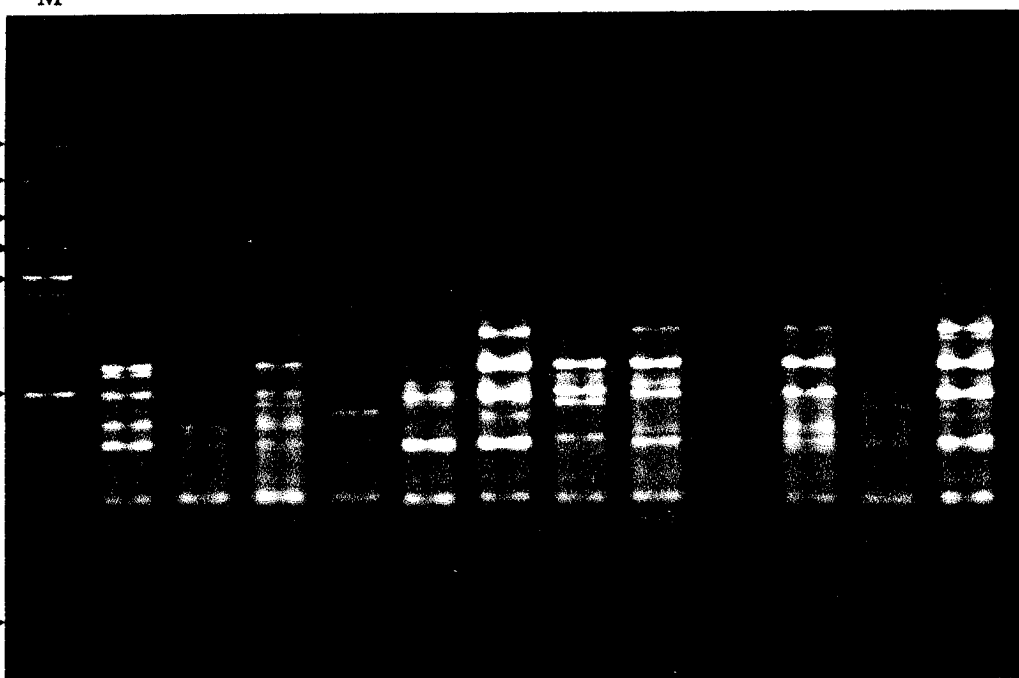
3.0 kb →  
 2.0 kb →  
 1.5 kb →  
 1.2 kb →  
 1.0 kb →  
 0.5 kb →  
 0.1 kb →



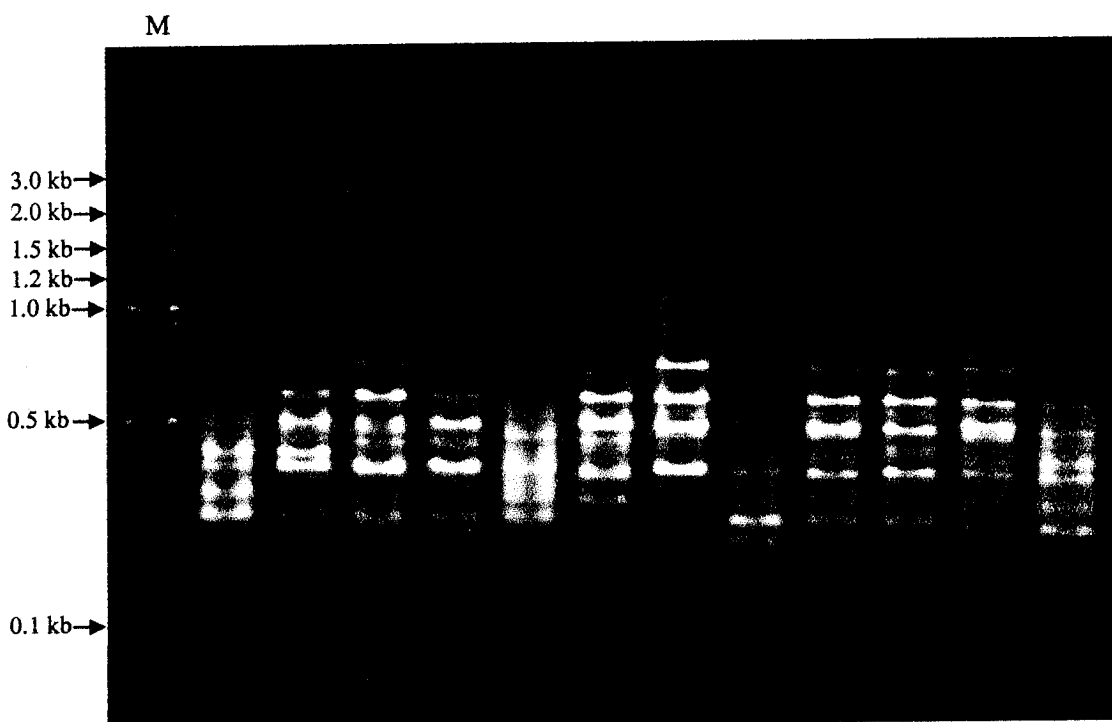
ภาพพนวกที่ 11 ແຜນອัลลิດของไพรเมอร์ Primer ISSR 2 (SP) 25-36

M

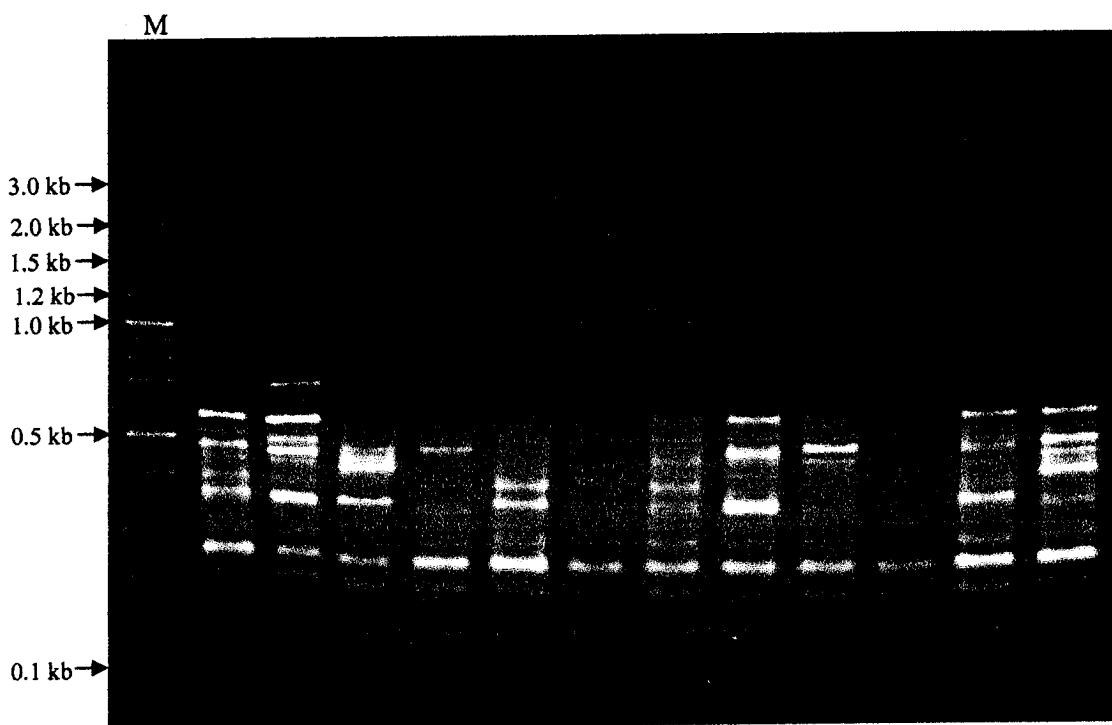
3.0 kb →  
 2.0 kb →  
 1.5 kb →  
 1.2 kb →  
 1.0 kb →  
 0.5 kb →  
 0.1 kb →



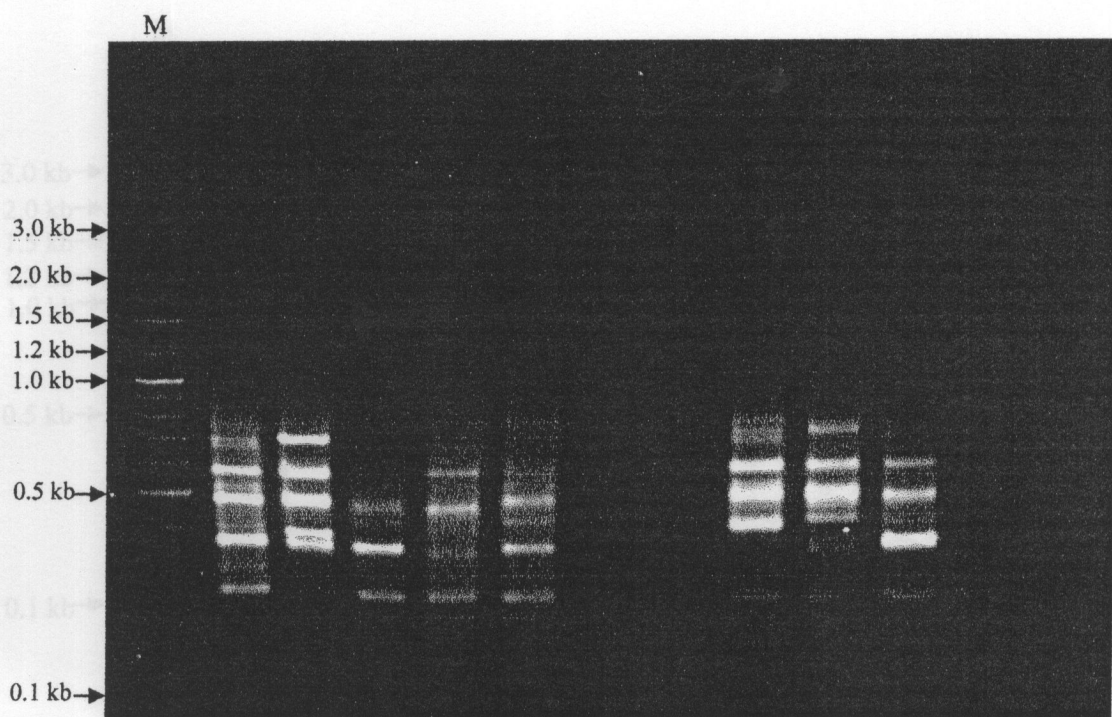
ภาพพนวกที่ 12 ແຜນອัลลิດของไพรเมอร์ Primer ISSR 2 (SP) 37-48



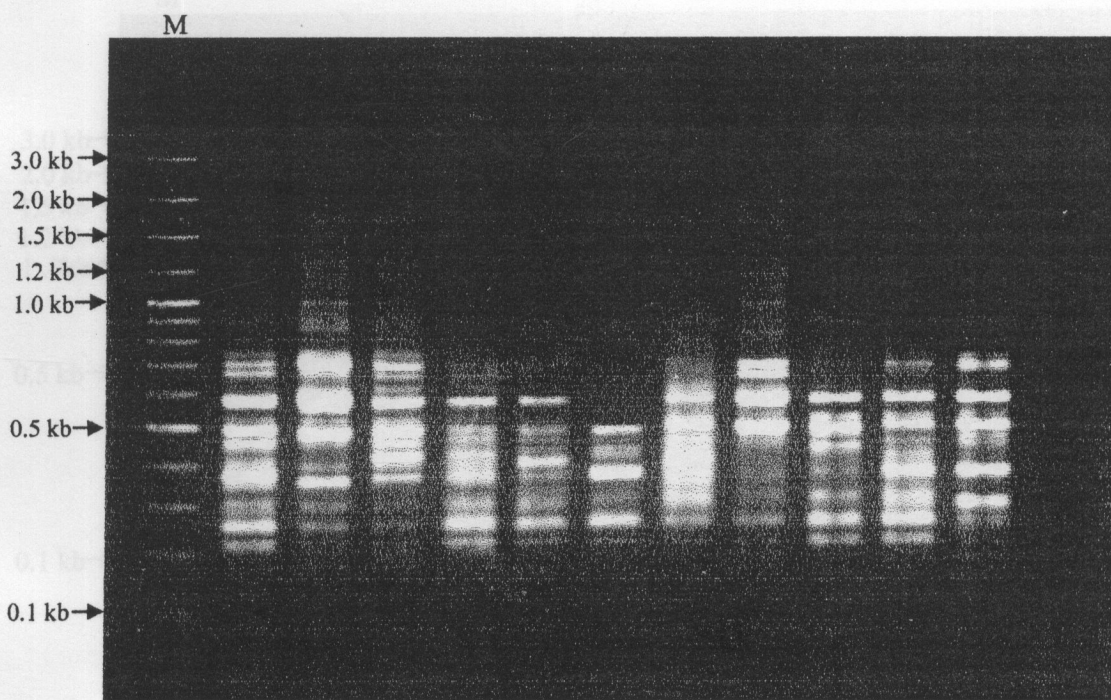
ภาพผนวกที่ ง 13 แบบอัลลิลของไพรเมอร์ Primer ISSR 2 (SP) 49-60



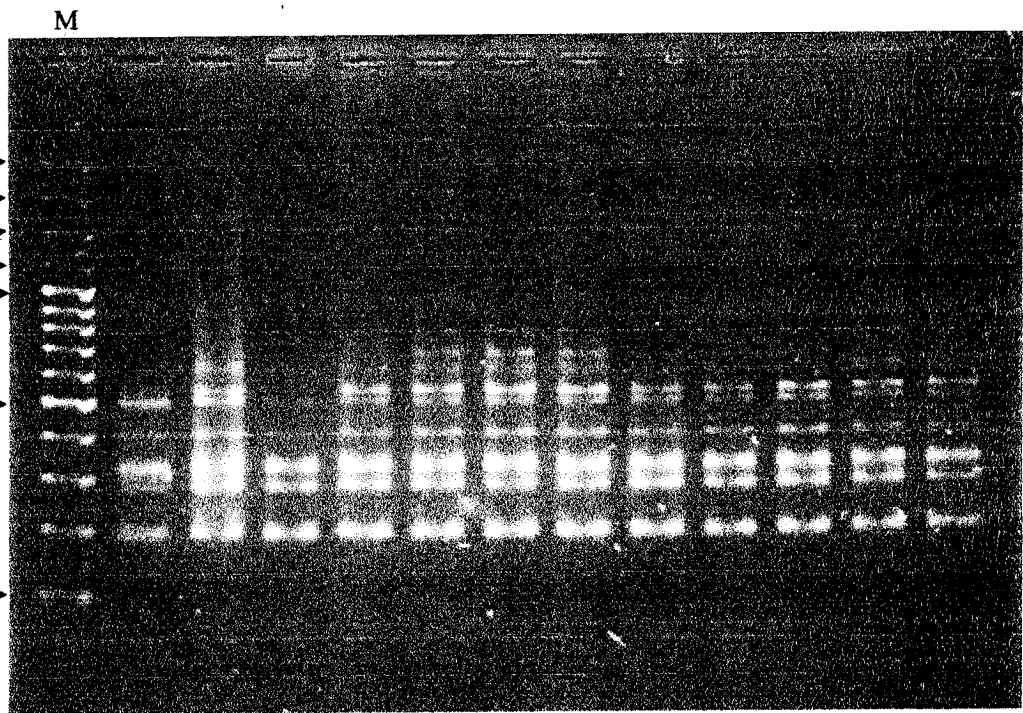
ภาพผนวกที่ ง 14 แบบอัลลิลของไพรเมอร์ Primer ISSR 2 (SP) 61-72



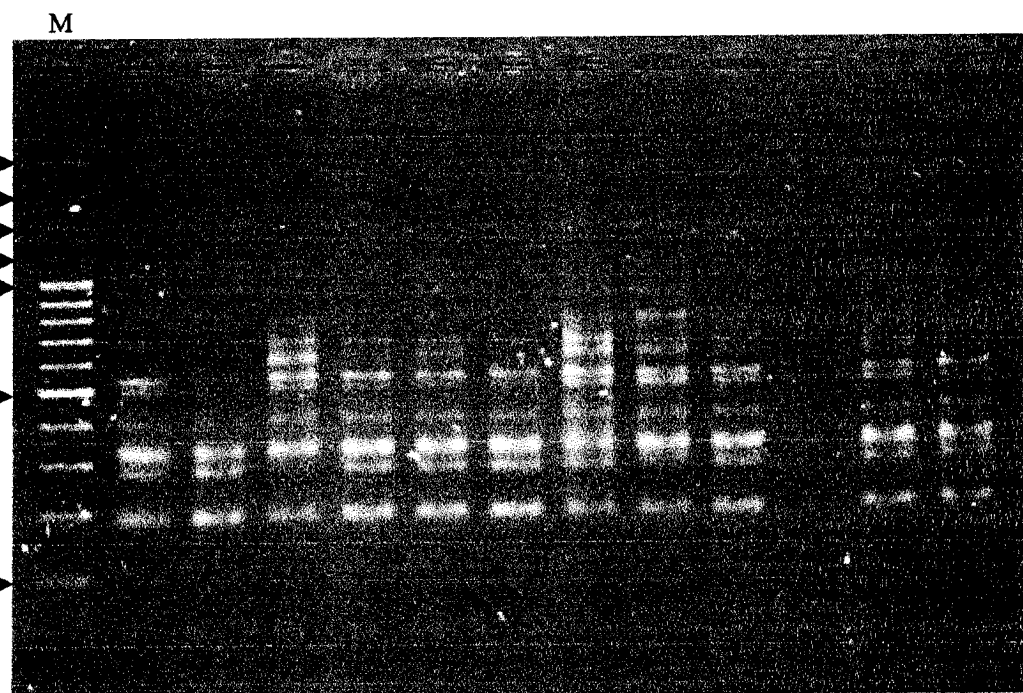
ภาพพนวกที่ ง 15 ແນບອັດລິລຂອງໄພຣເມອ່ວີ Primer ISSR 2 (SP) 73-84



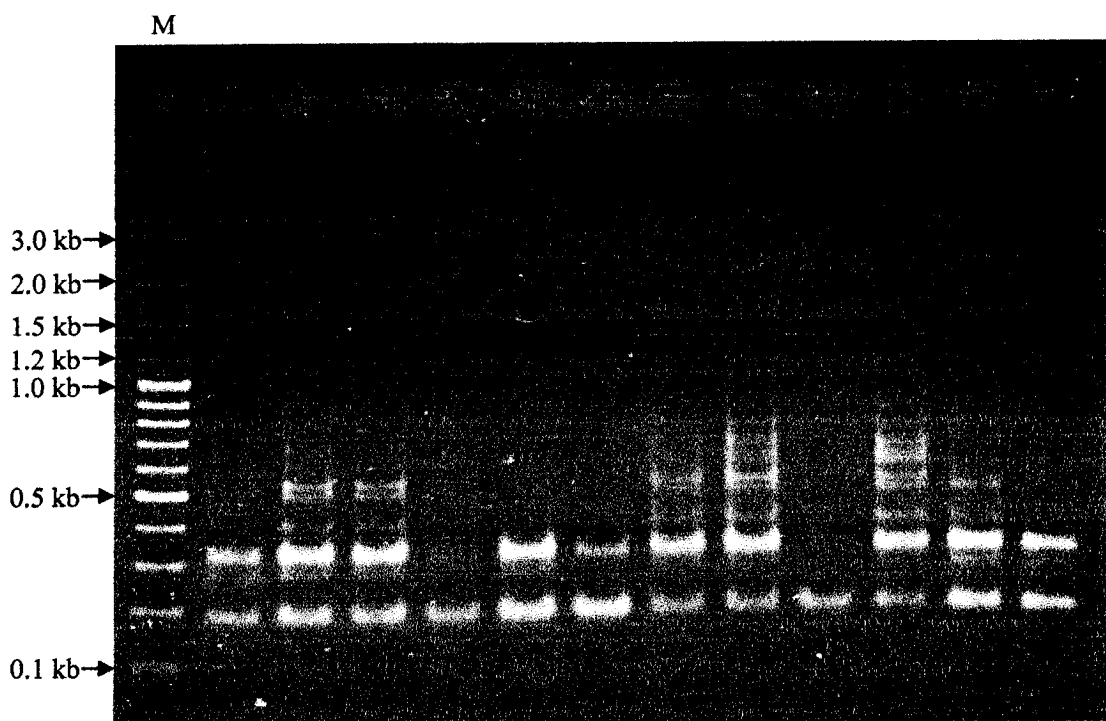
ภาพพนวกที่ ง 16 ແນບອັດລິລຂອງໄພຣເມອ່ວີ Primer ISSR 2 (SP) 85-96



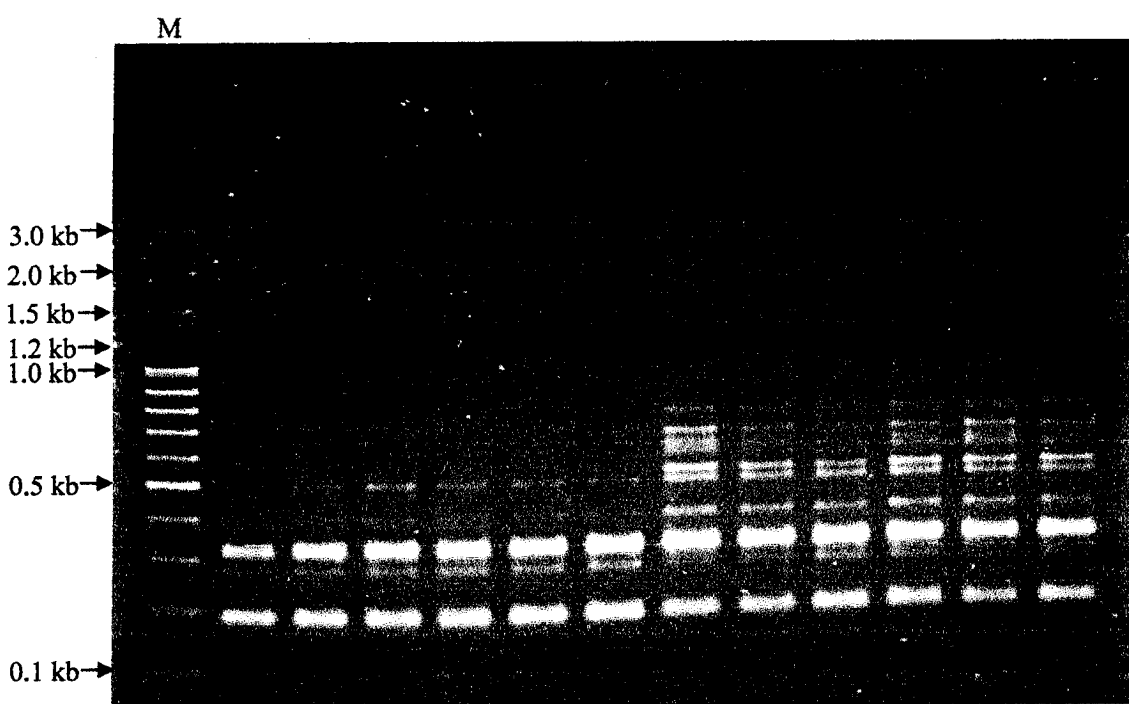
ภาพพนวกที่ 17 แบบอัลกิลของไพรเมอร์ Primer ISSR 9 (SP) 1-12



ภาพพนวกที่ 18 แบบอัลกิลของไพรเมอร์ Primer ISSR 9 (SP) 13-24



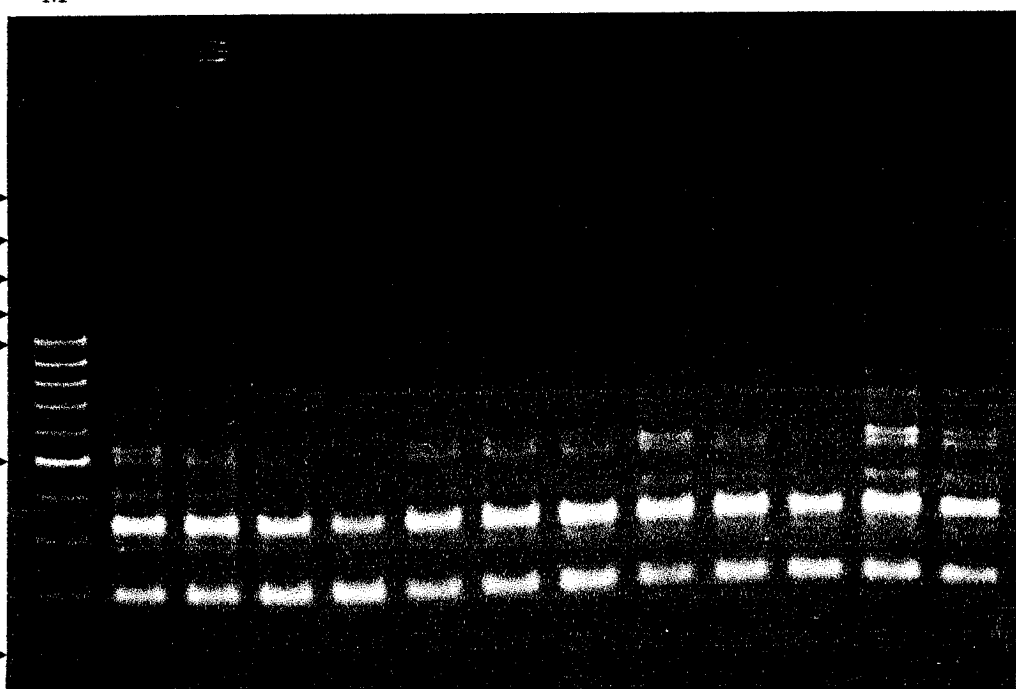
ภาพผนวกที่ ง19 ແຜນອัลลิลของไพรเมอร์ Primer ISSR 9 (SP) 25-36



ภาพผนวกที่ ง20 ແຜນอัลลิลของไพรเมอร์ Primer ISSR 9 (SP) 37-48

M

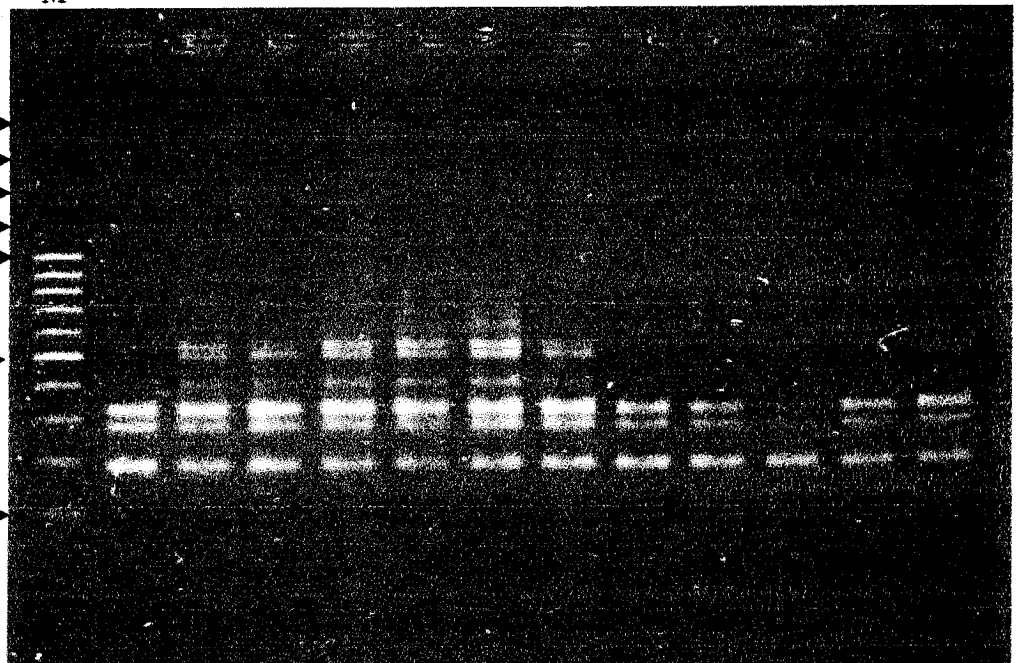
3.0 kb →  
 2.0 kb →  
 1.5 kb →  
 1.2 kb →  
 1.0 kb →  
 0.5 kb →  
 0.1 kb →



ภาพพนวกที่ ง21 ແນບອັດລິລົບອົງໄພຣເມອ້ວ Primer ISSR 9 (SP) 49-60

M

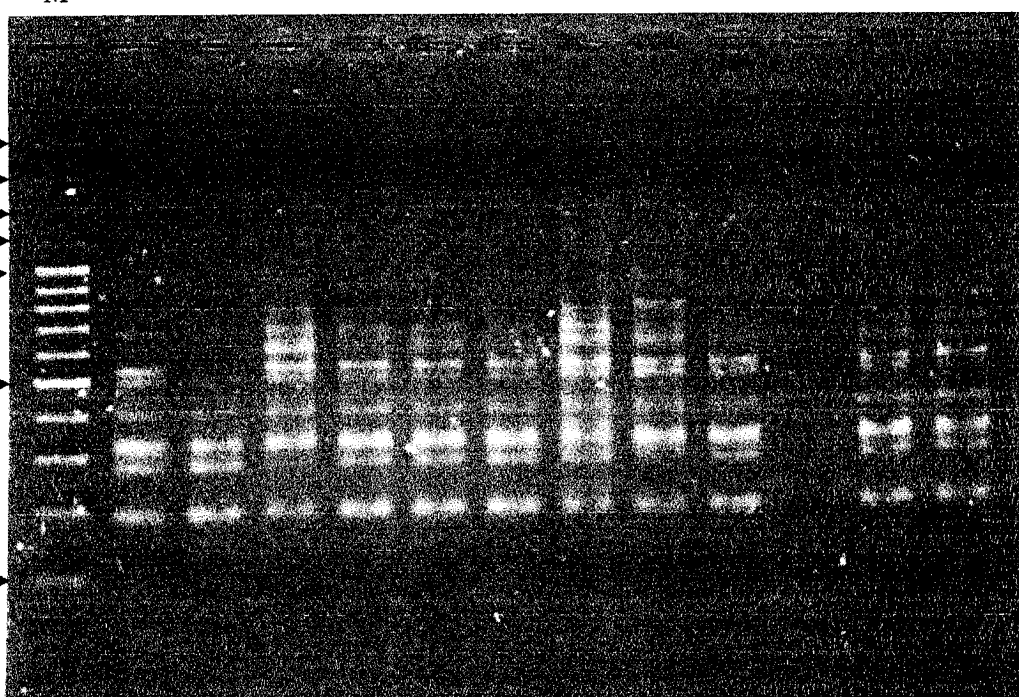
3.0 kb →  
 2.0 kb →  
 1.5 kb →  
 1.2 kb →  
 1.0 kb →  
 0.5 kb →  
 0.1 kb →



ภาพพนวกที่ ง22 ແນບອັດລິລົບອົງໄພຣເມອ້ວ Primer ISSR 9 (SP) 61-72

M

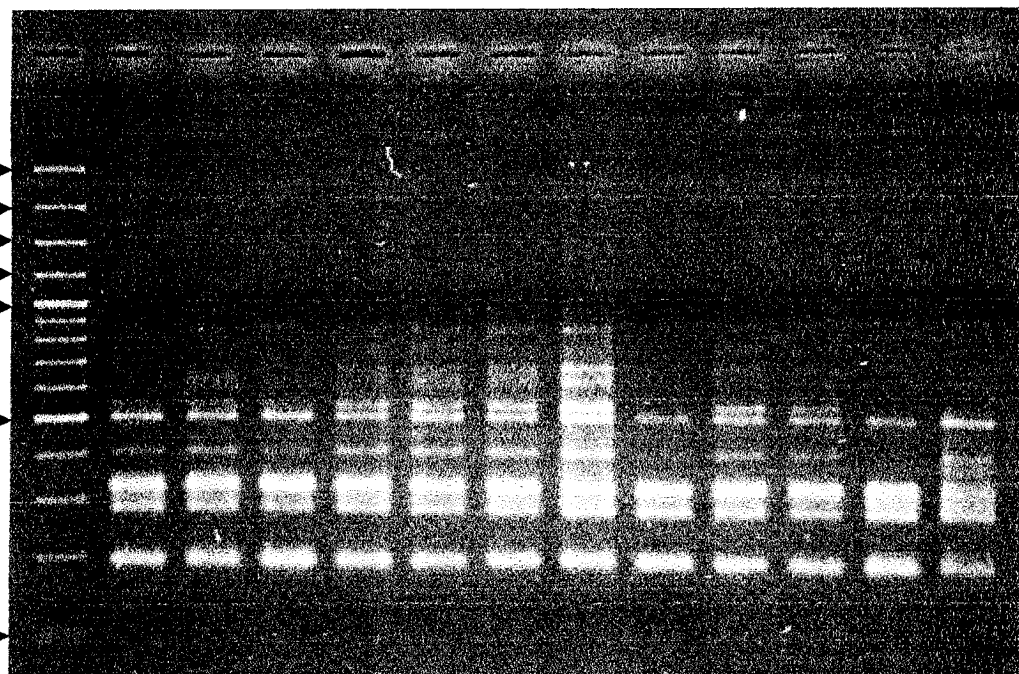
3.0 kb →  
 2.0 kb →  
 1.5 kb →  
 1.2 kb →  
 1.0 kb →  
 0.5 kb →  
 0.1 kb →



ภาพผนวกที่ ง23 แบบอัลลิลของไพรเมอร์ Primer ISSR 9 (SP) 73-84

M

3.0 kb →  
 2.0 kb →  
 1.5 kb →  
 1.2 kb →  
 1.0 kb →  
 0.5 kb →  
 0.1 kb →



ภาพผนวกที่ ง24 แบบอัลลิลของไพรเมอร์ Primer ISSR 9 (SP) 84-96

## ประวัติการศึกษาและการทำงาน

ชื่อ – นามสกุล	นายปฏิพลด คลรุ่ง
วัน เดือน ปี ที่เกิด	6 กันยายน 2525
สถานที่เกิด	อำเภอ บุขันธ์ จังหวัด ศรีสะเกษ
ประวัติการศึกษา	วิทยาศาสตรบัณฑิต(วิทยาศาสตร์ทางทะเล) มหาวิทยาลัยเทคโนโลยีราชมงคลรัชชัย วิทยาเขต ตรัง
ตำแหน่งหน้าที่การทำงานปัจจุบัน	-
สถานที่ทำงานปัจจุบัน	-
ประวัติการทำงาน	สถาบันวิจัยทรัพยากรทางน้ำ จุฬาลงกรณ์มหาวิทยาลัย ปีพ.ศ. 2548-2549
ผลงานเผยแพร่ทางวิชาการ	<p>Donrung, P., Tunkijjanukij, S., Jarayabhand, P., and S. Poompuang. 2009. Genetic Diversity of Surf Clam (<i>Paphia undulata</i>) Stocks from the Gulf of Thailand and the Andaman Sea Coast, P. 239. In <b>The 10<sup>th</sup> International Symposium on Genetics in Aquaculture 22-26 June 2009 Bangkok Convention Centre &amp; Sofitel Centara Grand Hotel Bangkok, Thailand.</b></p> <p>ปฏิพลด คลรุ่ง สุริยัน ชัยกิจานุกิจ สุภาวดี พุ่มพวง และ เพคิมศักดิ์ จารยะพันธุ์. 2552. ความหลากหลายทาง พันธุกรรมของหอยลาย (<i>Paphia undulata</i>) บริเวณ แหล่งประมงในอ่าวไทยตอนบนและตอนล่าง, 1-6. การประชุมเสนอผลงานวิจัย ระดับบัณฑิตศึกษา แห่งชาติ ครั้งที่ 14 มหาวิทยาลัยเทคโนโลยีพระจอม เกล้าพระนครเหนือ วันที่ 10-11 กันยายน 2552.</p>

ทุนการศึกษาที่ได้รับ

โครงการพัฒนาองค์ความรู้และศึกษานโยบายการจัดการ  
ทรัพยากรชีวภาพในประเทศไทย (โครงการ BRT)

ทุนอุดหนุนการวิจัยระดับบัณฑิตศึกษา

มหาวิทยาลัยเกษตรศาสตร์ ประจำปีการศึกษาประมาณ 2551